



STATISTISCHE MECHANIK

(N. Straumann)

A very little study of the statistical properties of conservative systems of a finite number of degrees of freedom is sufficient to make it appear, more or less distinctly, that the general laws of thermodynamics are the limit toward which the exact laws of such systems approximate when their number of degrees of freedom is indefinitely increased.

W. Gibbs (1902)

Vorwort

In dieser Vorlesung wird die Statistische Mechanik des Gleichgewichts entwickelt. Diese gestattet es grundsätzlich, die thermodynamische Fundamentalgleichung eines makroskopischen Systems aus dem Hamiltonoperator (der Hamiltonfunktion) des mikroskopischen Vielteilchensystems zu berechnen.

Grobe Inhaltsangabe:

- I. Grundlagen der klassischen Statistischen Mechanik
- II. Statistisch mechanische Modelle, thermodynamischer Limes,
Phasenübergänge
- III. Quantenstatistik, mit mannigfaltigen Anwendungen in der Physik
der kondensierten Materie.

Die Vorlesung schliesst direkt an die Thermodynamik an und setzt die klassische Mechanik und die Grundlagen der Quantenmechanik voraus.

Die Bedeutung der Statistischen Mechanik für die Physik der kondensierten Materie ist offensichtlich. Darüber hinaus spielt sie aber heute auch eine sehr wichtige Rolle in der Quantenfeldtheorie. Tatsächlich beruhen die meisten nichtstörungstheoretischen Rechnungen – etwa in der Quantenchromodynamik – auf einer Gitterregularisierung, wodurch ein feldtheoretisches Modell in ein statistisch-mechanisches Gittersystem verwandelt wird, dessen kritisches Verhalten für den Kontinuumslimes ausschlaggebend ist.

INHALT*)

Einleitung

I. Grundlagen der klassischen statistischen Mechanik

1. Statistische Beschreibung von klassischen Systemen
2. Die mikrokanonische Gesamtheit
3. Anschluss an die Thermodynamik für die mikrokanonische Gesamtheit
4. Gibbsches Variationsprinzip für die mikrokanonische Gesamtheit
5. Gibbsches Paradoxon
6. Die kanonische Gesamtheit
7. Verknüpfung mit der Thermodynamik
8. Ein anderer Zugang zur kanonischen Gesamtheit
9. Die grosskanonische Gesamtheit
10. Äquivalenz der verschiedenen Gesamtheiten im thermodynamischen Limes
11. Zusammenfassung von Kapitel I

II. Statistisch mechanische Modelle, thermodynamischer Limes

1. Modelle für Fluida und Gittersysteme
2. Lösung des 1-dimensionalen Isingmodells, Transfermatrix
3. Das Curie-Weiss-Modell
4. Molekularfeldnäherung, kritische Dimensionen
5. Onsager-Lösung des 2-dimensionalen Isingmodells
6. Thermodynamischer Limes
- 8.* Das Peierls-Argument für die Existenz eines Phasenübergangs
- 9.* Korrelationsungleichungen, Anwendungen
- 10.* Phasenübergänge für Spinmodelle in $d \geq 3$
- 11.* Hochtemperatur/Tieftemperatur Dualität des 2-dimensionalen Isingmodells

III. Quantenstatistik

1. Statistische Operatoren
2. Die Entropie eines Zustandes
3. Die mikrokanonische Gesamtheit in der Quantenstatistik
4. Das Gibbsche Variationsprinzip
5. Kanonische und grosskanonische Gesamtheit in der Quantenstatistik
6. Ideale Quantengase
7. Debye Theorie des festen Körpers
8. Halbklassische Näherung
9. Magnetismus des Eletronengases
10. Das relativistische Eletronengas, Chandrasekhar-Grenze für Weiße Zwerge
- 11.* Heisenberg-Modelle (Mermin-Wagner-Theorem, Molekularfeldnäherung, etc.)
- 12.* Impulskondensation einer wechselwirkenden Fermi-Systems
- 13.* Zusammenfassung, Hinweise für weiteres Studium der Statistischen Mechanik

*) Die mit einem Stern versehenen Abschnitte gehören nicht zum Prüfungsstoff.

- Anhang A*: Wahrscheinlichkeitstheoretische Sätze, Birkhoff'scher Ergodensatz
- Anhang B*: Zeitpfeil und Boltzmann-Entropie
- Anhang C*: Mikroreversibilität und Markoirreversibilität am Beispiel des Ehrenfest'schen Uhrenmodells
- Anhang D*: Das sphärische Modell
- Anhang E*: Beweis des Satzes von Perron & Frobenius
- Anhang F*: Bestimmung des grössten Eigenwertes der Transfermatrix für das 2-dimensionale Isingmodell
- Anhang G*: Existenz des thermodynamischen Limes für Spinsystems
- Anhang H*: Spontane Symmetriebrechung, Mermin-Wagner-Theorem
- Anhang I*: Die Funktionen $f_\lambda(z)$

Literatur

Literatur (enge Auswahl)

1. Lehrbücher der Statistischen Mechanik

Huang, K.: *Statistical Mechanics.*
2. Auflage. John Wiley & Sons, New York 1987.

Kubo, R; Toda, M.; Saito N.:
Statistical Physics I – Equilibrium Statistical Mechanics
Springer-Verlag, Heidelberg 1992.

Reichl, L.E.: *A Modern Course in Statistical Physics.*
Edward Arnold (Publishers) Ltd., 1980.

Reif, F.: *Statistical and Thermal Physics.*
McGraw-Hill Inc. 1965.

Römer, H.; Filk T.: *Statistische Mechanik.*
VCH Verlagsgesellschaft, Weinheim 1994.

Thompson, C.J.: *Classical Equilibrium Statistical Mechanics.*
Clarendon Press, Oxford 1988.

2. Thermodynamik

Kluge, G.; Neugebauer, G.:
Grundlagen der Thermodynamik.
Spektrum Akademischer Verlag, Heidelberg 1994.

Straumann, N.: *Thermodynamik.*
Springer Lecture Notes in Physics, Vol. 265,
Springer-Verlag 1986.

3. Weiterführende Bücher

Baxter, R.J.: *Exactly Solved Models in Statistical Mechanics.*
Academic Press, second paperback printing 1990.

Ruelle, D.: *Statistical Mechanics.*
W.A. Benjamin 1969.

Simon, B.: *The Statistical Mechanics of Lattice Gases.*
Princeton University Press 1993.

Zinn-Justin, J.: *Quantum Field Theory and Critical Phenomena.*
second ed., Clarendon Press 1993.

4. Ergodentheorie

Cornfeld, I.P.; Fomin, S.V. Sinai, Ya.G.: *Ergodic Theory*.
Grundlehren der mathematischen Wissenschaften 245,
Springer-Verlag 1982.

Walters, P.: *An Introduction to Ergodic Theory*.
Graduate Texts in Mathematics, Vol. 79, Springer Verlag 1982.

Einführung

Die Statistische Mechanik (SM) erklärt das eigentlich unverständliche thermodynamische Verhalten als makroskopische Erscheinung eines Systems, das unvorstellbar viele mikroskopische Freiheitsgrade besitzt. Die Thermodynamik erweitert sich dabei als eine asymptotische Theorie, welche im Grenzfall unendlich vieler Freiheitsgrade gilt. Dann sind nämlich die "Gesetze der grossen Zahlen" am Werk und es passieren dabei — wie man von der Wadoscheinlichkeitstheorie weiß — recht ungewöhnliche Dinge. Die statistischen Gesetze führen aber auch zu spontanen Abweichungen vom Gleichgewicht, die sich in Schwingungsscheinungen ausseien, welche in der SM eine wesentliche Rolle spielen. (Darauf beruhen z.B. einige der wichtigsten Arbeitsergebnisse von Einstein.)

In dieser Vorlesung befassen wir uns lediglich mit der SM des Gleichgewichtes. Wir werden einige einfache formulierbare Rezepte kennenzulernen, welche es uns u.a. grundsätzlich ermöglichen, die thermodynamische Fundamentalgleichung eines makroskopischen Systems aus dem Hamiltonoperator (der Hamiltonfunktion) des mikrophysikalischen Vierteilchensystems zu berechnen. Es muss aber schon hier darauf hingewiesen werden, dass die Begründung dieser Rezepte nach wie vor unbefriedigend ist. Wir werden uns genötigt sehen, eine Reihe von Grundannahmen zu machen, welche sich bis jetzt noch nicht in überzeugender Weise aus der mikroskopischen Theorie ableiten lassen. Die sich ergebende mechanisch-thermodynamische Analogie ist aber so natürlich, dass die Theorie

möglich sein muss. Hierzu kommt der praktische Erfolg in den manig-fachguten Anwendungen. Das Gefände der SM ist deshalb sehr solide und wird die Zeiten überdauern.

In der SM erweist sich die Entropie, wie Boltzmann gezeigt hat, als ein Mass für die "Wahrscheinlichkeit" des beobachteten makroskopischen Zustandes. Sie ist auch die Menge makroskopischer Zustände bestimmt, die alle zum gleichen makroskopischen Zustand Auflass geben. Dies wird durch die berühmte Formel

$$S = k \ln W$$

ausgedrückt, welche auf Boltzmann's Grab im Zentralfriedhof in Wien steht.*¹) Boltzmanns Auffassung der Entropie als statistische Größe hat sich nur langsam gegen starke Widerstände durchgesetzt. Selbst Planck wurde erst zu dieser Auffassung bekehrt, als ihm kein anderer Weg zur Ableitung des von ihm entdeckten Stoffungsgesetzes mehr möglich blieb. (Siehe dazu den 'Prolog' in meiner Vorlesung QM I.) Überhaupt war die Stellung von Boltzmann und Gibbs in mancher Hinsicht recht schwierig, da die Atome noch als hypothetische Fiktionen galten und über ihre physikalischen Eigenschaften nichts Sichereres bekannt war. Deshalb konnte man der SM mit einem gewissen Bedenken den Vorwurf machen, sie erkläre die bekannten Gesetze der phänomenologischen Thermodynamik durch Unbekanntes.

*¹) Es tut mich zu Sadie, dass Boltzmann selbst die Formel niemals so hingewrieben hat. Tatsächlich erinnert sie zuerst in Plancks "Vorlesungen über die Theorie der Wärmeleitung" 1906.

Heute erscheint es uns dagegen selbstverständlich, auch die Thermodynamik atomistisch zu begründen.

I. Grundlagen der klassischen statistischen Mechanik

Sowohl die klassische Mechanik als auch die Quantenmechanik führen für makroskopische Systeme zur Thermodynamik. Selbstverständlich wird aber i.a. die konkrete Form der Fundamentalgleichung für die beiden mikroskopischen Theorien verschieden sein. Wenn immer dieser Unterschied bedeutsam ist, muss natürlich die Quantenstatistik herangezogen werden. Vor allem aus methodischen Gründen besprechen wir zuerst die klassische SM.

I.1 Statistische Beschreibung von klassischen Systemen

Wir beschreiben ein klassisches mechanisches System in der Hamiltonschen Formulierung der Mechanik^{*)}. In dieser sind die reinen Zustände Punkte eines Phasenraumes Γ . In kanonischen Koordinaten $x = (q, p)$ wird die symplektische Struktur des Phasenraumes durch die schiefe Matrix

$$J = \begin{pmatrix} 0 & 1_f \\ -1_f & 0 \end{pmatrix} \quad (1.1)$$

dargestellt, wenn f die Zahl der Freiheitsgrade ist. Die kanonischen

^{*)} Siehe dazu: W. Straumann, "Klassische Mechanik", Lecture Notes in Physics, Band 289, Springer (1987).

Bewegungsgleichungen lauten

$$\dot{x} = X_H(x) , \quad (1.2)$$

wobei X_H das Hamiltonsche Vektorfeld zu Hamiltonfunktion H ist:

$$X_H = J \nabla H = \left(\frac{\partial H}{\partial p_1}, \dots, \frac{\partial H}{\partial p_f}, -\frac{\partial H}{\partial q_1}, \dots, -\frac{\partial H}{\partial q_f} \right)^T. \quad (1.3)$$

Bezeichnet ϕ_t den Fluss des autonomen Systems X_H , so ist dieser symplektisch, d.h. es gilt

$$(J\phi_t)^T J J\phi_t = J. \quad (1.4)$$

Daraus folgt

$$\det(J\phi_t) = 1 , \quad (1.5)$$

was den Satz von Liouville

$$\text{Vol}(\phi_t(\mathcal{B})) = \text{Vol}(\mathcal{B}) \quad (1.6)$$

für jede messbare Menge \mathcal{B} impliziert. Das Volumen wird dabei durch das Liouville-Mass $d\Gamma$ zur symplektischen Struktur bestimmt; in kanonischen Koordinaten ist $d\Gamma$ gleich dem Lebesgue-Mass $d^f x = d^f q d^f p$.

Ein besonders wichtiges Beispiel ist ein System von $N (\sim 10^{23})$ Teilchen die in einem Gebiet Λ des Konfigurationsraumes eingeschlossen sind. Der zugehörige Phaserraum ist

$$\Gamma_{\Lambda, N} = \{ (x_1, \dots, x_N) \mid x_j = (q_j, p_j), q_j \in \Lambda \subset \mathbb{R}^3, p_j \in \mathbb{R}^3 \}.$$

Eine typische Form der Hamiltonfunktion ist

$$H = \sum_{j=1}^N \frac{1}{2m} p_j^2 + \sum_{i < j} \phi(q_i - q_j), \quad (1.7)$$

wobei ϕ ein Zweikörperfunktional ist.

Natürlich ist es grundsätzlich unmöglich, den genauen Zustand eines Systems von $N \approx 10^{23}$ Teilchen zu irgend einem Zeitpunkt zu messen. Man ist auch überhaupt nicht an einer so detaillierten Beschreibung interessiert. Es geht ja lediglich darum, die Mittelwerte einiger weniger "makroskopischer" Observablen über Zeiten zu bestimmen, die im Vergleich zu atomaren Zeitskalen sehr lang sind. In der SM versucht man nun, diese Mittelwerte als Erwartungswerte bezüglich eines Wahrscheinlichkeitsmaßes der Form $p(x) d\Gamma(x)$ im Phaserraum darzustellen. Für makroskopisch stationäre Situationen sollten dabei diese Erwartungswerte zeitunabhängig sein:

$$\int_T f \circ \phi_t p d\Gamma = \int_T f p d\Gamma. \quad (1.8)$$

Wegen (1.5) ist aber die linke Seite dieser Gleichung gleich $\int_T f p_t d\Gamma$ mit

$$p_t = p \circ \phi_{-t}. \quad (1.9)$$

Aus (1.9) folgt ganz allgemein die Liouville-Gleichung

$$\frac{\partial}{\partial t} p_t = \{H, p_t\} = \{H, p\} \circ \phi_t. \quad (1.10)$$

Die Stationarität (1.8) ist daher erfüllt, wenn p stationär

182:

$$p \circ \phi_t = p \iff \{H, p\} = 0. \quad (1.11)$$

Dann ist $p \circ \Gamma$ ein stationäres Mass (invariant unter dem Fluss ϕ_t).

Wir werden also darum geführt, die kann direkt berechenbaren Mittelwerte einiger weniger makroskopischer Observablen eines Einzelsystems als statische Mittelwerte darzustellen:

$$\lim_{T \rightarrow \infty} \frac{1}{T} \int_0^T f \circ \phi_t dt = \int_{\Gamma} f p d\Gamma. \quad (1.12)$$

Natürlich stellen sich sofort einige sehr schwierige Fragen, z.B.: Für welche Systeme und welche Observablen ist dies möglich und wie ist dann das Mass $p \circ \Gamma$ zu wählen?

Die Hoffnung (1.12) wird oft so ausgedrückt: An Stelle eines einzelnen reellen Systems betrachte man eine sog. (virtuelle) Gesamtheit, d.h. eine sehr grosse Zahl gleichartiger Systeme, die über alle reinen Zustände verteilt sind, welche sich mit unseren fragmentarischen Kenntnissen des Systems vereinbaren lassen (s. Fig.). Zu einer festen Zeit ($t=0$) seien die reinen Anfangszustände (die Phasen) gemäss

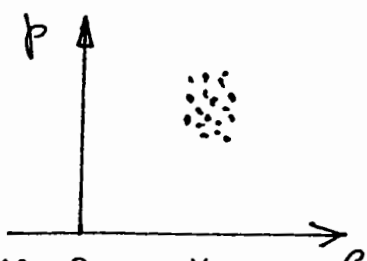


Fig. Virtuelle Gesamtheit

der Größe ρ verteilt und den zugehörigen Mittelwert rechts in (1.12) bezeichnet man üblicherweise als das Schramittel. Es ist eine Grundannahme der SM, dass die Größe ρ so gewählt werden kann, dass diese Schramittel für einige wenige "makroskopische" Observable mit den gemessenen zeitlich gemittelten Werten eines einzelnen Systems übereinstimmen. Dabei sollte die linke Seite in (1.12) schon bei der Bildung über makroskopisch sehr kurze Zeiten sehr genau angenommen werden.

Leider sind wir bis heute nicht in der Lage, diese Annahme in georgender Allgemeinheit zu beweisen. Wir wollen es aber trotz ganz mit dieser negativen Aussage beweisen lassen und das Problem noch von verschiedenen Seiten etwas beleuchten.

Seit Boltzmann wurde die SM für lange Zeit auf die sog. Ergodenhypothese gegründet, welche eine verstärkte Version der Bedingung (1.12) darstellt.*). Bevor wir diese präzise formulieren können, benötigen wir einige Vorbereitungen, die auch für andere Zwecke wichtig sind.

Das Liouville'sche Mass induziert ein Mass $d\mu_E$ auf der Energiefäche Γ_E zur Energie E eines abgeschlossenen

*) Boltzmann formulierte allerdings die Ergodenhypothese in einer Form, welche – wie Rosenthal und Flammerel zeigten – mathematisch unhaltbar ist. Diese wurde dann von P. und T. Ehrenfest modifiziert (Quasi-Ergodenhypothese).

mechanischen Systems, welches symbolisch gegeben ist durch *)

$$d\mu_E = \text{const } \delta(H(x) - E) d\Gamma(x). \quad (1.13)$$

Dieses Mass ist invariant unter dem Fluss ϕ_t . Die Normierungskonstante in (1.13) sei so gewählt, dass $\mu_E(\Gamma_E) = 1$ ist (die Energiefäche sei kompakt). Im Anhang A beweisen wir den folgenden

Ergodensatz (Birkhoff): Für jedes $f \in L^1(\Gamma_E, d\mu_E)$ konvergiert

$$\lim_{T \rightarrow \infty} \frac{1}{T} \int_0^T f \circ \phi_t dt$$

punktoweise fast überall gegen eine Funktion $f^* \in L^1(\Gamma_E, d\mu_E)$. Ferner gilt $f^* \circ \phi_t = f^*$ fast überall und es ist

$$\int_{\Gamma_E} f^* d\mu_E = \int_{\Gamma_E} f d\mu_E.$$

) Steht für dieses Mass – bis auf die Normierungskonstante folgendermassen definiert (siehe auch MMP II). Es sei Ω die Volumenform zur symplektischen Struktur des Phasenraumes und $dH \neq 0$ auf Γ_E . Ist σ eine $(2f-1)$ -Form für die $dH \wedge \sigma = \Omega$ gilt, so ist die Form $\mu_E = i^ \sigma$ ($i: \Gamma_E \hookrightarrow \Gamma$) unabhängig von der Wahl von σ . Bei definiertem ist die Distribution $\delta(H-E)$

$$\langle \delta(H-E), f \rangle = \int_{\Gamma_E} f \mu_E \quad (f: \text{Testfunktion}).$$

$d\mu_E$ ist – bis auf eine Normierung – das Mass, welches zur Volumenform μ_E (Leray-Form) auf Γ_E gehört.

Hier nennt den Fluss ϕ_t ergodisch, falls ein $f \in L^1$ invariant unter der Strömung ist ($f \circ \phi_t = f$ fast überall), wenn f eine Konstante ist^{*)}. Dann ergibt sich aus dem Birkhoff'schen Satz für alle $f \in L^1(\Gamma_E, d\mu_E)$ die Beziehung

$$\lim_{T \rightarrow \infty} \frac{1}{T} \int_0^T f \circ \phi_t dt = \int_{\Gamma_E} f d\mu_E \text{ fast überall.} \quad (1.14)$$

Die Ergodizität lässt sich aber nur für wenige idealisierte Systeme zeigen (z.B. für ein System hater Kugeln, Sinai 1966). Lange Zeit glaubte man, dass alle realistischen makroskopischen Systeme ergodisch sind (Ergodenhypothese). Durch die KAM-Theorie haben wir jedoch gelernt, dass lange nicht alle mechanischen Systeme ergodisch sind und zwar nicht einmal im Limes $f \rightarrow \infty$. (~~Natürlich dazu wird im Anhang B ausgeführt~~) Wir sehen deshalb davon ab, die Ergodenhypothese zum Ausgangspunkt der SM zu machen. Tatsächlich benötigen wir (1.14) für die Bedürfnisse der SM nicht für alle f ,

^{*)} Äquivalent dazu ist ϕ_t genau dann ergodisch, wenn für jede messbare Menge $B \subset \Gamma_E$ mit $\phi_t^{-1}(B) = B$ für alle t entweder $\mu_E(B) = 0$ oder $\mu_E(B) = 1$ folgt.

Beweis: Es sei ϕ_t ergodisch und $\phi_t(B) = B$ für alle t .

Dann ist die charakteristische Funktion $f = \chi_B$ eine invariante

Funktion und also $\chi_B = \text{const}$ fast überall. Dies impliziert

$$\mu_E(B) = 0 \text{ oder } \mu_E(B) = 1.$$

Umgekehrt gelte die zweite Bedingung und f sei eine invariante

Funktion. Dann ist für jedes $a \in \mathbb{R}$ die Menge $\{x | f(x) < a\}$

unter ϕ_t invariant und folglich muss $f(x) < a$ f.ü., oder

$f(x) \geq a$ f.ü. sein. Da dies für jedes a wahr ist, folgt,

dass $f(x)$ fast überall eine Konstante ist. \square

^{**) Publiziert ist lediglich der Beweis für zwei Kugeln (Sinai-Chernov 1987)}

Sondern nur für einige wenige makroskopische Observable* und dies auch nur in Linien von sehr vielen Freiheitsgraden. Dafür ist die Ergodizität keineswegs eine notwendige Bedingung.

Die Beschränkung auf wenige makroskopische Observable ist auch notwendig, um überhaupt von Gleichgewichtszuständen sprechen zu können. Ferner kann das irreversible Schieben zum Gleichgewicht — ein anderes grosses Problem der SM — nur auf makroskopischer Ebene mit der mikroskopischen Reversibilität (etwa von (1.10)) in Einklang gebracht werden. Auf diese schwierige Problematik gehen wir ^{in den Anhängen BC} etwas näher ein, betonen aber schon hier, dass die makroskopische Bedingung der Zeitumkehrinvarianz nicht in wirklich befriedigender Weise verstanden ist. Die diesbezüglichen Resultate sind sehr wagen.

Nur für makroskopische Observablen können wir hoffen, dass die Störungen i.a. klein bleiben und die "Gesetze der grossen Zahlen" am Werk sind. Es mag an dieser Stelle nützlich sein, die wichtigsten dieser Gesetze aus der Wahrscheinlichkeitstheorie kurz vorzustellen, da diese für uns Modellcharakter haben.

Das Gesetz der grossen Zahlen wurde von Jacob Bernoulli (1655–1705) entdeckt. Wie aus seinem Tagebuch hervorgeht, befriedigte ihn diese Entdeckung mehr, als wenn er die Quadratur des Kreises gefunden hätte. In einer von Etewaldi (1981) angegebenen Formulierung lautet dieses:

*) Es ist dabei unklar, wie man diesen Begriff präzise fassen kann. Für eine konkret gegebene Observable wird es uns aber kaum schwer fallen zu entscheiden, ob diese als 'makroskopisch' anzusehen ist.

Starkes Gesetz der grossen Zahlen (Etemadi) :

Jede Folge $(\xi_i)_{i \in \mathbb{N}}$ reeller, integrierbarer, stetisch verteilter paarweise unabhängiger Zufallsvariablen erfüllt

$$\lim_{n \rightarrow \infty} \frac{1}{n} \sum_{i=1}^n \xi_i = \gamma \text{ fast sicher ,} \quad (1.15)$$

wobei γ der gemeinsame Erwartungswert der ξ_i ist.

(Beweis: Siehe Bauer, 4. Auflage, p.86.)

Die endlichen Partialsummen $\frac{1}{n} \sum_{i=1}^n \xi_i$ schwanken natürlich um γ . Darüber gibt der zentrale Grenzwertsatz Auskunft. Nach diesem verhalten sich die Schwankungen wie $1/\sqrt{n}$. Näheres dazu sowie weitere W-theoretische Ergänzungen führen wir im Anhang A aus.

Interessant ist aber auch die Konvergenzgeschwindigkeit in (1.15). Darüber gibt der Satz von Cramér–Woldoff Auskunft. Um diesen formulieren zu können, benötigen wir ein paar Vorbereitungen. Es bezeichne μ die Verteilung der Zufallsvariablen ξ_i und es sei

$$\tilde{\mu}(t) = \int e^{itx} d\mu(x) = \langle e^{t\xi_i} \rangle \quad (1.16)$$

($\langle \dots \rangle$ bezeichnet den Erwartungswert mit dem W-Mass P).

*) Dieser Satz impliziert das schwache Gesetz der grossen Zahlen, bei welchem in (1.15) die Konvergenz stochastisch ist:

$$\lim_{n \rightarrow \infty} P\left(\left|\frac{1}{n} \sum_{i=1}^n (\xi_i - \gamma)\right| > \varepsilon\right) = 0 \quad (1.15')$$

für jedes $\varepsilon > 0$ (P = W-Mass).

Es gilt

$$0 < \check{\mu}(t) \leq +\infty, \quad \check{\mu}(0) = 1. \quad (1.17)$$

Da $x \mapsto e^{tx}$ konvex ist liefert die Jensen'sche Ungleichung (siehe p. II.22)

$$e^{ty} = e^{t \langle \xi_i \rangle} \leq \langle e^{t \xi_i} \rangle = \check{\mu}(t).$$

Dies gilt auch wenn $x \mapsto e^{tx}$ nicht μ -integrierbar ist, da die Ungleichung für $\check{\mu}(t) = +\infty$ trivialerweise richtig ist.

Wir haben also

$$ty - \log \check{\mu}(t) \leq 0 \quad (t \in \mathbb{R}), \quad (1.18)$$

wobei $\log(+\infty) = +\infty$ vereinbart wird. Die Funktion

$$c_\mu(t) := \log \check{\mu}(t) \quad (1.19)$$

heißt man die freie Energiefunktion. Von dieser gehen wir zw Legendre-Fenchel-Transformierten über:

$$I_\mu(x) = \sup_{t \in \mathbb{R}} \{ tx - c_\mu(t) \}. \quad (1.20)$$

Wir zeigen in § I.7, p. 38, dass $c_\mu(t)$ und somit $I_\mu(x)$ konvex sind.

Für die sog. Energiefunktionen $I_\mu(x)$ gilt ^{*}

$$I_\mu : \mathbb{R} \rightarrow [0, +\infty],$$

da $t \cdot x - \log \check{\mu}(t)$ für $t=0$ verschwindet. Dann folgt

^{*}) Beachte, dass für μ gerade das δ -Mass, $I_\mu(x) = +\infty$ für alle $x \neq 0$.

aber aus (11.18) $I_\mu(\eta) = 0$, d.h. I_μ nimmt für den Mittelwert η ("makroskopischer Gleichgewichtszustand") des Minimums an. I_μ nennt man auch die Gauß-Transfomierte.

Nun können wir den angekündigten Satz formulieren:

Satz (Gauß-Chernoff). Es sei $(\xi_i)_{i \in \mathbb{N}}$ eine unabhängige Folge identisch verteilter, integrierbarer, reeller Zufallsvariablen. Dann gilt für jedes $\varepsilon > 0$

$$P \left\{ \frac{1}{n} \sum_{i=1}^n (\xi_i - \eta) \geq \varepsilon \right\} \leq e^{-n I_\mu(\varepsilon + \eta)},$$

$$P \left\{ \frac{1}{n} \sum_{i=1}^n (\xi_i - \eta) \leq -\varepsilon \right\} \leq e^{-n I_\mu(\varepsilon + \eta)}.$$

Für $I_\mu(\varepsilon + \eta) > 0$ konvergieren also die Wahrscheinlichkeiten auf den linken Seiten mindestens exponentiell gegen Null; für $I_\mu(\eta + \varepsilon) = \infty$ sind sie Null.

Beweis: Siehe Anhang A.

Beispiel. Würfelspiel: W-Raum $= \{0,1\}^{\mathbb{N}}$, P = Produktmass von $\rho = \frac{1}{2} \delta_0 + \frac{1}{2} \delta_1 \stackrel{!}{=} \mu$. Es ist

$$c_\mu(t) = \log \left[\frac{1}{2} (1 + e^t) \right].$$

Für die Entropiefunktion findet man sofort

$$I_\mu(x) = x \log 2x + (1-x) \log (2(1-x)),$$

$$\text{Wiss. } I_\mu(0) = I_\mu(1) = \underline{\log 2}.$$

I.2 Die mikrokanonische Gesamtheit

Für ein isoliertes makroskopisches System mit Gesamtenergie E können wir die Werte von makroskopischen Observablen in einem Gleichgewichtszustand nach unserer Grundannahme der Erwartungswerte bezüglich des W-Massen μ_E darstellen. Dieses sog. mikrokanonische Mass auf der Energiefäche Γ_E lautet nach den Ausführungen auf S. 8 :

$$d\mu_E = \frac{1}{\omega(E)} d\Gamma_E , \quad (2.1)$$

mit

$$d\Gamma_E = \delta(H-E) d\Gamma \quad (2.2)$$

und

$$\omega(E) = \int_{\Gamma_E} d\Gamma_E . \quad (2.3)$$

Die Normierungskonstante $\omega(E)$ ist also das Volumen der Energiefäche bezüglich des Masses $d\Gamma_E$, welches durch das Liouvillsche Mass $d\Gamma$ auf Γ_E induziert wird. (Die präzise Definition von $d\Gamma_E$ wurde in der Fußnote auf S. 8 gegeben.) Natürlich gilt auch

$$\omega(E) = \frac{d\Phi(E)}{dE} , \quad (2.4)$$

wo

$$\Phi(E) = \int_{\{H < E\}} d\Gamma = \int_{\Gamma} \Theta(E-H) d\Gamma \quad (2.5)$$

des "Phasenvolumen" von $\{x \in \Gamma : H(x) \leq E\}$ ist.

Für ein makroskopisches System wird die Gesamtenergie nur bis auf einen makroskopisch unbedeutenden Fehler Δ ($\Delta/E \ll 1$) bekannt sein. Das Phasenvolumen $\Phi^\Delta(E)$ der Energieschale $\{x \in \Gamma : E - \Delta \leq H(x) \leq E\}$ ist dann in geringerer Näherung gleich $\omega(E) \Delta$. Oft bezeichnet man das W -Mass

$$d\mu_{m-kon} = \frac{1}{\Phi^\Delta(E)} \delta^\Delta(H-E) d\Gamma , \quad (2.6)$$

wo δ^Δ die charakteristische Funktion des Intervalls $(-\Delta, 0)$ ist, als unimikrokanonische Gesamtheit und (2.1) als super-unimikrokanonisches Mass.

Wir werden später Gründe dafür geben, dass die Einspröse des Systems durch

$$S(E) = k \ln \Phi^\Delta(E) \quad (2.7)$$

gegeben ist (k: Boltzmann-Konstante). Diese hängt für makroskopische Systeme nur sehr schwach von Δ ab. Tabatisch gilt für grosse Teilchenzahlen N

$$S(E) = k \ln \Phi(E) + O(\ln N) \quad (2.8)$$

(s. Übungen). Deshalb können wir auch den Ausdruck $k \ln \Phi(E)$ für die Einspröse verwenden. Gleichung (2.2) ist der präzise Ausdruck des Boltzmannschen Prinzips im Rahmen der klassischen statistischen Mechanik. (Der Terminus geht auf Einstein zurück.)

Aquipartitionstheorem

Für den makroskopischen Erwartungswert einer Observablen f gilt allgemein

$$\begin{aligned} \langle f \rangle &= \frac{1}{\Phi(E)} \int_{\Gamma} f \delta^{\Delta}(H-E) d\Gamma \simeq \frac{\Delta}{\Phi(E)} \int_{\Gamma_E} f d\Gamma_E \\ &\simeq \int_{\Gamma_E} f d\mu_E = \frac{1}{\omega(E)} \frac{\partial}{\partial E} \int_{\{H \leq E\}} f d\Gamma. \end{aligned} \quad (2.9)$$

Speziell für $f(x) = x_i \frac{\partial H}{\partial x_j}$ erhalten wir mit dem Gauß'schen Satz

$$\begin{aligned} \int_{\{H \leq E\}} x_i \frac{\partial H}{\partial x_j} d\Gamma &= \int_{\{H \leq E\}} x_i \frac{\partial}{\partial x_j} (H-E) d\Gamma \\ &= \int_{\{H \leq E\}} \underbrace{\frac{\partial}{\partial x_j} [x_i(H-E)]}_{0 \text{ (Oberflächenintegral über } \Gamma_E)} d\Gamma - \delta_{ij} \int_{\{H \leq E\}} (H-E) d\Gamma. \end{aligned}$$

Deshalb gilt

$$\begin{aligned} \left\langle x_i \frac{\partial H}{\partial x_j} \right\rangle &= \delta_{ij} \frac{1}{\omega(E)} \underbrace{\frac{\partial}{\partial E} \int_{\{H \leq E\}} (E-H) d\Gamma}_{\frac{\partial}{\partial E} \int_{\Gamma} \Theta(E-H)(E-H) d\Gamma = \int_{\Gamma} \overbrace{\delta(E-H)}^0 (E-H) d\Gamma} \\ &\quad + \int_{\Gamma} \Theta(E-H) d\Gamma = \Phi(E). \end{aligned}$$

d.h.

$$\boxed{\left\langle x_i \frac{\partial H}{\partial x_j} \right\rangle = \delta_{ij} \left[\frac{d}{dE} \ln \Phi(E) \right]^{-1}.} \quad (2.10)$$

Beispiel. Das klassische ideale Gas

Dafür ist

$$\Phi(E) = \int_{\left\{ \sum_i p_i^2 / 2m \leq E \right\}}^{3N} dp \int_{\Lambda^N}^{3N} dq ,$$

wenn die N Teilchen in einem Kasten Λ mit dem Volumen $V = |\Lambda|$ eingespannt sind. Wir haben

$$\Phi(E) = V^N \int_{\left\{ \sum_i p_i^2 / 2m \leq E \right\}}^{3N} dp = V^N \text{Vol} [B_{3N}(\sqrt{2mE})] ,$$

wo $B_n(R)$ den Ball im \mathbb{R}^n mit dem Radius R bezeichnet.

Dafür gilt (siehe MMPI)

$$\text{Vol}[B_n(R)] = R^n \frac{\pi^{n/2}}{\Gamma(\frac{n}{2} + 1)} .$$

Also ist

$$\Phi(E, V) = V^N \frac{(2\pi m E)^{3N/2}}{\Gamma(\frac{3N}{2} + 1)} ,$$

oder mit der Stirlingschen Formel (s. Übungen) $n! \approx (\frac{n}{e})^n$,

$$\begin{aligned} \Phi(E, V) &\approx V^N \left(\frac{4\pi m E}{3N} \right)^{3N/2} \\ &= N^N V^N \left(\frac{4\pi m}{3} \varepsilon \right)^{3N/2} e^{3N/2} \quad \left(V = \frac{V}{N}, \varepsilon = \frac{E}{N} \right). \end{aligned} \tag{2.11}$$

Aus (2.10) erhalten wir damit für den Erwartungswert von $p_j^2 \partial H / \partial p_j = 2 p_j^2 / 2m$ (p_j : eine Komponente des Impulses p_j):

$$\langle p_j^2 / m \rangle = \frac{2}{3} \varepsilon .$$

Falls wir aus der klassischen Gastheorie $E = \frac{3}{2} kT$ übernehmen, so ergibt sich aus (2.10)

$$\frac{\partial \ln \Phi(E, V)}{\partial E} = -\frac{1}{kT}. \quad (2.12)$$

Diese Formel werden wir im Abschnitt 3 allgemeiner begründen.

Adiabatische Invarianz des Phasenvolumens

Die Hamiltonfunktion hängt von einer Anzahl von "äußeren" Parametern a (Volumen, etc.) ab. Wir berechnen die Variation des Phasenvolumens $\Phi(E, a)$, welches natürlich ebenfalls von a abhängt. Für beliebige Variationen δE und δa gilt

$$\begin{aligned}\delta \Phi &= \frac{\partial \Phi}{\partial E} \delta E + \frac{\partial \Phi}{\partial a} \delta a \\ &= \omega(E, a) \delta E + \delta a \frac{\partial}{\partial a} \int \Theta(E - H(a)) d\Gamma \\ &= \omega(E) \delta E - \delta a \int_{\Gamma_E} \frac{\partial H}{\partial a} d\Gamma,\end{aligned}$$

d.h.

$$\delta \Phi = \omega(E) \left[\delta E - \left\langle \frac{\partial H}{\partial a} \right\rangle \delta a \right]. \quad (2.13)$$

Bei adiabatischen Änderungen ist $\left\langle \frac{\partial H}{\partial a} \right\rangle \delta a$ für ein isoliertes System gerade gleich $\delta E^*)$ und somit bleibt Φ bei adiabatischen Änderungen invariant.

*) Es werden also Prozesse ausgeschlossen, welche ohne eine Änderung der äußeren Parameter die Energie ändern.

I.3 Ausdrucke an die Thermodynamik für die mikroskop. Gesetze?

Wür schreiben (2.13) in der Form

$$dE = \frac{1}{\omega(E,a)} d\Phi + \left\langle \frac{\partial H}{\partial a} \right\rangle da. \quad (3.1)$$

Ferner notieren wir

$$\begin{aligned} d(k \ln \Phi) &= \frac{k}{\Phi} d\Phi = k \frac{\omega}{\Phi} [dE - \left\langle \frac{\partial H}{\partial a} \right\rangle da] \\ &= k \frac{\partial \ln \Phi}{\partial E} [dE - \left\langle \frac{\partial H}{\partial a} \right\rangle da]. \end{aligned}$$

Beimachen wir noch (2.12), so ergibt sich

$$T d(k \ln \Phi) = dE - \left\langle \frac{\partial H}{\partial a} \right\rangle da. \quad (3.2)$$

Die Gleichungen (3.1) und (3.2) haben die Struktur der ersten beiden Hauptätze der TD mit den Differentialformen

$$dQ^k = \frac{1}{\omega} d\Phi \quad , \quad (3.3)$$

$$dA^k = \left\langle \frac{\partial H}{\partial a} \right\rangle da \quad (3.4)$$

für die reversibel zugeführte Wärme und Arbeit und dem folgenden Ausdruck für die Entropie:

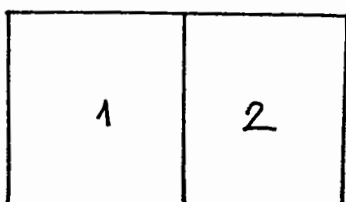
$$S(E,a) = k \ln \Phi(E,a). \quad (3.5)$$

Additivität der Entropie

Diese Interpretation wollen wir noch durch weitere Argumente untermauern. Insbesondere müssen wir die Additivität der

Eubopie (im Grenzfall $N \rightarrow \infty$) nachweisen.

Gegeben sei also ein System, das aus den beiden Subsystemen 1 und 2 zusammengesetzt ist. Der Phasenraum



ist das Cartesische Produkt $\Gamma_1 \times \Gamma_2$ und das Liouville-Mass ist das Produktmass $d\Gamma_1 \otimes d\Gamma_2$ der Liouville-Masse von Γ_1 und Γ_2 .

Zunächst betrachten wir den einfachen Fall einer isolierenden Trennwand. Dann sind für beide Systeme Energie, Volumen und Teilchenzahl (E_i, V_i, N_i) fest und natürlich gilt für das Phasenvolumen des Gesamtsystems

$$\Phi(E_1 + E_2) = \int_{\substack{H_1 \leq E_1 \\ H_2 \leq E_2}} d\Gamma = \int_{H_1 \leq E_1} d\Gamma_1 \int_{H_2 \leq E_2} d\Gamma_2 = \Phi_1(E_1) \Phi_2(E_2),$$

und somit ist in der Tat die Eubopie $\Phi(E)$ additiv:

$$S(E_1 + E_2) = S_1(E_1) + S_2(E_2).$$

Dies genügt aber noch nicht. Wir müssen auch noch eine wärmedurchlässige Trennwand betrachten, die jedoch noch starr und teilchenundurchlässig sei. Die gesamte Hamiltonfunktion sei additiv aus 1 und 2 zusammengesetzt:

$$H(x^{(1)}, x^{(2)}) = H_1(x^{(1)}) + H_2(x^{(2)}). \quad (3.6)$$

Allerdings soll eine beliebig schwache Kopplung dafür sorgen, dass Energieaustausch stattfindet ('Kohlestaubchen'). Volumen und Teilchenzahl (N_i, N_j) der beiden Subsysteme werden nach Annahme festgehalten. In dieser Situation haben wir jetzt

$$\begin{aligned}\Phi(E) &= \int d\Gamma = \int_{\{H \leq E\}} d\Gamma_1(x^{(1)}) \int_{\Gamma_1} d\Gamma_2(x^{(2)}) \\ &\quad \{H_2(x^{(2)}) \leq E - H_1(x^{(1)})\} \\ &= \int_{\Gamma_1} d\Gamma_1(x^{(1)}) \Phi_2(E - H_1(x^{(1)})).\end{aligned}$$

Folglich haben wir

$$\begin{aligned}\omega(E) &= \frac{d\Phi(E)}{dE} = \int_{\Gamma_1} d\Gamma_1(x^{(1)}) \omega_2(E - H_1(x^{(1)})) \\ &= \int dE_1 \int_{\Gamma_1} \delta(E_1 - H_1) d\Gamma_1 \omega_2(E - E_1) \\ &= \int dE_1 \omega_1(E_1) \omega_2(E - E_1).\end{aligned}$$

Es gilt also

$$\omega = \omega_1 * \omega_2 \tag{3.7}$$

(* : Faltung). Nun wählen wir für die Energie den Ausdruck

$$S = k \ln \omega, \tag{3.8}$$

der asymptotisch mit $k \ln E$ übereinstimmt. (Der relative Unterschied verschwindet wie $\ln N/N$; siehe Übungen.)

Nach (3.7) gilt also

$$\exp\left(\frac{1}{k}S(E)\right) = \int \exp\left[\frac{1}{k}S_1(E_1) + \frac{1}{k}S_2(E-E_1)\right] dE_1.$$

In der Praxis (für grosse N) hat der Integrand rechts ein scharfes Maximum bei \bar{E}_1 , bestimmt durch das Verschwinden der Ableitung des Exponenten bezüglich E_1 :

$$\frac{\partial S_1}{\partial E_1}(\bar{E}_1) = \frac{\partial S_2}{\partial E_2}(\bar{E}_2 \equiv E - \bar{E}_1).$$

Für $E_1 = \bar{E}_1$ sind also die Temperaturen der beiden Systeme gleich.

Entwickeln wir den Exponenten bis zur zweiten Ordnung um \bar{E}_1 , so kommt in Saatelpunktnäherung

$$\exp\left[\frac{1}{k}S(E)\right] \approx \exp\left[\frac{1}{k}S_1(\bar{E}_1) + \frac{1}{k}S_2(\bar{E}_2)\right] \\ \times \int_{-\infty}^{+\infty} e^{-(E_1 - \bar{E}_1)^2/2\sigma^2} dE_1,$$

mit

$$\sigma^{-1} = -\frac{1}{k} \left[\frac{\partial^2 S_1}{\partial E_1^2}(\bar{E}_1) + \frac{\partial^2 S_2}{\partial E_2^2}(\bar{E}_2) \right]. \quad (3.9)$$

Somit haben wir

$$S(E) = S_1(\bar{E}_1) + S_2(\bar{E}_2) + k \ln(\sqrt{2\pi}\sigma^{1/2}). \quad (3.10)$$

Die Größe σ gibt die Schwankungsquadrat der Energie der beiden Subsysteme. Dies wollen wir näher ausführen.

Für irgend eine Observable F_1 des Systems 1 betrachten wir zuerst

$$\int_{H_1 \leq E_1} F_1 d\Gamma_1 \otimes d\Gamma_2 = \int_{\Gamma_1} F_1(x^{(1)}) d\Gamma_1 \int_{\{H_2(x^{(2)}) \leq E - H_1(x^{(1)})\}} d\Gamma_2$$

$$= \int_{\Gamma_1} F_1(x^{(1)}) \omega_2(E - H_1(x^{(1)})) d\Gamma_1.$$

Der mikrokanonische Erwartungswert von F_1 bezüglich des Gesamtsystems ist deshalb (siehe (2.9))

$$\langle F_1 \rangle \stackrel{(2.9)}{=} \frac{1}{\omega(E)} \frac{d}{dE} \int_{\{H \leq E\}} F_1 d(\Gamma_1 \otimes \Gamma_2)$$

$$= \frac{1}{\omega(E)} \int_{\Gamma_1} F_1(x^{(1)}) \omega_2(E - H_1(x^{(1)})) d\Gamma_1.$$

Dies entspricht dem Wahrscheinlichkeitsmass

$$d\mu_1(x^{(1)}) = \frac{\omega_2(E - H_1(x^{(1)}))}{\omega(E)} d\Gamma_1 \quad (3.11)$$

auf Γ_1 . Speziell für $F_1(x^{(1)}) = \chi_{\#^{(1)} \leq E_1}$ (χ : charakteristische Funktion) erhalten wir die Wahrscheinlichkeit

$$\begin{aligned} P(H_1 \leq E_1) &= \frac{1}{\omega(E)} \int_{\{H_1 \leq E_1\}} \omega_2(E - H_1) d\Gamma_1 \\ &= \frac{1}{\omega(E)} \int_{-\infty}^{E_1} \omega_1(E'_1) \omega_2(E - E'_1) dE'_1, \end{aligned}$$

d.h. die Wahrscheinlichkeitsverteilung für E_1 ist

$$W_1(E_1) dE_1 = \frac{\omega_1(E_1) \omega_2(E - E_1)}{\omega(E)} dE_1. \quad (3.12)$$

Nach (3.7) ist diese normiert, wie es sein muss. In Gaußfunktionform ist

$$W_1(E_1) dE_1 \simeq \frac{1}{\sqrt{2\pi\sigma^2}} e^{-(E_1 - \bar{E}_1)^2/2\sigma^2} dE_1. \quad (3.13)$$

Deshalb ist ξ , wie angekündigt, das Schwankungsquadrat der Energie E_1 .

Für grosse Systeme können wir den Schwankungsbeitrag in der Beziehung (3.10) vernachlässigen und erhalten im Grenzfall $N \rightarrow \infty$ tabellarisch Additivität der Entropie. (Auf den thermodynamischen Linien werden wir in §II.6 genauer eingehen.)

Damit dürfen wir $k \ln \Phi(E)$ für grosse Systeme (im thermodynamischen Limes) mit der thermodynamischen Entropie eines isolierten Systems identifizieren.

Daraus folgt thermodynamisch

$$\frac{1}{T} = \frac{\partial S}{\partial E} = k \frac{\partial}{\partial E} \ln \Phi(E) ,$$

d.h. wieder die Gl. (2.12) :

$$\frac{\partial \ln \Phi(E)}{\partial E} = \frac{1}{kT} =: \beta . \quad (3.14)$$

Die reziproke Temperatur (β) stellt sich also als relative Änderung des Phasenvolumens mit der Energie dar.

Nach (3.2) gilt auch

$$\left\langle \frac{\partial H}{\partial a} \right\rangle = -T \frac{\partial S(E, a)}{\partial a} . \quad (3.15)$$

In besondere ist

$$-\left\langle \frac{\partial H}{\partial V} \right\rangle = T \frac{\partial S(E, V, \dots)}{\partial V} = p . \quad (3.16)$$

Auf die Konkavitätsgegenschriften der Entropie im Thermo-

dynamischen Limes werden wir in §II.7 angehen.

I.4 Gibbs'sches Variationsprinzip

Wir charakterisieren nun die Gleichverteilung auf der Energiefläche durch ein Extremalprinzip. Dazu betrachten wir die Klasse der W-Masse der Form $\varrho d\Gamma_E$, wobei ϱ eine $d\Gamma_E$ -integrierbare Funktion auf Γ_E ist. Jeder W-Dichte ϱ ordnen wir eine "Europie" zu durch

$$S(\varrho) = -k \int_{\Gamma_E} \varrho \ln \varrho \, d\Gamma_E , \quad (4.1)$$

welche wir als ein Mass für die Ignoranz im Zustand $\varrho d\Gamma_E$ interpretieren. Wir zeigen jetzt, dass $\varrho \equiv 1/\omega(E)$ die Europie (4.1) maximalisiert (Gibbs'sches Variationsprinzip). Die Europie wird also für den unkosten Zustand $d\mu_E$ maximal.

Beweis: Es ist

$$\begin{aligned} S(\omega(E)^{-1}) - S(\varrho) &= k \int \varrho \ln \varrho \, d\Gamma_E - k \int \omega^{-1} \ln \omega^{-1} \, d\Gamma_E \\ &= k \int \varrho \ln \varrho \, d\Gamma_E - k \int \varrho \ln \omega^{-1} \, d\Gamma_E \\ &= k \int \varrho (\ln \varrho - \ln \omega^{-1}) \, d\Gamma_E \\ &\geq k \int (\varrho - \omega^{-1}) \, d\Gamma_E = 0 \quad (= \text{nur für } \varrho = \bar{\omega}^{-1}). \end{aligned}$$

Beim Ungleichheitszeichen haben wir die folgende einfache Ungleichung benutzt:

Für $f \geq 0, g \geq 0$ gilt

$$f(\ln f - \ln g) \geq f - g , \quad (4.2)$$

wobei das Gleichheitszeichen genau für $f = g$ zutrifft.

Diese beweist man so: Zunächst sei $g > 0$. Dann ist die Ungl. (4.2) äquivalent zu

$$\frac{f}{g} \ln \frac{f}{g} \geq \frac{f}{g} - 1.$$

Tabäglich ist aber für $0 \leq x < \infty$ immer $x \ln x \geq x - 1$ ($=$ nur für $x = 1$). Dwd. Gezeigt folgt dann (4.2) für alle $g \geq 0$.

Wir wollen uns über den Entropieausdruck (4.1) noch etwas unterhalten. Zunächst eine einfache Bemerkung: Wegen der Invarianz von $d\Gamma_E$ unter dem Fluss ϕ_t folgt für $\rho_t = \rho \circ \phi_t$

$$\begin{aligned} S(\rho_t) &= -k \int \rho_t \ln \rho_t d\Gamma_E = -k \int (\rho \ln \rho) \circ \phi_t d\Gamma_E \\ &= -k \int \rho \ln \rho d\Gamma_E = S(\rho) \text{ für alle } t. \end{aligned} \quad (4.3)$$

Die Entropie bleibt also zeitlich konstant. Man kann sich nach einer gewollten Beschreibung hoffen, ein tt-Theorem zu erhalten. Im Unterschied zur Gibbschen Entropie (4.1) bleibt die Boltzmann-Entropie nicht konstant (siehe dazu Aufhang B).

Für die weiteren Eigenschaften der Entropie behalten wir allgemeiner einen Maßraum $(X, \mathcal{A}, d\mu)$. Bezeichnen wieder ρ eine $d\mu$ -integrierbare Funktion, so dass $\rho d\mu$ ein W-Mass ist, so sei wieder

$$S(\rho) = -k \int_X \rho \ln \rho d\mu. \quad (4.4)$$

Beispiel: $X = \{1, 2, \dots, n\}$, $d\mu$ gibt jedem Element

von X das Gewicht 1; ferner sei

$$p(i) =: p_i, \quad \sum_{i=1}^n p_i = 1.$$

dann ist

$$S(p) = -k \sum_i p_i \ln p_i. \quad (4.5)$$

Interpretation: In sehr vielen Versuchen, N , wird Np_i mal das Ereignis i eintreten. Sei Z_N die Anzahl der Möglichkeiten, in N Versuchen Np_i mal das Ereignis i für $i=1, \dots, n$ zu ziehen. Offensichtlich ist

$$Z_N = \frac{N!}{\prod_{i=1}^n (Np_i)!}.$$

Wir betrachten die Größe

$$\begin{aligned} \frac{1}{N} \ln Z_N &\approx \frac{1}{N} \left[N \ln N - N + O(\ln N) - \sum_{i=1}^n Np_i \ln(Np_i) - Np_i O(\ln(Np_i)) \right] \\ &\approx - \sum_i p_i \ln p_i + O\left(\frac{\ln N}{N}\right). \end{aligned}$$

Es ist also

$$S \approx k \frac{\ln Z_N}{N} \propto \ln (\text{Zahl der Möglichkeiten})$$

Die Entropie ist konkav: Sei $p = \lambda p_1 + (1-\lambda)p_2$, $0 \leq \lambda \leq 1$, dann gilt

$$S(p) \geq \lambda S(p_1) + (1-\lambda) S(p_2). \quad (4.6)$$

Beweis: Dies ergibt sich aus der Ungl. (4.2):

$$S(p) - \lambda S(p_1) - (1-\lambda) S(p_2) = \lambda k \int p_1 (\ln p_1 - \ln p) d\mu +$$

$$+ (1-\lambda) k \int \varrho_2 (\ln \varrho_2 - \ln \varrho) d\mu \\ \stackrel{(4.2)}{\geq} 0 \quad (= \text{f\"ur } \varrho_1 = \varrho_2 = \varrho).$$

S ist subadditiv: Wir betrachten das Produkt $(X_1 \times X_2, A_1 \otimes A_2, d\mu_1 \otimes d\mu_2)$ von zwei Räumen $(X_i, A_i, d\mu_i)$ ($i=1,2$) und darauf den Zustand ϱ (das W-Mass $\varrho d\mu_1 \otimes d\mu_2$).

Sei

$$\varrho_1(x_1) = \int \varrho(x_1, x_2) d\mu_2(x_2), \\ \varrho_2(x_2) = \int \varrho(x_1, x_2) d\mu_1(x_1).$$

Die $\varrho_i d\mu_i$ sind Zustände (W-Kette) der beiden Räume.
Die Subadditivität bedeutet:

$$S(\varrho) \leq S(\varrho_1) + S(\varrho_2) \quad (4.7) \\ (= \text{wir f\"ur } \varrho = \varrho_1 \otimes \varrho_2).$$

Beweis:

$$S(\varrho) - S(\varrho_1) - S(\varrho_2) = -k \int \varrho \ln \varrho d\mu + k \int \varrho (\ln \varrho_1 + \ln \varrho_2) d\mu \\ = -k \int \varrho (\ln \varrho - \ln (\varrho_1 \otimes \varrho_2)) d\mu \\ \stackrel{(4.2)}{\leq} -k \int (\varrho - \varrho_1 \otimes \varrho_2) d\mu = 0 \quad (= \text{wir f\"ur } \varrho = \varrho_1 \otimes \varrho_2).$$

Bemerkungen zum Gibbs'schen Variationsprinzip

Es erscheint mir unbefriedigend, dieses Erbenalprinzip als Ausgangspunkt der SM zu nehmen. Dieser Standpunkt

verzichtet zum vorherin darauf, das makroskopische Verhalten makroskopischer Systeme allein aus der mikroskopischen Theorie zu erläutern. Es ist ja a priori nicht ausgeschlossen, dass die mikroskopische Dynamik zu Abweichungen der Gleichverteilung führt, welche auch makroskopische Auswirkungen haben. Daraus ändert die Fabrikant wünscht, dass die Gleichverteilung die Entropie (4.1) maximiert.

Eine simple Analogie möge dies verdeutlichen (aus Jelitto, Kap. 10): Ein Fabrikant möchte 3000 Bälle in den Farben rot, grün und blau produzieren. Wir stellen uns vor, eine Umfrage hätte ergeben, dass 98% aller Kinder rote Bälle bevorzugen würden, der Fabrikant aber nichts davon wüsste. Dann müsste er aufgrund seines Kenntnisstandes die Entropie (4.5) maximieren, was die Gleichverteilung $p_i = \frac{1}{3}$ ergibt. Der Verkauf würde ihm aber belehren, dass er doch falsch gehandelt hätte.

Damit sollte nochmals betont werden, dass die Grundlagenfragen der SM noch nicht befriedigend gelöst sind.

I.5 Gibbs'sches Paradoxon

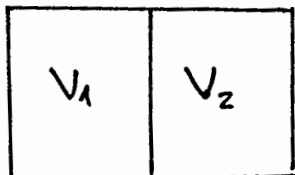
Wir kehren nochmals zum klassischen monoatomaren Gas zurück. Nach (2.11) ist für grosse N

$$N^{-1} k \ln \Phi(E) = k \ln \left[v \left(\frac{4\pi m}{3} \right)^{3/2} \varepsilon^{3/2} N \right] + \frac{3}{2} k. \quad (5.1)$$

Dieser Ausdruck strengt im thermodynamischen Limes: $N \rightarrow \infty$, $v, \varepsilon = \text{const.}$ Deshalb ist $k \ln \Phi(E)$ keine ex-

intensive Größe und kann also nicht wirklich die richtige Entropie sein!

Eine weitere Schwierigkeit steht die folgende Beobachtung von Gibbs auf. Gegeben seien zwei ideale Gase mit N_1 und N_2 Teilchen, welche sich in zwei separaten Volumina V_1 und V_2 auf gleicher Temperatur und bei gleichen Drücken befinden sollen. Nun besetze man die Trennwand



und lasse die Gase sich im Volumen $V = V_1 + V_2$ durchmischen. Die Änderung von $\ln \Phi(E)$ ist nach (5.1)

$$\Delta \ln \Phi = N_1 \ln \frac{V}{V_1} + N_2 \ln \frac{V}{V_2}. \quad (5.2)$$

Dies ist die Frischenentropie. (Siehe auch mein TD Buch, §6.3.) Dieses Resultat ist auch für verschiedene Gase (z.B. Argon und Neon) experimentell richtig. Das Gibbs'sche Paradoxon ergibt sich für identische Gase, denn dann sollte keine Frischenentropie auftreten.

Die Quantentheorie wird uns zeigen (§ III.8), dass die korrekte Entropie, für welche die obigen Schwierigkeiten entfallen, durch den folgenden Ausdruck gegeben ist:

$$S = k \ln \Phi^*, \quad (5.3)$$

mit

$$\Phi^* = \frac{1}{N! h^{3N}} \Phi(E, V, N). \quad (5.4)$$

Der Faktor $N!$ beruht dabei auf der Ununterscheidbarkeit der Teilchen.

Für das ideale Gas ergibt sich dann – mit der Stirlingdien Formel – für die Entropie

$$S(E, V, N) = Nk \ln \left[\frac{V}{N} \left(\frac{E}{N} \right)^{3/2} \right] + \frac{3}{2} Nk \left[\frac{5}{3} + \ln \frac{4\pi k}{3h^2} \right]$$

(Sackur-Tetrode-Formel für ideale Gase) (5.5)

Diese ist offensichtlich extensiv. Da $T^{-1} = \partial S / \partial E = (3/2)Nk/E$, d.h. $E = \frac{3}{2}NkT$, haben wir auch

$$S(T, V, N) = Nk \left\{ \ln \left(\frac{N}{\lambda^3(T)} \right) + \frac{5}{2} \right\}, \quad (5.6)$$

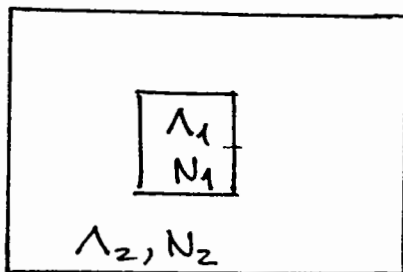
mit der Planckschen Wellenlänge

$$\lambda(T) = \frac{\hbar}{\sqrt{2\pi m k T}}. \quad (5.7)$$

* * *

1.6 Die kanonische Gesamtheit

Wir betrachten nun wieder, wie beim Beweis der Additivität der Entropie in Abschnitt I.3, zwei Subsysteme im Wärmekontakt. Diesmal sei aber $N_1 \ll N_2$, $V_1 \ll V_2$; wir studieren also das Verhalten eines Systems 1 im thermischen Kontakt mit einem Wärmebad. Das Gesamtsystem wird



durch die mikrokanonische Gesamtheit $d\mu_{1+2}$ beschrieben. Ohne Näherungen können wir Erwartungswerte von Observablen auf Γ_1 mit dem W-Hass (3.11) berechnen, wodurch wir nun so schreiben:

$$d\mu_1(x_1) = \frac{Z_2(E - H_1(x_1))}{Z_{1+2}(E)} \frac{d\Gamma_1(x_1)}{h^{3N_1} N_1!} . \quad (6.1)$$

Dabei sind

$$Z_i = \frac{1}{h^{3N_i} N_i!} \omega_i ,$$

$$Z_{1+2} = \frac{1}{h^{3(N_1+N_2)} N_1! N_2!} \omega_{1+2}$$

die mikrokanonischen Zustandssummen. Für diese gilt nach (3.7)

$$Z_{1+2} = Z_1 * Z_2 . \quad (6.2)$$

Speziell ist die Wahrscheinlichkeitsverteilung für E_1 nach (3.12) gegeben durch

$$W(E_1) dE_1 = \frac{Z_1(E_1) Z_2(E-E_1)}{Z(E)} dE_1. \quad (6.3)$$

Nun werden wir $d\mu_1$ approximativ aus für den Fall, dass das System 2 — wie angenommen — ein Wärmebad ist. Es ist dann (wenn wir den Unterschied von μ_1 und μ_2 wieder vernachlässigen)

$$\begin{aligned} Z_2(E-H_1(x_1)) &= \exp \left[\frac{1}{k} S_2(E-H_1(x_1)) \right] \\ &= Z_2(E) \exp \left[-\frac{1}{k} \frac{\partial S_2}{\partial E}(E) H_1(x_1) + \frac{1}{2k} \frac{\partial^2 S_2}{\partial E^2}(E) H_1(x_1)^2 \right], \end{aligned}$$

wo \tilde{E} ein Zuschlagswert von E ist. Nun ist $\frac{\partial S_2}{\partial E} = \frac{1}{T}$, wobei T die Temperatur des Wärmebades ist. Damit erhalten wir

$$d\mu_1(x_1) = \frac{Z_2(E)}{Z_{1+2}(E)} e^{-\beta H_1(x_1)} \frac{d\Gamma_1}{h^{S_1} N_1!} \exp \left[\frac{1}{2k} \frac{\partial^2 S_2}{\partial E^2}(\tilde{E}) H_1(x_1)^2 \right]. \quad (6.4)$$

Da aber

$$\frac{\partial^2 S_2}{\partial E^2} = \frac{1}{N_2^2} \frac{\partial^2 S_2}{\partial \varepsilon^2}, \quad \varepsilon := \frac{E}{N_2}$$

und S_2 proportional zu N_2 ist, ist $\frac{\partial^2 S_2}{\partial E^2}$ von der Ordnung $\Theta(1/N_2)$, falls keine anomalen Schwanungen auftreten. (Wir haben bereits auf S. 21–22 gesehen, dass $\partial^2 S_2 / \partial E^2$ die Energieschwankungen des Wärmebades bestimmt.) Da $H_1(x_1)$ sich wie $\Theta(N_1)$ verhält, ist der Exponent im Koeffizientenfaktor von (6.4) von der Ordnung $\Theta(1/N_1)$

kleiner als $\beta H_1(x_i)$. Daraus erhalten wir in ausreichender Näherung

$$d\mu_1 = \frac{Z_2(E)}{Z_{\text{Kan}}(E)} e^{-\beta H_1} \frac{d\Gamma_1}{h^{3N_1} N_1!} \quad (6.5)$$

Der Vorfaktor ergibt sich aus der Normierungsbedingung zu

$$\frac{Z_{\text{Kan}}(E)}{Z_2(E)} = Z_{\text{Kan}}^{(1)}, \quad (6.6)$$

wo $Z_{\text{Kan}}^{(1)}$ die sog. kanonische Zustandssumme

$$Z_{\text{Kan}}^{(1)}(\beta, V_1, N_1) = \int_{\Gamma_1} e^{-\beta H_1} \frac{d\Gamma_1}{h^{3N_1} N_1!}$$

des kleinen Systems bezeichnet.

Daraus haben wir das folgende wichtige Resultat gefunden:
Der Gleichgewichtszustand eines Systems im thermischen Kontakt mit einem Wärmebad ist durch das kanonische W-Klass

$$d\mu_{\text{Kan}} = Z_{\text{Kan}}^{-1} e^{-\beta H} \frac{d\Gamma}{h^{3N} N!},$$

$$Z_{\text{Kan}}(\beta, V, N) = \int_{\Gamma_{1,N}} e^{-\beta H} \frac{d\Gamma}{h^{3N} N!}, \quad (6.7)$$

gegeben, wobei $(k_B)^{-1}$ die Temperatur des Wärmebades ist.

Ergänzung

Das Wärmebad sei ein ideales Gas. In diesem Fall können wir die oben gemachten Näherungen genauer kontrollieren.

Wir benötigen

$$\frac{Z_2(E-H_1)}{Z_2(E)} = \frac{\omega_2(E-H_1)}{\omega_2(E)} .$$

Nun war für ein ideales Gas (S. 15)

$$\Phi(E) = V^N \frac{\pi^{3N/2}}{\Gamma(\frac{3N}{2}+1)} (2mE)^{3N/2},$$

also

$$\omega_2(E) \propto E^{(3N-2)/2}.$$

Folglich ist

$$\frac{Z_2(E-H_1)}{Z_2(E)} = \left(1 - \frac{H_1}{E}\right)^{\frac{3N-2}{2}} \rightarrow e^{-\frac{3}{2}H_1/\varepsilon},$$

wobei $\varepsilon = E/N$ für $E, N \rightarrow \infty$ festgehalten wird. Setzen wir $\varepsilon = \frac{3}{2}kT$, so folgt für ein grosses Wärmebad

$$\frac{Z_2(E-H_1)}{Z_2(E)} \rightarrow e^{-\beta H_1}, \quad \beta = \frac{1}{kT}.$$

Wir erhalten also wieder das kanonische Mass.

Bei dieser Herleitung kommt es übrigens nicht darauf an, wie gross das System 1 ist. Unser Resultat gilt auch für ein einzelnes Teilchen! Natürlich werden wir nur für grosse Systeme für die mikrokanonische und die kanonische Gesamtheit die gleiche Thermodynamik erhalten (Mehreres dazu in § I.10).

I.7 Verknüpfung mit der Thermodynamik

Nun wollen wir den Ausdruck an die Thermodynamik herstellen.

a) Die freie Energie

Wir zeigen zunächst, dass die Helmholtz'sche freie Energie F des Systems sehr einfach mit der kanonischen Zustandssumme zusammenhängt:

$$F(T, V, N) = -kT \ln Z_{\text{kan}}(T, V, N). \quad (7.1)$$

Dazu gehen wir auf die folgende Gleichung zurück (s. S. 20):

$$\exp\left[\frac{1}{k} S_{1+2}(E)\right] = \int \exp\left[\frac{1}{k} S_1(E_1) + \frac{1}{k} S_2(E-E_1)\right] dE_1.$$

Nun fällt $S_2(E-E_1)$ mit E_1 stark ab, da das Bad 2 viel größer ist als das System 1. Deshalb entwerten wir den Exponenten rechts wieder wie auf S. 20. Die Entropie $S_1(E_1)$ entwerten wir ferner um den stationären Wert \bar{E}_1 und benutzen außerdem

$$\frac{\partial S_2}{\partial E_2}(E_2=E) \approx \frac{\partial S'_2}{\partial E_2}(E_2=E-\bar{E}_1),$$

$$\frac{\partial^2 S_2}{\partial E_2^2}(E_2=E) \ll \frac{\partial^2 S_1}{\partial E_1^2}(E_1=\bar{E}_1)$$

(Überprüfe letzteres für das ideale Gas). Daraus kommt

$$\exp\left[\frac{1}{k} S_{1+2}(E)\right] = \exp\left[\frac{1}{k} S_2(E)\right] \int \exp\left[\frac{1}{k} S_1(\bar{E}_1) - \beta \bar{E}_1 - \frac{1}{2} (E_1 - \bar{E}_1)^2 / \Gamma\right] d(E_1 - \bar{E}_1)$$

$$= \exp \left[\frac{1}{k} S_2(E) + \frac{1}{k} S_1(\bar{E}_1) - \beta_1 \bar{E}_1 \right] \times \sqrt{2\pi\sigma},$$

mit $\bar{\sigma}^1 = -\frac{1}{k} \frac{\partial S_1}{\partial E_1}$.

Anderseits ist nach (6.6)

$$Z_{\text{kan}}^{(1)} = \frac{Z_{\text{kan}}(E)}{Z_2(E)} = \exp \left[\frac{1}{k} S_{102}(E) - \frac{1}{k} S_2(E) \right].$$

Vergleichen wir dies mit dem letzten Resultat, so folgt

$$Z_{\text{kan}}^{(1)} = \exp \left[-\beta_1 \bar{E}_1 + \frac{1}{k} S_1(\bar{E}_1) \right] \sqrt{2\pi\sigma}.$$

Deshalb gilt

$$-kT_1 \ln Z_{\text{kan}}^{(1)} = \bar{E}_1 - T_1 S_1(\bar{E}_1) - kT_1 \ln \sqrt{2\pi\sigma}. \quad (7.2)$$

In thermodynamischen Limes können wir den letzten Term wieder vernachlässigen. In diesem Grenzfall ist deshalb tatsächlich $-kT_1 \ln Z_{\text{kan}}^{(1)}$ die freie Energie des Systems 1.

Da die kanonische Zustandssumme von den 'zuhängen' Variablen T, V und N für die freie Energie abhängt, liefert uns Gl. (7.1) also, was wir zur Beschreibung der thermodynamischen Eigenschaften benötigen. Für praktische Rechnungen ist die kanonische Gesamtheit viel bequemer als die mikrokanonische. Wir werden später sehen (§I.10), dass die beiden für grosse Systeme äquivalent werden.

b) Innere Energie, Entropie

Die innere Energie U ist gleich dem Mittelwert von H :

$$U = \langle H \rangle = Z^{-1} \int H \bar{e}^{\beta H} \frac{d\Gamma}{h^{3N} N!}$$
$$= -Z^{-1} \frac{\partial}{\partial \beta} \int \bar{e}^{\beta H} \frac{d\Gamma}{h^{3N} N!} = -Z^{-1} \frac{\partial Z}{\partial \beta},$$

d.h.

$$\boxed{U = -\frac{\partial}{\partial \beta} \ln Z.} \quad (7.3)$$

Für (7.1) ergibt sich auch

$$U = \frac{\partial}{\partial \beta} (\beta F) = F - T \frac{\partial F}{\partial T}.$$

Somit folgt aus $U = F + TS$ die wichtige thermodynamische Beziehung $S = -\partial F / \partial T$. Für die Entropie erhalten wir

$$S = \frac{U - F}{T} = \beta k U + k \ln Z$$

und dies ist auch gleich dem folgenden Ausdruck

$$\boxed{S = -k \int \rho \ln \rho \frac{d\Gamma}{h^{3N} N!}, \quad \rho = Z^{-1} \bar{e}^{\beta H},} \quad (7.4)$$

was zu erwarten war.

c) Gibbs'sches Variationsprinzip für die kan. Ges.

Auch die kanonische Gesamtheit lässt sich durch ein Extremalprinzip charakterisieren: Der kanonische Zustand

$$\rho_k = Z^{-1} e^{-\beta H}$$

Macht die Energie

$$S(\rho) = -k \int \rho \ln \rho \frac{d\Gamma}{\dots}$$

bei gegebenem Erwartungswert $\langle H \rangle$ maximal.

Beweis: Aus der Nebenbedingung folgt

$$\int (\ln \rho_k) \rho d\Gamma = \int (\ln \rho_k) \rho_k d\Gamma .$$

Ferner gilt

$$\int \rho d\Gamma = \int \rho_k d\Gamma ;$$

$$\begin{aligned} \text{somit} \quad k^{-1} (S(\rho_k) - S(\rho)) &= \int (\rho \ln \rho - \rho_k \ln \rho_k) d\Gamma \\ &= \int \rho (\ln \rho - \ln \rho_k) d\Gamma \stackrel{(4.z)}{\geq} \int (\rho - \rho_k) d\Gamma = 0 \\ &\quad (= \text{nur f\"ur } \rho = \rho_k). \end{aligned}$$

d) Schwankungen der Energie

F\"ur das Schwankungsquadrat, $\sigma^2(H)$, der Energie haben wir

$$\begin{aligned} \sigma(H)^2 &= \langle (H - \langle H \rangle)^2 \rangle = \underbrace{\langle H^2 \rangle}_{\frac{1}{Z} \frac{\partial Z}{\partial \beta^2}} - \underbrace{\langle H \rangle^2}_{\left(\frac{1}{Z} \frac{\partial Z}{\partial \beta} \right)^2} \\ &= \frac{\partial}{\partial \beta} \left(\frac{1}{Z} \frac{\partial Z}{\partial \beta} \right). \end{aligned}$$

Also ist

$$\xi^2(H) = \frac{\partial^2}{\partial \beta^2} \ln Z = -\frac{\partial U}{\partial \beta} = -\frac{\partial^2}{\partial \beta^2} (\beta F). \quad (7.5)$$

Dies zeigt u.a., dass die Funktion $U(\beta)$ monoton abnehmend ist. Wir haben auch (Einstein)

$$\xi^2(H) = kT^2 \frac{\partial U}{\partial T} = kT^2 C_V, \quad (7.6)$$

wo C_V die spezifische Wärme bei konstantem Volumen ist. Diese muss also nicht negativ sein. Es ist überraschend, dass die Schwankung der Energie, welche ja innerhalb der Thermodynamik nicht vorkommt, nur von thermodynamischen Größen abhängt.

e) Konvexität von $\ln Z_{\text{kan}}(\beta, N, V)$ in β

Diese Eigenschaft ist ein Spezialfall des folgenden Wahrscheinlichkeits-Satzverhalts: Für zwei beliebige Funktionen $e^f, e^g \in L^1(\mu)$ eines beliebigen Maßraumes gilt

$$\int e^{\lambda f + (1-\lambda)g} d\mu \leq \left(\int e^f d\mu \right)^\lambda \left(\int e^g d\mu \right)^{1-\lambda}. \quad (7.7)$$

Dies ist eine unmittelbare Folge der Hölderschen Ungleichung

$$\|F \cdot G\|_1 \leq \|F\|_p \|G\|_q, \quad \frac{1}{p} + \frac{1}{q} = 1. \quad (7.8)$$

Tabellarisch gilt diese für $F = e^{\lambda f}$, $G = e^{(1-\lambda)g}$, $p = \frac{1}{\lambda}$, $q = \frac{1}{1-\lambda}$ gerade die Bedeutung (7.7)

Aus (7.7) folgt nun insbesondere für

$$Z(\alpha) := \int e^{\alpha f} d\mu$$

die Konvexitäts-eigenschaft

$$\ln Z(\lambda\alpha + (1-\lambda)\beta) \leq \lambda \ln Z(\alpha) + (1-\lambda) \ln Z(\beta).$$

Deshalb ist $\ln Z_{\text{kan}}(\beta, V, N)$ konvex in β . Dies bleibt auch im thermodynamischen Limes bestehen. Konvexitäts-eigenschaften in V und N ergeben sich erst im thermodynamischen Limes (siehe § II.7).

I.8 Ein anderer Zugang zu den kanonischen Gesamtheiten

Gibt es einen vernünftigen Zugang zu den kanonischen Gesamtheiten, ohne den Umweg über die mikrokanonische Gesamtheit, welche wir ja letztlich auch nicht befriedigend begründen können? (Außerdem ist ein wirtelich isoliertes System eine Fiktion; s. Übungen.)

Eine gewisse Reduzierung der kanonischen Gesamtheit könnte man im Gibbs'schen Variationsprinzip erblicken. Dieser Standpunkt kann aber wie früher kritisiert werden (s. S. 26-27). Der kanonische Zustand ist aber auch durch die folgende Faktorisierungseigenschaft charakterisiert:

Für zwei beliebig schwach gekoppelte Systeme gilt für den kanonischen Zustand des zusammengesetzten Systems

$$d\mu_{\text{kan}} = d\mu_{\text{kan}}^{(1)} \otimes d\mu_{\text{kan}}^{(2)} \quad (8.1)$$

und durch diese Eigenschaft ist der kanonische Glie-

gewichtszustand ausgerechnet.

Dies beruht darauf, dass die Funktion $e^{\beta x}$ die einzige Lösung der Funktionalgleichung $f(x_1)f(x_2) = f(x_1+x_2)$ ist.

Wir wollen nun noch den Brüderersatz zu TD direkt für die kanonische Gesamtheit vollziehen. Zunächst bemerken wir, dass β in

$$\rho = z^{-1} e^{\beta H}$$

aufgrund der Faktorisierungseigenschaft als Gleichgewichtsparameter angesehen werden kann.

Wieder betrachten wir nun reversible Zustandsänderungen, bei denen also das System dauernd im kanonischen Zustand bleibt. Die Hamiltonfunktion $H(x; \alpha)$ hängt wieder von einer Anzahl von Parametern $\alpha_1, \alpha_2, \dots$ (Volumen, etc.) ab.

Zunächst gilt nun für einen beliebigen Zustand und für beliebige Variationen

$$\begin{aligned}\delta U &= \delta \int H \rho d\Gamma = \sum_i \left(\int \frac{\partial H}{\partial \alpha_i} \rho d\Gamma \right) \delta \alpha_i + \int H \delta \rho d\Gamma \\ &= - \sum_i K_i \delta \alpha_i + \int H \delta \rho d\Gamma,\end{aligned}$$

wobei

$$K_i = - \left\langle \frac{\partial H}{\partial \alpha_i} \right\rangle \quad (8.2)$$

die verallgemeinerten Kräfte sind. Wir interpretieren dieses Resultat als

$$\text{1. Hauptatz: } \delta U = \delta A^\leftarrow + \delta Q^\leftarrow \quad , \quad (8.3)$$

mit

$$\delta A^L = - \sum k_i \delta a_i , \quad (8.4)$$

$$\delta Q^L = \int H \delta p d\Gamma . \quad (8.5)$$

Nun spezialisieren wir auf reversible Zustandsänderungen und zeigen zunächst, dass $\beta \delta Q^L$ ein exaktes Differenzial ist. Dazu betrachten wir (für den kanonischen Zustand)

$$\begin{aligned} \delta \langle \ln p \rangle &= \int (\delta p \ln p + \delta \ln p) d\Gamma = \int \delta p \ln p d\Gamma \\ &= \int \delta p (-\ln Z - \beta H) d\Gamma = -\beta \int H \delta p d\Gamma = -\beta \delta Q^L . \end{aligned}$$

Wir haben also

$$k \beta \delta Q^L = \delta S , \quad (8.6)$$

mit

$$S = -k \langle \ln p \rangle . \quad (8.7)$$

Dies ist gerade der 2. Hauptatz. Bei passender Verfügung über k folgt $\beta = 1/kT$. Gleichzeitig erhalten wir den folgenden Ausdruck für die Entropie:

$$\begin{aligned} S &= -k \int (-\ln Z - \beta H) p d\Gamma \\ &= k \ln Z + \underbrace{k \beta U}_{-k \beta \frac{\partial}{\partial \beta} \ln Z} = k \beta^2 \frac{\partial}{\partial \beta} \left(-\frac{1}{\beta} \ln Z \right) \\ &= \frac{\partial}{\partial T} (kT \ln Z) . \end{aligned}$$

Die freie Energie ist nach dem eben ausgeführten

$$F = U - TS = U - T(k \ln Z + k \beta U) = -kT \ln Z \quad (8.8)$$

und die vorherige Gl. zeigt, dass wir die richtige thermodynamische Beziehung $S = -\partial F / \partial T$ erhalten.

Gerdverteilungssatz für die kanonische Gesamtheit

Dieser ergibt sich sofort nach einer partiellen Integration:

$$\begin{aligned} \langle x_i \frac{\partial H}{\partial x_j} \rangle &= Z^{-1} \int_{\Gamma} x_i \frac{\partial H}{\partial x_j} e^{-\beta H} d\Gamma \\ &\quad \underbrace{\qquad}_{(-\frac{1}{\beta}) \frac{\partial}{\partial x_j} e^{-\beta H}} \\ &= kT \delta_{ij} Z^{-1} \int_{\Gamma} e^{-\beta H} d\Gamma = kT \delta_{ij}. \end{aligned} \quad (8.9)$$

Historisch war es ein Glücksfall, dass Planck diesen Satz systematisch ignorierte (siehe den "Prolog" zu QM I).

* * *

I.9 Die grosskanonische Gesamtheit

Wir haben gesehen, dass der kanonische Zustand ein System im Gleichgewicht beschreibt, welches mit seiner Umgebung Energie aber keine Teile austauschen kann. Nun wollen wir den Gleichgewichtszustand eines Unter-
systems auffinden, das auch künftig die Teilenzahl offen ist.

Das Resultat der Untersuchung wird folgendes sein:
Da die Teilenzahl nicht feststeht, ist der Phasenraum die disjunkte Vereinigung der N -Teilchen Phasenräume $\Gamma_{\lambda,N}$

$$\Gamma_{\lambda}^{\text{g-kan}} = \bigcup_{N=0}^{\infty} \Gamma_{\lambda,N}. \quad (\text{g.1})$$

Ein Mass μ auf $\Gamma_{\lambda}^{\text{g-kan}}$ ist durch dessen Restriktionen μ_N auf $\Gamma_{\lambda,N}$ bestimmt*) für das grosskanonische W-Mass (Gleich-

*) Eine Funktion f auf $\Gamma_{\lambda}^{\text{g-kan}}$ entspricht einer Familie $\{f_N\}$ von Funktionen auf $\Gamma_{\lambda,N}$ und es ist

$$\int f d\mu = \sum_{N=0}^{\infty} \int f_N d\mu_N.$$

Die Klasse μ_N können wir auch als Klasse von $\Gamma_{\lambda}^{\text{g-kan}}$ auf-
fassen, indem wir diese mit den Bildmassen über die kanoni-
schen Injektionen in: $\Gamma_{\lambda,N} \rightarrow \Gamma_{\lambda}^{\text{g-kan}}$ identifizieren.

geordnetzustand) lauten diese ($V := 1 \wedge 1$)

$$\frac{d\mu_{g-\text{kan}}^{(\beta, V, \mu)}}{d\Gamma_{\lambda, N}} \Big|_{\Gamma_{\lambda, N}} = [Z_{g-\text{kan}}(\beta, V, \mu)]^{-1} e^{\beta(H_N - \mu N)} \frac{d\Gamma_{\lambda, N}}{N! h^{3N}}. \quad (9.2)$$

Der Parameter μ ist das chemische Potential des Reservoirs und der Normierungsfaktor $Z_{g-\text{kan}}(\beta, V, \mu)$ ist die grosskanonische Zustandssumme

$$Z_{g-\text{kan}}(\beta, V, \mu) = \sum_{N=0}^{\infty} e^{\beta \mu N} Z_{\text{kan}}(\beta, V, N). \quad (9.3)$$



Diese bestimmt das grosskanonische Potential^{*)} gemäß

$$\Omega(\beta, V, \mu) = -kT \ln Z_{\text{g-kan}}(\beta, V, \mu). \quad (9.4)$$

Für dieses gilt^{*)}

$$d\Omega = -SdT - \beta dV - Nd\mu \quad (9.5)$$

und für ein homogenes System ist $\Omega = -V_F(T, \mu)$.

Bevor wir diese Resultate herleiten, zeigen wir, dass der grosskanonische Zustand wieder das entsprechende Extremalprinzip erfüllt, das man auch als unabhängige Reduzierung für diese Gesamtheit ansehen könnte:

Der grosskanonische Zustand (9.2) wählt die Entropie bei gegebenen Erwartungswerten $\langle H \rangle$ und $\langle N \rangle$ maximal.

Der Beweis ergibt sich ähnlich wie schon früher (siehe § I.7c). Als Konkurrenz haben wir Masse der Form
 $(d\Gamma_N^* := d\Gamma_N / N! h^{3N})$

$$d\mu = \sum_{N=0}^{\infty} p_N d\Gamma_N^*, \quad \sum_{N=0}^{\infty} \int p_N d\Gamma_N^* = 1,$$

mit

$$S(\rho) = -k \sum_N \int p_N \ln p_N d\Gamma_N^*,$$

$$\langle H \rangle = \sum_N \int H_N p_N d\Gamma_N^*,$$

$$\langle N \rangle = \sum_N N \int p_N d\Gamma_N^*$$

^{*)} Zur Erinnerung konsultiere man z.B. N. Straumann; Thermodynamik, Lecture Notes in Physics, Vol. 265 (1986); speziell § II.7.

zuzulassen. Schreiben wir

$$d\mu_{g-\text{kan}} = \sum_{N=0}^{\infty} p_N^{(0)} d\Gamma_N^*, \quad p_N^{(0)} = \sum_{g-\text{kan}}^{-1} e^{-\beta(H_N + \mu_N)},$$

so ergibt sich aus den Nebenbedingungen die Gleichheit

$$\sum_N \int (\ln p_N^{(0)}) p_N d\Gamma_N^* = \sum_N \int (\ln p_N^{(0)}) p_N^{(0)} d\Gamma_N^*.$$

Somit erhalten wir

$$\begin{aligned} k^{-1} [S(p^{(0)}) - S(p)] &= \sum_N \int (p_N \ln p_N - p_N^{(0)} \ln p_N^{(0)}) d\Gamma_N^* \\ &= \sum_N p_N (\ln p_N - \ln p_N^{(0)}) d\Gamma_N^* \stackrel{(4.2)}{\geq} \sum_N (p_N - p_N^{(0)}) d\Gamma_N^* = 0 \\ &\quad (= 0 \text{ nur f\"ur } p_N = p_N^{(0)} \text{ f\"ur alle } N). \end{aligned}$$

F\"ur den Br\"uderschlag zw. TD berechnen wir zuerst die Entropie

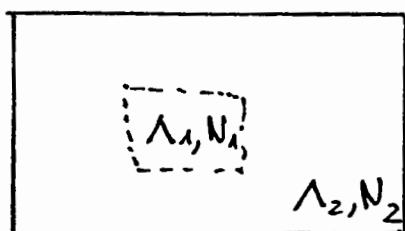
$$\begin{aligned} S &= -k \sum_N \int p_N^{(0)} (-\beta H_N + \beta \mu_N - \ln Z_{g-\text{kan}}) d\Gamma_N^* \\ &= \frac{1}{T} \langle H \rangle - \frac{\mu}{T} \langle N \rangle + k \ln Z_{g-\text{kan}} \\ &= \frac{1}{T} U - \frac{\mu}{T} \bar{N} + k \ln Z_{g-\text{kan}}, \end{aligned}$$

wo U die mittlere Energie und \bar{N} die mittlere Teilchenzahl bedeutet. Die Identifikation mit der thermodynamischen Beziehung

$$\Omega = U - TS - \mu \bar{N} \tag{9.6}$$

zeigt, dass Ω mit der grosskanonischen Zustandssumme gem\"ass (9.4) zusammenh\"angt.

Nun führen wir noch die folgenden Bedingungen zur Reduzierung von (9.2) und (9.4) durch. Wir betrachten wie in § I.6 zwei Subsysteme, wobei das System 2 diesmal sowohl ein Wärmebad als auch ein Teildienreservoir sei. Das Gesamtsystem wird durch die mikrokanonische Gesamtheit beschrieben.



$$\Lambda = \Lambda_1 \cup \Lambda_2, \quad N = N_1 + N_2$$

Wieder sei

$$H(x) = H_1(x_1(x)) + H_2(x_2(x)).$$

Es bezeichne $f_1(x_1, N_1)$ eine symmetrische Zustandsfunktion von Teildien in Λ_1 . Für ein $x \in \Gamma_{\Lambda, N}$ sei $S(x)$ die Teilmenge von $\{1, 2, \dots, N\}$, für welche die zu gehörigen Teildienkoordinaten in Λ_1 sind. Zuerst betrachten wir (die Faktoren h^{3N} lassen wir weg):

$$\int_{\{H(x) \leq E\}} f_1(x_1(x), N_1(x)) \frac{d\Gamma_{\Lambda, N}(x)}{N!} = \sum_S \int_{\substack{\{H(x) \leq E\} \\ S(x) = S}} "dito"$$

$$= \sum_S \int_{\{H_1(x_1) + H_2(x_2) \leq E\}} f_1(x_1, |S|) \frac{d\Gamma_{\Lambda_1}(x_1) d\Gamma_{\Lambda_2}(x_2)}{N!}$$

$$= \sum_{N_1} \binom{N}{N_1} \int \frac{1}{N!} f_1(x_1, N_1) d\Gamma_{\Lambda_1}(x_1) \int_{H_2(x_2) \leq E - H_1(x_1)} d\Gamma_{\Lambda_2}(x_2)$$

$$= \sum_{N_1} \int_{\Gamma_{\Lambda_1, N_1}} f_1(x_1, N_1) \Xi_{\Lambda_2}(E - H_1(x_1), N - N_1) \frac{d\Gamma_{\Lambda_1, N_1}(x_1)}{N_1!}.$$

Beim letzten Gleichheitserweis wurde bereits bemerkt, dass wir folgenden \mathbb{E} und ω immer mit dem Mass $d\Gamma/N!$ definieren seien. (Denn haben wir in der Bezeichnung $d\Gamma_{\Lambda_1}$ die Teilchenzahl unterschied.)

Der mikrokanonische Erwartungswert von f_1 bezüglich des Gesamtsystems ist deshalb

$$\begin{aligned} \langle f_1 \rangle_{E, \Lambda, N} &\stackrel{(2.3)}{=} \frac{1}{\omega_{\Lambda}(E, N)} \int_{\{H \leq E\}} f_1 \frac{d\Gamma_{\Lambda, N}}{N!} \\ &= \frac{1}{\omega_{\Lambda}(E, N)} \sum_{N_1} \int_{\Gamma_{\Lambda_1, N_1}} f_1(x_1, N_1) \omega_{\Lambda_2}(E - H_1(x_1), N - N_1) \frac{d\Gamma_{\Lambda_2, N_1}}{N_1!}. \end{aligned}$$

Dies zeigt, dass die Wahrscheinlichkeitsverteilung $d\mu_{\Lambda_1}(x_1, N_1)$, N_1 Teilchen in Λ_1 im Zustand $x_1 \in \Gamma_{\Lambda_1, N_1}$ zu finden geben ist durch

$$d\mu_{\Lambda_1}(x_1, N_1) = \frac{\omega_{\Lambda_2}(E - H_1(x_1), N - N_1)}{\omega_{\Lambda}(E, N)} \frac{d\Gamma_{\Lambda_2, N_1}(x_1)}{N_1!}. \quad (9.2)$$

Dies verallgemeinert Gl. (3.11). Speziell für

$$f_1(x_1, N_1) = \begin{cases} 1 & \text{falls } H_1(x_1) \leq E_1, \quad N_1(x) = N_1 \\ 0 & \text{sonst} \end{cases}$$

erhalten wir die Wahrscheinlichkeit

$$\begin{aligned} P(H_1(x_1) \leq E_1, \quad N_1(x) = N_1) &= \frac{1}{\omega_{\Lambda}(E, N)} \int_{\{H_1(x_1) \leq E_1\}} \omega_{\Lambda_2}(E - H_1(x_1), N - N_1) \frac{d\Gamma_{\Lambda_2, N_1}}{N_1!} \\ &= \frac{1}{\omega_{\Lambda}(E, N)} \int_{-\infty}^{E_1} \omega_{\Lambda_1}(E'_1, N_1) \omega_{\Lambda_2}(E - E'_1, N - N_1) dE'_1, \end{aligned}$$

d.h. die gemeinsame Wahrscheinlichkeitsverteilung für E_1 und N_1 ist

$$W_\Lambda(E_1, N_1) dE_1 = \frac{\omega_{\Lambda_1}(E_1, N_1) \omega_{\Lambda_2}(E - E_1, N - N_1)}{\omega_\Lambda(E, N)} dE_1. \quad (9.8)$$

Da diese normiert ist, gilt

$$\omega_\Lambda(E, N) = \sum_{N_1} \int \omega_{\Lambda_1}(E_1, N_1) \omega_{\Lambda_2}(E - E_1, N - N_1) dE_1 \quad (9.9)$$

(Faltung in E_1 und N).

Kun weiter wir $d\mu_{\Lambda_1}$ (Gl. (9.7)) approximativ aus, wenn das System 2 sehr gross ist. Ähnlich wie in Abschnitt 1.6 ist

$$\begin{aligned} \omega_{\Lambda_2}(E - H_2(x_1), N - N_1) &= \exp \left[\frac{1}{k} S_{\Lambda_2}(E - H_2(x_1), N - N_1) \right] \\ &= \omega_{\Lambda_2}(E, N) \exp \left[-\frac{1}{k} \frac{\partial S_{\Lambda_2}(E, N)}{\partial E} H_2(x_1) - \frac{1}{k} \frac{\partial S_{\Lambda_2}(E, N)}{\partial N} N_1 + \dots \right]. \end{aligned}$$

Die mitausgeschriebenen Terme sind bei normalen Schwanungen wieder von relativer Ordnung $O(N_1/N_2)$. Schliesslich benutzen wir noch

$$\frac{\partial S_{\Lambda_2}(E, N)}{\partial E} = \frac{1}{T}, \quad \frac{\partial S_{\Lambda_2}(E, N)}{\partial N} = -\frac{\mu}{T},$$

wo T die Temperatur und μ das chemische Potential des Reservoirs sind. Somit erhalten wir

$$d\mu_{\Lambda_1}(x_1, N_1) = \frac{\omega_{\Lambda_2}(E, N)}{\omega_\Lambda(E, N)} e^{-\beta H_2(x_1) + \beta \mu N_1} \frac{d\Gamma_{N_1 N_1}(x_1)}{N_1!}. \quad (9.10)$$

Dies gibt das grosskanonische W-Klass (9.2) (wenn wir die

Planck-Konstante vintudinen). Dabei ist

$$Z_{g\text{-kan}} = \frac{\omega_{\Lambda_2}(E, N)}{\omega_{\Lambda}(E, N)} . \quad (9.11)$$

Für die thermodynamische Interpretation von $Z_{g\text{-kan}}$ benutzen wir in diesem Ausdruck die Gl. (9.9) sowie die Formel $S = k \ln \omega$ für die Entropie. Der Nenner in (9.11) ist dann

$$\omega_{\Lambda}(E, N) = \sum_{N_1} \left\{ \exp \left[\frac{1}{k} S_{\Lambda_1}(E_1, N_1) + \frac{1}{k} S_{\Lambda_2}(E - E_1, N - N_1) \right] dE_1 \right\} .$$

Nun fällt $S_{\Lambda_2}(E - E_1, N - N_1)$ mit E_1 und N_1 stark ab, da das Reservoir 2 viel größer als das interessierende System 1 ist. Wir entwenden deshalb diese Größe um (E, N) . Ferner entwideln wir $S_{\Lambda_1}(E_1, N_1)$ um die stationären Werte \bar{E}_1, \bar{N}_1 des Exponenten, für die

$$\frac{\partial S_{\Lambda_1}(\bar{E}_1, \bar{N}_1)}{\partial E_1} = \frac{\partial S_{\Lambda_2}(\bar{E}_2 = E - \bar{E}_1, \bar{N}_2 = N - \bar{E}_1)}{\partial E_2} ,$$

$$\frac{\partial S_{\Lambda_1}(\bar{E}_1, \bar{N}_1)}{\partial N_1} = \frac{\partial S_{\Lambda_2}(\bar{E}_2, \bar{N}_2)}{\partial N_2} .$$

Wie in §I.7 erhalten wir — bis auf Terme, die im thermodynamischen Limit weggelassen werden können —

$$\omega_{\Lambda}(E, N) = \omega_{\Lambda_2}(E, N) \exp \left[\frac{1}{k} S_{\Lambda_1}(\bar{E}_1) - \beta \bar{E}_1 + \beta \mu \bar{N}_1 \right] .$$

Also wird aus (9.11)

$$-kT \ln Z_{g\text{-kan}} = \bar{E}_1 - TS_{\Lambda_1}(\bar{E}_1) - \mu \bar{N}_1 ,$$

was nach (9.6) die Identifikation (9.4) rechtfertigt.

Die Überlegungen und Resultate dieses Abschnitts können leicht auf chemische (eventuell mit chemischen Reaktionen) verallgemeinert werden (s. Übungen).

Schwankungen der Teilchenzahl

In der grosskanonischen Gesamtheit schwankt die Teilchenzahl um ihren mittleren Wert $\langle N \rangle$. Für das Schwankungsquadrat erhalten wir ähnlich wie in §I.7d

$$\begin{aligned}\sigma^2(N) &= \langle N^2 \rangle - \langle N \rangle^2 = \frac{1}{Z} \frac{1}{\beta^2} \frac{\partial^2 Z}{\partial \mu^2} - \left(\frac{1}{Z} \frac{1}{\beta} \frac{\partial Z}{\partial \mu} \right)^2 \\ &= \frac{1}{\beta^2} \frac{\partial}{\partial \mu} \left(\frac{1}{Z} \frac{\partial Z}{\partial \mu} \right) = \frac{1}{\beta^2} \frac{\partial^2}{\partial \mu^2} \ln Z \\ &= -kT \frac{\partial^2 \Omega}{\partial \mu^2} = kT \left(\frac{\partial \langle N \rangle}{\partial \mu} \right)_{T,V}.\end{aligned}$$

Dieses Resultat wollen wir festhalten ($\bar{N} = \langle N \rangle$):

$$\sigma^2(N) = -kT \frac{\partial^2 \Omega}{\partial \mu^2} = kT \left(\frac{\partial \bar{N}}{\partial \mu} \right)_{T,V}. \quad (9.12)$$

Auch $\sigma^2(N)$ lässt sich auf thermodynamische Größen zurückführen. Wir zeigen, dass

$$\sigma^2(N) = -kT \left(\frac{\bar{N}}{V} \right)^2 \left(\frac{\partial P}{\partial V} \right)_{T,\bar{N}}^{-1}, \quad (9.13)$$

oder anders geschrieben

$$\sigma^2(N) = \bar{N} kT \chi_T / V, \quad (9.14)$$

mit $\chi = V/\bar{N}$ und der isothermen Kompressibilität

(pro Teilchen)

$$x_T = \frac{1}{v(-\partial p/\partial v)_T} . \quad (9.15)$$

Diese Beziehung gewinnt man folgendermassen: Zuerst ist nach (9.12)

$$\sigma^2(N) = kT \left(\frac{\partial \mu}{\partial N} \right)_{T,V}^{-1} = \left(\frac{\partial^2 F}{\partial N^2} \right)^{-1} , \quad (9.16)$$

da $\mu = \frac{\partial F}{\partial N}(T, V, \bar{N})$. Nun ist $F(T, V, \bar{N})$ homogen vom 1. Grad in V und \bar{N} , also

$$\bar{N} \frac{\partial F}{\partial \bar{N}} + V \frac{\partial F}{\partial V} = F.$$

Durch Differenziation nach \bar{N} folgt daraus

$$\frac{\partial^2 F}{\partial \bar{N}^2} = - \frac{V}{\bar{N}} \frac{\partial^2 F}{\partial V \partial \bar{N}} = \frac{V}{\bar{N}} \left(\frac{\partial p}{\partial N} \right)_{T,V} .$$

Als intensive Grösse ist der thermodynamische Druck konstanter vom 0-ten Grad in V und \bar{N} :

$$\bar{N} \left(\frac{\partial p}{\partial N} \right)_{T,V} + V \left(\frac{\partial p}{\partial V} \right)_{T,\bar{N}} = 0 .$$

Es gilt also

$$\left(\frac{\partial p}{\partial N} \right)_{T,V} = - \frac{V}{\bar{N}} \left(\frac{\partial p}{\partial V} \right)_{T,\bar{N}}$$

und somit

$$\frac{\partial^2 F}{\partial \bar{N}^2} = - \left(\frac{V}{\bar{N}} \right)^2 \left(\frac{\partial p}{\partial V} \right)_{T,\bar{N}} . \quad (9.17)$$

Selben wie dies in (9.16) ein, so folgt die Behauptung (9.13). Speziell für ein ideales Gas ist (s. Übungen)

$$p = \frac{\bar{N}}{V} kT \quad (9.18)$$

und folglich nach (9.13)

$$\sigma^2(N) = \bar{N}. \quad (9.19)$$

Hier liegen sog. normale Schwankungen vor:

$$\frac{\sigma^2(N)}{N^2} = O\left(\frac{1}{N}\right). \quad (9.20)$$

Die Gleichung (9.14) ist ein Beispiel für das sog. Fluktuations-Dissipations-Theorem.

Bei einem kritischen Punkt verschwindet $\partial p / \partial v$ (siehe TD), weshalb die Druckschwankungen sehr gross werden. Dies äusserst sich z.B. im Phänomen der kritischen Opaleszenz bei der Lichtstreuung (siehe mein ED-Skript).

I.10 Äquivalenz der verschiedenen Gesamtheiten im thermod. Limes

Nach (9.14) sind im grosskanonischen Zustand die relativen Schwankungen

$$\left(\frac{\sigma(N)}{N}\right)^2 = -\frac{kT}{V} \chi_T. \quad (10.1)$$

Solange wir nicht in der Nähe eines kritischen Punktes sind verschwindet $\sigma(N)/\bar{N}$ im thermodynamischen Limes wie $V^{-1/2}$. Diese relativen Schwankungen gehen auch am kritischen Punkt gegen Null, solange sich χ_T wie V^δ mit $0 < \delta < 1$ verhält. Das erwartet man aufgrund verschiedener kritischer Skalierungsmäntle, auf die wir

an dieser Stelle nicht eingehen können. Deshalb erwarten wir, dass die grosskanonische und die kanonische Gesamtheit im thermodynamischen Limes äquivalent werden. In §II.7 wird dies noch weiter ausgeführt werden.

Ähnliche Argumente kann man auch für die Energieschwankungen in der kanonischen Gesamtheit vorbringen.

Nach Gl. (7.6) gilt

$$\frac{\sigma(H)}{\langle H \rangle} = \frac{1}{\langle H \rangle} (kT^2 C_V)^{1/2}. \quad (10.2)$$

Da sowohl C_V als auch $\langle H \rangle$ extensive Größen sind, verschwindet auch $\sigma(H)/\langle H \rangle$ im thermodynamischen Limes, außer eventuell an der Stelle eines Phasenübergangs, wo die spezifische Wärme pro Teilchen divergiert kann.

Wiederum erwartet man aber auf der Basis von kentistischen Beobachtungen, dass diese Divergenz das Verschwinden der relativen Schwankungen nicht verhindert. Dann ist die kanonische Gesamtheit äquivalent zur mikrokanonischen. (Literaturhinweise zu diesem Thema geben wir in §II.7.)



I.11 Zusammenfassung von Kapitel I

Zum Schluss dieses grundlegenden Kapitels wollen wir nochmals das wichtigste festhalten.

1. Mechanische Beschreibung eines abgeschlossenen Systems

a) Kinematik. Die Grundbegriffe sind: Zustände, Observable, Erwartungswerte einer Observablen in einem Zustand. Die reellen Zustände sind die Punkte des Phasenraumes. Dies ist eine symplektische Mannigfaltigkeit Γ mit symplektischer Struktur J , zu welcher ein natürlicher Fluss, das Liouville-Mass $d\Gamma$ gehört. Die Observablen sind $C^\#$ -Funktionen auf Γ ($\#= \infty, \dots$). Ein allgemeiner Zustand (Gemisch) ist ein W-Mass der Form $\rho d\Gamma$, mit $\int \rho d\Gamma = 1$. Der Erwartungswert einer Observablen f im Zustand ρ ist

$$\langle f \rangle = \int_{\Gamma} f \rho d\Gamma \quad (11.1)$$

(ρ kann auch diskretiv sein).

b) Dynamik. Die Dynamik eines abgeschlossenen Systems wird durch eine Hamiltonfunktion $H \in C^\#(\Gamma)$ beschrieben. Zu H gehört das Hamiltonsche Vektorfeld

$$X_H = J \nabla H , \quad (11.2)$$

welches das dynamische System bestimmt; den zugehörigen Fluss bezeichnen wir mit ϕ_t . Die Zeitabhängigkeit des Zustandes ρ ist gegeben durch

$$\rho_t = \rho_0 \phi_t . \quad (11.3)$$

Differentiell bedeutet dies

$$\frac{\partial}{\partial t} \rho_t = \{H, \rho_t\} = \{H, \rho\} \circ \phi_t \quad (\text{Liouville-Gl.}) \quad (11.4)$$

Die Zeitabhängigkeit der Erwartungswerte können wir auf zwei Arten darstellen (Schrodinger- und Heisenbergbild):

$$\langle f \rangle_t = \int_{\Gamma} f \rho_t d\Gamma = \int f_t \rho d\Gamma \quad , \quad (11.5)$$

und

$$f_t = f \circ \phi_t \Rightarrow \frac{\partial}{\partial t} f_t = \{f_t, H\} = \{f, H\} \circ \phi_t \quad (11.6)$$

In (11.5) wurde bemerkt, dass das Liouville-Mass invariant unter ϕ_t ist.

Ein abgeschlossenes System bleibt für alle Zeiten auf der Energiefäche Γ_E ($E = \text{Energie}$). Das durch $d\Gamma$ auf Γ_E induzierte Massenanteil

$$d\Gamma_E = \delta(H - E) d\Gamma \quad (11.6)$$

2. Statistische Beschreibung von makroskopischen Systemen

A. Abgeschlossene Systeme

a) Gleichgewichtszustände. Als (unbewusste) Grundannahme haben wir postuliert, dass für ein makroskopisches System im Gleichgewicht die zeitlichen Mittelwerte von makroskopischen Observatoren (Energie, etc.) gleich den statistischen Mittelwerten des (super-) mikroskopischen W-Massen

$$d\mu_E = \frac{1}{\omega(E)} d\Gamma_E , \quad \omega(E) = \int_{\Gamma} \delta(H-E) d\Gamma \quad (11.7)$$

sind. Für den Normierungsfaktor $\omega(E)$ haben wir auch

$$\omega(E) = \frac{\partial \Xi(E)}{\partial E} , \quad \Xi(E) = \int_{\{H \leq E\}} d\Gamma : \text{ Phasenvol. von } \{H \leq E\} . \quad (11.8)$$

Anstelle des superunbekannten Masses kann man für makroskopische Systeme (und Observablen) auch das unkrautlose Mass

$$d\mu_{\text{unkan}} = \frac{1}{\Xi^{\Delta}(E)} \delta^{\Delta}(H-E) d\Gamma \quad (11.9)$$

verwenden (s. S. 13), für welches die Dichte in der Energieschale $\{E-\Delta \leq H \leq E\}$ konstant ist und außerhalb davon verschwindet;

$$\Xi^{\Delta}(E) = \int_{\{E-\Delta \leq H \leq E\}} d\Gamma . \quad (11.10)$$

B) Beziehung zw TD

H hängt von gewissen unseren Parametern a (Volumen, etc.) ab. Die Thermodynamik ist vollständig bestimmt durch den folgenden Ausdruck für die Entropie:

$$S(E, a) = k \ln \Xi^*(E, a) , \quad (11.11)$$

mit ($f = \text{Zahl der Freiheitsgrade}$)

$$\Xi^*(E, a) = \frac{1}{h^f} \Xi(E, a) \times \text{Symmetriefaktor} , \quad (11.12)$$

$$\text{Symmetriefaktor} = \begin{cases} \frac{1}{N!} & \text{für } N \text{ identische Teilchen} \\ 1 & \text{sonst} . \end{cases} \quad (11.13)$$

Im Ausdruck für die Entropie dürfen wir für grosse Systeme $\Phi(E, a)$ auch durch $\Phi^\Delta(E, a)$ oder $w(E, a)$ ersetzen (s. Thmgsseit).

Die Differentialform der (zugeführten) reversiblen Arbeit ist

$$dA' = \sum \left\langle \frac{\partial H}{\partial a} \right\rangle_{m-kon} da \quad (11.14)$$

und die Differentialform der reversibel zugeführten Wärme ist

$$dQ' = \frac{1}{c_0(E, a)} d\Phi . \quad (11.15)$$

Aus bekannten thermodynamischen Beziehungen erhält man insbesondere

$$\beta := \frac{1}{kT} = \frac{\partial \ln \Phi'(E, a)}{\partial E} , \quad (11.16)$$

$$p = T \frac{\partial S(E, V, \dots)}{\partial V} = - \left\langle \frac{\partial H}{\partial V} \right\rangle_{m-kon} , \quad (11.17)$$

Equipartitionstheorem:

$$\left\langle x_i \frac{\partial H}{\partial x_j} \right\rangle = kT \delta_{ij} . \quad (11.18)$$

Kann erinnere sich ferner an das Gibbs'sche Variationsprinzip (§I.4).

B. Systeme in thermischem Kontakt mit einem Wannebad

Gleichgewichtszustände.

Der Gleichgewichtszustand eines Systems in thermischen Kontakt mit einem Wannebad der Temperatur T ist das kanonische

W-Kass:

$$d\mu_{\text{kan}} = Z_{\text{kan}}^{-1} e^{-\beta H} d\Gamma^*, \quad (11.19)$$

$$Z_{\text{kan}}(\beta, V, N) = \int_{\Gamma_{N,V}} e^{-\beta H} d\Gamma^* \quad (11.20)$$

($d\Gamma^* = d\Gamma / h^{3N} N!$ für identische Teilchen). Die kanonische Zustandssumme bestimmt die freie Helmholtzsche Energie gemäß

$$F(T, V, N) = -kT \ln Z_{\text{kan}}(T, V, N) \quad (11.21)$$

und damit die gesamte Thermodynamik. Wie haben wir diese Gesamtheit begründet (s. § I.6)? Sie ist auch durch die Faktorisierungseigenschaft sinnvoll gekoppelter Systeme ausgedrückt (§ I.8).

Thermodynamische Beziehungen

Neben der Fundamentalgleichung (11.21) sind besonders die folgenden Relationen wichtig:

$$\text{innere Energie: } U = \langle H \rangle = - \frac{\partial}{\partial \beta} \ln Z, \quad (11.22)$$

$$\text{Entropie: } S = -k \int p d\mu_p d\Gamma^*, \quad p = Z^{-1} e^{-\beta H}. \quad (11.23)$$

Schwankungen der Energie:

$$\sigma^2(H) = \frac{\partial^2}{\partial \beta^2} \ln Z = - \frac{\partial U}{\partial \beta} = - \frac{\partial^2}{\partial \beta^2} (\beta F) = k T^2 C_V. \quad (11.24)$$

Auch in der kanonischen Gesamtheit gilt der Gleichverteilungssatz (11.18).

Gibbs'sches Variationsprinzip: Der kanonische Zustand maximiert die Entropie

$$S(P) = -k \int g \ln g d\Gamma^* \quad (11.25)$$

bei gegebenem Mittelwert $\langle H \rangle$ der Energie.

C. Systeme in thermischem und materiellem Kontakt mit einem Reservoir

Dafür ist der Phasenraum die abgekürzte Vereinigung der N -Teilchen Phasenräume $\Gamma_{\lambda,N}$:

$$\Gamma_{\lambda}^{g\text{-kan}} = \bigcup_{N=0}^{\infty} \Gamma_{\lambda,N}. \quad (11.26)$$

Die Gleichgewichtszustände sind die W -Kasse

$$d\mu_{g\text{-kan}}(\beta, \lambda, \mu) = Z_{g\text{-kan}}^{-1} \sum_{N=0}^{\infty} e^{\beta(H_N - \mu N)} d\Gamma_{\lambda,N}^*, \quad (11.27)$$

μ = chemisches Potential.

Die grosskanonische Zustandssumme bestimmt das grosskan. Potential der TD gemäss

$$\Omega(\beta, V, \mu) = -kT \ln Z_{g\text{-kan}}(\beta, V, \mu). \quad (11.28)$$

Auch hier gilt das Gibbs'sche Variationsprinzip, wobei nun neben dem Erwartungswert der Energie noch der Erwartungswert der Teilchenzahl vorgegeben werden muss.

Besonders wichtig sind die Schwankungen der Teilchenzahl. Dafür gilt

$$\begin{aligned}
 \sigma^2(N) &= -kT \frac{\partial^2 \Omega}{\partial \mu^2} \\
 &= kT \left(\frac{\partial \bar{N}}{\partial \mu} \right)_{T,V} \quad (11.29) \\
 &= -kT \left(\frac{\bar{N}}{V} \right)^2 \left(\frac{\partial p}{\partial V} \right)_{T,N} \\
 &= \bar{N} kT z_T / v \quad ; \quad v = V/\bar{N}, \quad z_T = [v \left(\frac{\partial p}{\partial v} \right)]^{-1}.
 \end{aligned}$$

Im thermodynamischen Limes werden die Beschreibungen A, B und C äquivalent (Äquivalenz der Gesamtheiten). Worauf beruht dies (§. 1.10)?

*

*

*

II. Statistisch mechanische Modelle, thermodynamischer Limit

Wie in jeder physikalischen Theorie, spielt auch in der SM das Studium von speziellen Modellen eine wesentliche Rolle. Es dadurch gewinnt man Einblick in die Kraft und Tragweite der Grundgesetze. Gleichzeitig erhalten wir dadurch den Anschluss an die Erfahrung, da geosse Modelle wesentliche Züge von tatsächlichem physikalischen Systemen wiedergiegen.

1. Modelle für klassische Fluide und Gittersysteme

In diesem Abschnitt führen wir einige wichtige Modellsysteme ein, welche wir im folgenden näher untersuchen werden.

A. Klassische Fluide

Darunter verstehen wir N -Teildiensysteme mit Phasenraum $\Gamma_{\lambda,N}$ (siehe § I.1) und Hamiltonfunktionen der Form

$$H = \sum_{j=1}^N \frac{1}{2m} p_j^2 + \sum_{i < j} \phi(x_i - x_j), \quad (1.1)$$

wo ϕ ein 2-Körperpotential ist. Grundsätzlich müssen wir die kanonische Zustandssumme

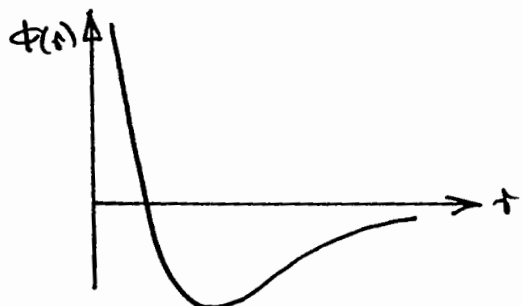
$$Z_\lambda(\beta, N) = \int_{\Gamma_{\lambda,N}} e^{-\beta H} \frac{d\Gamma}{h^{3N} N!} \quad (1.2)$$

berechnen. Die Impulsintegration ist trivial:

$$Z_\lambda(\beta, N) = \frac{1}{\lambda^{3N} N!} \int_{\Gamma_N} e^{-\beta \sum_{i < j} \phi(x_i - x_j)} \prod_{i=1}^N d^3x_i, \quad (1.3)$$

mit $\lambda = \frac{h}{\sqrt{2\pi mkT}}$: kriometrische Wellenlänge . (1.4)

Ein zentral-symmetrisches Potential $\phi(r)$ wird typisch folgende Form haben:

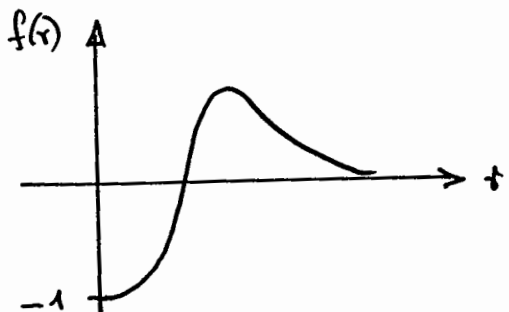


Das hochdimensionale Integral (1.3) können wir i.a. nicht ausführen. Analytisch ist uns der Bereich verdimmter Gase zugänglich. Dies wird im Anhang K systematisch ausgeführt. An dieser Stelle besprechen wir lediglich den Aufang der sog. Virialentwicklung.

Es sei

$$f(r) := e^{-\beta \phi(r)} - 1, \quad f_{ij} := f(|x_i - x_j|). \quad (1.5)$$

Für ein Potential φ der obigen Form sieht f(r) qualitativ so aus:



Nun schreiben wir (1.3) in folgender Form

$$Z_N(\beta, N) = \frac{1}{N!} Q_N(\beta, N), \quad (1.6)$$

60

$$Q_\lambda(\beta, N) = \int_{\Lambda^N} \prod_{i < j} (1 + f_{ij}) d^3x . \quad (1.7)$$

$$1 + \sum_{i < j} f_{ij} + \sum_{\substack{i < j, k < l \\ (i,j) \neq (k,l)}} f_{ij} f_{kl} + \dots$$

Die führenden Potenzen in λ sind $f_{12} f_{13} + f_{12} f_{23} + f_{13} f_{23} + \dots$

$V = |\Lambda|$ werden durch die ersten beiden Anteile bestimmt:

$$\begin{aligned} Q_\lambda(\beta, N) &= V^N + V^{N-2} \sum_{i < j} \int f_{ij} dx_i dx_j + O(V^{N-2}) \\ &= V^N \left[1 + \frac{N(N-1)}{2V} \int_{\Lambda} f(1 \leq i) d^3x \right] + O(V^{N-2}) . \end{aligned}$$

Wir haben also

$$Z_\lambda(\beta, N) = e^{-\beta F_\lambda(\beta, N)} = \frac{V^N}{\lambda^{3N} N!} \left[1 + \frac{1}{2} \frac{N(N-1)}{V} \int_0^\infty 4\pi r^2 f(r) dr + O\left(\frac{1}{V^2}\right) \right]. \quad (1.8)$$

Im thermodynamischen Limes ergibt sich daraus für die freie Energie

$$\frac{F}{N} - \frac{F_{\text{ideal}}}{N} \rightarrow -\frac{\hbar k T}{2} \int_0^\infty (\bar{e}^{\beta \Phi(r)} - 1) 4\pi r^2 dr + \dots \quad (1.9)$$

($n = \text{Teilkondensat}$). Für die Zustandsgleichung erhalten wir daraus

$$P = P_{\text{ideal}} - \frac{1}{2} k T n^2 \int_0^\infty \text{"dile"} + \dots ,$$

d.h.

$$P = n k T [1 + n \beta(T) + n^2 C(T) + \dots] , \quad (1.10)$$

mit dem Virialkoeffizienten

$$B(T) = -\frac{1}{2} \int_0^\infty (e^{-\beta E(\epsilon)} - 1) \epsilon n^2 d\epsilon. \quad (1.11)$$

B. Klassische Gittersteme

a) Spinsysteme

Ein typisches Modell eines Magneten besteht aus einer Menge von "Spins" $\{\vec{s}\}$, welche die Vertices eines Gitters \mathbb{Z}^d besetzen. (Wir wählen hier immer kubische Gitter.) Zudem den Spin besteht eine gewisse Wechselwirkungsenergie $H(\{\vec{s}\})$.

Elles mathematisch ausgedrückt, haben wir die folgende Situation: Eine (Spin-) Konfiguration einer Teilmenge $\Lambda \subset \mathbb{Z}^d$ ist eine Abbildung von Λ in den Raum E eines Einzelspins:

$$s_\Lambda: \Lambda \longrightarrow E, E = S^n, \mathbb{R}^n, \dots. \quad (1.12)$$

Der Konfigurationsraum zu $\Lambda \subset \mathbb{Z}^d$ ist also gleich E^Λ . Auf E denken wir uns ein "a priori" klass. def. gegeben^{*)} (z.B. das Oberflächenmass für $E = S^n$). Die Hamiltonfunktion H_Λ ist eine Funktion auf dem Konfigurationsraum. Beispiel:

^{*)} E hat eine natürliche σ -Algebra Σ , welche von E^Λ erbt wird (Produkt- σ -Algebra).

$$H_\Lambda(S_\Lambda) = - \sum_{(i,j) \in \Lambda} J_{ij} \vec{S}_i \cdot \vec{S}_j - \sum_{i \in \Lambda} h_i \cdot \vec{S}_i . \quad (1.13)$$

Dabei sei Λ eine endliche Teilmenge. (Unter \vec{S}_i verstehen wir natürlich $S_\Lambda(i)$, d.h. den "Spin" an der Stelle $i \in \mathbb{Z}^d$ der Spinkonfiguration S_Λ .)

Die Zustandssumme für das endliche Gebiet Λ ist

$$Z_\Lambda(\beta) = \int_{E^\Lambda} e^{-\beta H_\Lambda(S_\Lambda)} \prod_{i \in \Lambda} d\rho(\vec{S}_i) \quad (1.14)$$

und der klassische Erwartungswert einer Observable A aus Λ (z.B. die Spinsumme) ist

$$\langle A \rangle_{\beta, \Lambda} = Z_\Lambda(\beta)^{-1} \int_{E^\Lambda} A(S_\Lambda) e^{-\beta H_\Lambda(S_\Lambda)} \prod_{i \in \Lambda} d\rho(\vec{S}_i) . \quad (1.15)$$

Wir interessieren uns natürlich vor allem für den Limes $\Lambda \nearrow \mathbb{Z}^d$, in welchem die Systeme oft Phasenübergänge zeigen.

Besonders wichtig sind die Ising-Modelle, für welche $E = S^1$ ist. Die Spins sind dann Vektoren $s_i = \pm 1$. Meistens beschränkt man sich auf Wechselwirkungen von nächsten Nachbarn (Bezeichnung: $\langle i, j \rangle$):

$$H_\Lambda(S_\Lambda) = - \sum_{\langle i, j \rangle \subset \Lambda} J_{ij} s_i s_j - \sum_i h_i s_i . \quad (1.16)$$

Für $d=1$ ist dieses Modell einfach zu lösen (s. Abschnitt 2). In zwei Dimensionen ist dies gerade noch möglich (s. §II.5).

und Anhang D). Die Existenz von Phasenübergängen für $d \geq 3$ werden wir in den Abschnitten II.8, 10 beweisen.

Wir beobachten an dieser Stelle noch den kristalinen Fall

$$J_{ij} = 0 :$$

$$H_\Lambda = - \sum_{i \in \Lambda} h_i \sigma_i ,$$

$$Z_\Lambda(\beta) = e^{-\beta F_\Lambda(\beta)} = \prod_{i \in \Lambda} \int e^{\beta h_i \sigma_i} d\rho(\sigma_i) .$$

Für Ising-Systeme erhalten wir $\rho(\{1\}) = \rho(\{-1\}) = 1$.
Dann

$$-\beta F_\Lambda = \sum_{i \in \Lambda} \ln (e^{-\beta h_i} + e^{\beta h_i}) .$$

Für ein homogenes Magnetfeld, $h_i = h$ für alle i ,
haben wir also

$$-\beta F_\Lambda(\beta) / N(\Lambda) = \ln [2 \cosh(\beta h)] \quad (1.12)$$

($N(\Lambda)$ = Zahl der Gitterpunkte in Λ).

b) Gitter-Eichmodelle

be aware, discretize! (Harc Kac)

In der heutigen Elementarteilchenphysik spielt die Diskretisierung von Eichfeldtheorien, insbesondere der Quantenchromodynamik, eine wichtige Rolle. Es ist dies nämlich die einzige bekannte Methode für die Regularisierung der Theorie, welche die Erhaltungssätze nicht zerstört und nicht auf der Lösungstheorie füsst. Wir formulieren hier diese Gitterversion ohne nähere Motivierung. (Für letztere Verweise vgl. z.B. auf: M. Gell-Mann, "Quarks, gluons and lattices", Cambridge Univ. Press, 1983.)

In diesen Modellen ist der Konfigurationsraum Ω_Λ zu $\Lambda \subset \mathbb{Z}^d$ gleich G^Λ , wo G eine kompakte Gruppe ist und Λ_1 die Menge der positiv orientierten Verbindungslienien (bonds) & zwischen benachbarten Gitterpunkten beschriftet (s. Fig.).

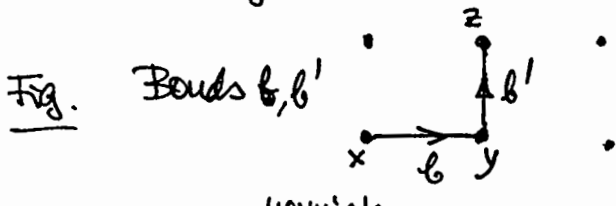


Fig. Bonds b, b'

Es sei μ_0 der Haarische Mass auf G und μ_0^Λ das Produktmass auf Ω_Λ . (N.B. $\mu_0^{\mathbb{Z}^d}$ ist wohldefiniert!). Für eine Observable, d.h. eine Funktion $F: \Omega_\Lambda \rightarrow \mathbb{R}$, bezeichnen wir den Erwartungswert bezüglich μ_0^Λ mit $\langle F \rangle_{0,\Lambda}$. Die Wirkung wird eine Funktion $S_\Lambda: \Omega_\Lambda \rightarrow \mathbb{C}$ sein. Der Erwartungswert der wedelselwirkenden Theorie hat die Form

$$\langle A \rangle_\Lambda = Z_\Lambda^{-1} \langle A e^{S_\Lambda} \rangle_{0,\Lambda}, \quad (11.18)$$

mit der Zustandssumme

$$Z_\Lambda = \langle e^{S_\Lambda} \rangle_{0,\Lambda}. \quad (11.19)$$

Nun geben wir die genaue Form der Wirkung an. Für eine Konfiguration $w \in \Omega_\Lambda$ (d.h. eine Abbildung $w: \Lambda_1 \rightarrow G$) sei $g_b(w) = w(b)$ (g_b sind also die Projektionsabbildungen). Für die umgekehrte Orientierung $-b$ von b definieren wir $g_{-b} = g_b'$. Die Yang-Tills-Wirkung hat die Form

$$S_\Lambda = \sum_{P \in \Lambda_2} S_P, \quad (11.20)$$

wobei S_P die folgende Größe ist, die einer "Plaquette" P , d.h. einer geschlossenen Kurve bestehend aus 4 Bönden (Fig.),

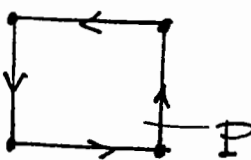


Fig. Plaquette P , Rand ∂P .

zugeordnet ist

$$S_P = \text{const } \operatorname{Re} X(g_{\partial P}). \quad (11.21)$$

Hier ist X ein Charakter der Gruppe G und $g_{\partial P}$ bezeichnet das Produkt

$$g_{\partial P} = \prod_{b \in \partial P} g_b \quad (11.22)$$

der vier Gruppenelemente, die zum Rand ∂P einer Plaquette gehören. S_P ist, wie man leicht sieht, unabhängig von der Orientierung von P . Besonders wichtig ist die folgende Erhaltungseigenschaft: Die Yang-Mills-Wirkung ist invariant unter den Substitutionen

$$g_{x,y} \rightarrow \gamma_x g_{x,y} \gamma_y^{-1}, \quad (11.23)$$

wobei $x \mapsto \gamma_x \in G$ eine beliebige gruppendichte Funktion auf dem Gitter ist. Dies ergibt sich aus der Tatsache, dass X eine Klassenfunktion ist.

Die Eigenschaften dieser Modelle sind u.a. mit numerischen

Kettmoden (Monte Carlo Simulationen) sehr eingehend untersucht werden.

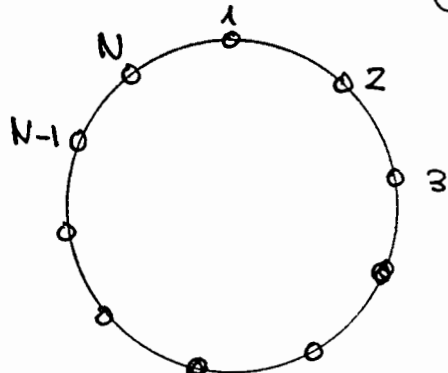
Für $\Sigma = \text{SU}(n)$ wird (11.21) weiterhin so gewählt:

$$S_{\pm} = \frac{2n}{g^2} \left[1 - \frac{1}{n} \operatorname{Re} \operatorname{Sp}(g_{\alpha\beta}) \right]. \quad (11.24)$$

2. Lösung des 1-dim. Isingmodells, Transfermatrix

Das 1-dim. Isingmodell lässt sich sehr einfach auf verschiedene Weisen lösen. Wegen ihrer allgemeinen Bedeutung bemerken wir hier die Methode der Transfermatrix.

Wir denken uns die N Spins auf einem Kreis angeordnet:



Die Energie einer Konfiguration $\{\sigma_1, \sigma_2, \dots, \sigma_N\}$ ist

$$H_N = -J \sum_{k=1}^N \sigma_k \sigma_{k+1} - h \sum_{k=1}^N \sigma_k, \quad (\sigma_{N+1} = \sigma_1). \quad (2.1)$$

Die Zustandssumme ist

$$Z_N(\beta, h) = \sum_{\{\sigma\}} \exp \left[\beta \sum_{k=1}^N (J \sigma_k \sigma_{k+1} + h \sigma_k) \right]. \quad (2.2)$$

Wir versuchen, diese als $\operatorname{Sp} T^N$ einer 2×2 -Matrix T darzu-

stellen. Wir sehen ($\sigma, \sigma' = \pm 1$)

$$\langle \sigma_1 T \sigma'_1 \rangle = e^{\beta [J \sigma \sigma' + \frac{1}{2} h(\sigma + \sigma')]} \quad (2.3)$$

Diese Matrix ist reell und symmetrisch. Offensichtlich ist

$$Z_N(\beta, h) = \sum_{\sigma_1} \sum_{\sigma_2} \dots \sum_{\sigma_N} \langle \sigma_1 T \sigma_2 \rangle \langle \sigma_2 T \sigma_3 \rangle \dots \langle \sigma_N T \sigma_1 \rangle \\ = \text{Sp } T^N. \quad (2.4)$$

Die Eigenwerte der Transfermatrix

$$T = \begin{pmatrix} e^{\beta(J+h)} & e^{-\beta J} \\ e^{-\beta J} & e^{\beta(J-h)} \end{pmatrix} \quad (2.5)$$

lassen sich leicht bestimmen. Man findet dafür

$$\lambda_{\pm} = e^{\beta J} [\cosh(\beta h) \pm \sqrt{\sinh^2(\beta h) + e^{-4\beta J}}]. \quad (2.6)$$

Damit haben wir

$$\frac{1}{N} \ln Z_N = \frac{1}{N} \ln [\lambda_+^N + \lambda_-^N] = \ln \lambda_+ + \frac{1}{N} \ln \left[1 + \left(\frac{\lambda_-}{\lambda_+} \right)^N \right] \\ \xrightarrow{(N \rightarrow \infty)} \ln \lambda_+. \quad (2.7)$$

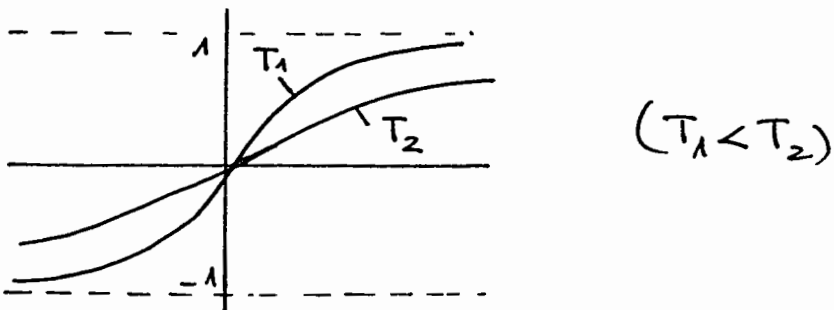
Die freie Energie pro Spin, $- \frac{1}{\beta} \frac{1}{N} \ln Z$, konvergiert also im thermodynamischen Limes gegen

$$f = -\frac{1}{\beta} \ln \lambda_+ = -J - \frac{1}{\beta} \ln [\cosh(\beta h) + \sqrt{\sinh^2(\beta h) + e^{-4\beta J}}]. \quad (2.8)$$

Die Magnetisierung pro Spin ist

$$u(\beta, h) = -\frac{\partial f}{\partial h} = \frac{\sinh(\beta h)}{\sqrt{\sinh^2(\beta h) + e^{-4\beta J}}}. \quad (2.9)$$

Dieses Ergebnis ist in der folgenden Figur skizziert:



Man beachte, dass $u(\beta, h=0) = 0$ ist, d.h. es gibt keine spontane Magnetisierung.

In den Übungen werden wir das eindimensionale Ising-Modell noch weiter untersuchen. Die Methode der Transfermatrix spielt eine sehr wichtige Rolle (siehe dazu die Lösung des 2-dim. Ising-Modells in II.5 und Anhang F). Dabei spielt der folgende Sachverhalt aus der linearen Algebra eine wichtige Rolle:

Satz (Perron-Frobenius). Jede strikte positive Matrix $T = (T_{ij})$ (alle $T_{ij} > 0$) hat einen ausgezehrten Eigenwert $\lambda_0 > 0$ mit den Eigenschaften:

(i) $|\lambda| < \lambda_0$ für alle Eigenwerte $\lambda \neq \lambda_0$ von T .

(ii) Es gibt einen Eigenvektor ψ_0 zum Eigenwert λ_0 , dessen Komponenten alle strikt positiv sind.

(iii) λ_0 ist einfach.

(iv) λ_0 hängt holomorph von den Matrixelementen von T ab.

Beweis: Anhang E.

3. Das Curie-Weiss-Modell

Wir diskutieren nun ein exakt lösbares Modell, welches zu einem Phasenübergang führt. Dieses ist zwar etwas künstlich, erlaubt es uns aber, gewisse allgemeine Gesichtspunkte zu illustrieren.

Das Curie-Weiss-Modell ist ein Langrundweiteres Ising-Modell, bei dem jeder der Ising-Spins σ_i ($\sigma_i = \pm 1$) mit jedem anderen mit der Austauschenergie $-J/N$ ($N = \text{Zahl der Spins}$) wechselwirkt. Die Skalierung der Austauschenergie mit $1/N$ ist nötig, damit das Modell einen thermodynamischen Limes hat. Die Hamiltonfunktion ist also (Σ : Spinkonfig.):

$$H_N(\Sigma) = -\frac{J}{2N} \sum_{i,j=1}^N \sigma_i \sigma_j - h \sum_{i=1}^N \sigma_i. \quad (3.1)$$

(Die Terme mit $i=j$ geben lediglich den konstanten Beitrag $-J/2$.) Entsprechend der die Zustandssumme

$$Z_N(\beta, h) = \sum_{\Sigma} e^{\beta H_N(\Sigma)} = \sum_{\Sigma} \exp \left[\frac{\beta}{2} \frac{J}{N} \sum_{i,j=1}^N \sigma_i \sigma_j + \beta h \sum_{i=1}^N \sigma_i \right]. \quad (3.2)$$

Nun stellen wir den ersten Exponenten rechts durch ein Integral über ein Hilfsfeld dar. (Diese Technik wird uns auch später noch gute Dienste leisten.) Wir bemerken dabei die Gaußsche Identität

$$\exp \left[\frac{\beta J}{2N} \left(\sum_i \sigma_i \right)^2 \right] = \int_{\mathbb{R}} \frac{d\mu}{\sqrt{2\pi/N\beta J}} e^{-\frac{N\beta J}{2} \mu^2 + \beta J \mu \sum \sigma_i}. \quad (3.3)$$

Dann werden die Spins entkoppelt:

$$Z_N(\beta, h) = \int_{-\infty}^{+\infty} \frac{d\mu}{\sqrt{2\pi/N\beta J}} e^{-\frac{N\beta J}{2}\mu^2} \sum_{\Sigma} e^{\beta(J\mu+h)} \sum_i \underbrace{e^{\beta(J\mu+h)} + e^{-\beta(J\mu+h)}}_{\prod_{i=1}^N (e^{\beta(J\mu+h)} + e^{-\beta(J\mu+h)})}$$

Wir haben also

$$\begin{aligned} Z_N(\beta, h) &= \int_{-\infty}^{+\infty} \frac{d\mu}{\sqrt{2\pi/N\beta J}} \exp \left[-\frac{N\beta J}{2}\mu^2 + N \ln \text{zch}[\beta(h+J\mu\Sigma)] \right] \\ &= \int_{-\infty}^{+\infty} \frac{d\mu}{\sqrt{2\pi/N\beta J}} e^{-\beta N \mathcal{L}(\mu, h)} \end{aligned}, \quad (3.4)$$

mit der 'Landau-Funktion'

$$\mathcal{L}(\mu, h) = \frac{J}{2}\mu^2 - \frac{1}{\beta} \ln \text{zch}[\beta(h+J\mu)]. \quad (3.5)$$

Da der Exponent in (3.4) proportional zu N ist, wird im thermodynamischen Limes die Methode der stationären Phase (Laplace-Methode, s. Übungseinheit 2) exakt. Die freie Energie $f(\beta, h)$ pro Spin ist in diesem Limes folglich

$$f(\beta, h) = \min_{\mu} \mathcal{L}(\mu, h). \quad (3.6)$$

Die stationären Werte $\mu_0(h)$ von (3.5) werden durch die Gleichung

$$\mu_0 = \text{dh} \beta(h+J\mu_0) \quad (3.7)$$

bestimmt. [Diese wird uns in der Moleküldrauffeld-Näherung

(Abschnitt 4) wieder begegnen.]. Die Magnetisierung pro Spin

∇f

$$\begin{aligned} u(\beta, h) &= - \frac{\partial}{\partial h} \underbrace{f(\beta, h)}_{\mathcal{L}(\mu_0(h), h)} = - \left. \frac{\partial \mathcal{L}}{\partial h} (\mu, h) \right|_{\mu=\mu_0} \\ &= \left. h \beta (h + \delta \mu) \right|_{\mu=\mu_0} = \mu_0. \end{aligned}$$

Also ist $u(\beta, h)$ eine Lösung von (3.7) und zwar die einzige, für die $\mathcal{L}(\mu, h, \beta)$ – bei gegebenen (h, β) – minimiert wird.

Diese wollen wir nun genauer diskutieren. Wir betrachten zunächst den Fall $h \downarrow 0$. Dann erfüllt μ_0 die Gleichung

$$h_0(\beta \mu) = \mu. \quad (3.8)$$

Je nachdem ob $\beta J < 1$ oder $\beta J > 1$ ist, gibt es qualitativ verschiedene Lösungen von (3.8). Für $\beta J < 1$ (d.h. $kT > J$) gibt es, wie die folgende Figur zeigt, nur die Lösung $\mu = 0$; $f(\beta, h=0) = -kT \ln 2$.

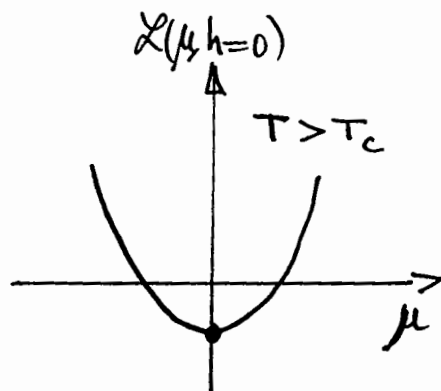
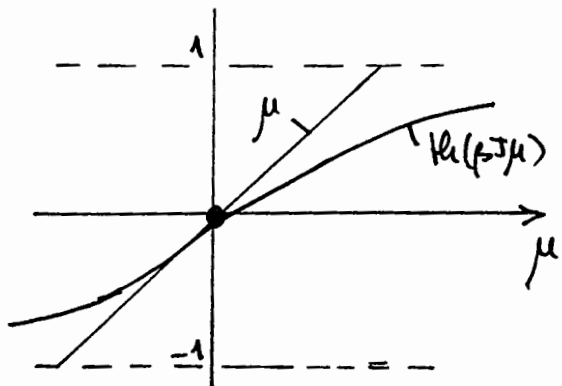


Fig. $\beta J < 1$. Nur $\mu = 0$ ist eine Lösung von (3.8).

Die Suszeptibilität erhält man durch Differenziation von (3.7) nach h an der Stelle $h=0$:

$$\chi = \frac{\beta(1-\mu^2)}{1-\beta J(1-\mu^2)} \Big|_{h=0}. \quad (3.9)$$

In der paramagnetischen Phase $kT > J$ ($\mu=0$) ist also

$$\chi^{\text{para}} = \beta(1 - J/T)^{-1} \quad (3.10)$$

und diese Suszeptibilität divergiert für $T_c = J$ (kritischer Punkt).

Ganz anders sind die Verhältnisse für $\beta J > 1$ ($T < T_c$). Dann hat die Gl. (3.8) drei Lösungen, wie die nächste Figur zeigt. Aber nur die beiden Lösungen $\pm\mu_0 \neq 0$ entsprechen Minima von $\mathcal{L}(\mu, 0)$. Sie entsprechen den beiden magneti-

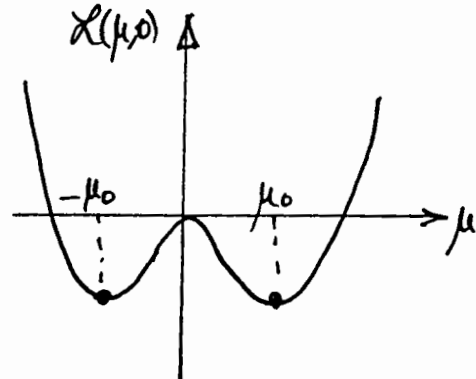
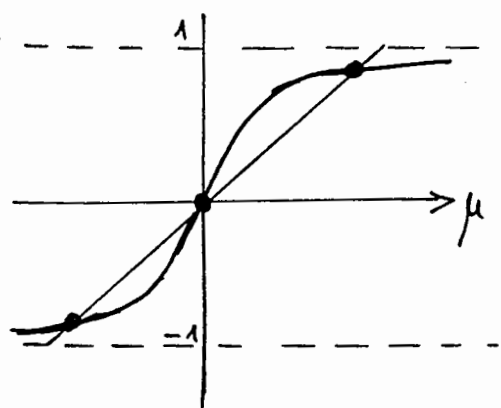


Fig. $\beta J > 1$. Nur $\pm\mu_0 \neq 0$ entsprechen Minima von $\mathcal{L}(\mu, 0)$.

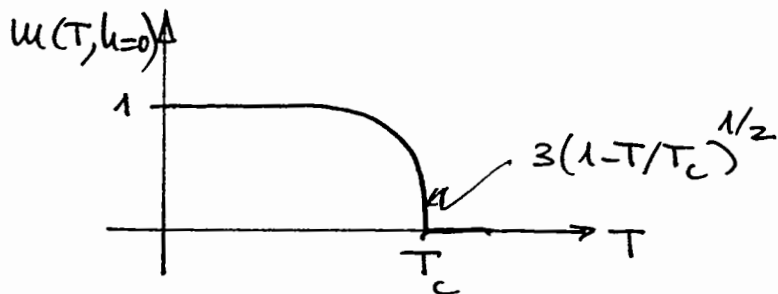
sierungszuständen $+, -$. Beide haben natürlich dieselbe freie Energie. Nahe bei T_c können wir μ_0 aus (3.8) durch entwideln der Gleichung um $\mu=0$ bestimmen

$$\mu_0 \approx \sqrt{\beta \left(\frac{T}{T_c}\right)^2 \left(1 - \frac{T}{T_c}\right)}. \quad (3.11)$$

Deshalb verhält sich die Suszeptibilität in der Nähe von T_c – aber unterhalb – wie

$$\chi \approx \frac{\beta_c}{2} \left(\frac{T_c}{T} - 1 \right)^{-1}. \quad (3.12)$$

Die Magnetisierung ist in der folgenden Figur skizziert.



Kritische Isotherme: Diese erhält man aus (3.7) für $T=T_c = J$ und entweder der h -Funktion. Aus dieser Gleichung wird dann

$$u = (u + \beta_c h) - \frac{1}{3} (u + \beta_c h)^3 + \dots,$$

weshalb

$$h \approx \frac{J}{3} u^3 \quad \text{für } T=T_c, h \rightarrow 0. \quad (3.13)$$

Spezifische Wärme für $h=0$: Für $h=0$ ist die freie Energie nach (3.6) und (3.5)

$$f(\beta, h=0) = \begin{cases} -\frac{1}{\beta} \ln 2, & T \geq T_c, \\ \frac{J}{2} \mu_0^2 - \frac{1}{\beta} \ln 2 d(\beta J \mu_0), & T < T_c. \end{cases} \quad (3.14)$$

Deshalb ist die spezifische Wärme

$$c(h=0) = -T \frac{\partial^2 f}{\partial T^2} = \begin{cases} 0, & T \geq T_c \\ -\frac{J}{2} \frac{d\mu_0(\beta)}{dT}, & T < T_c \end{cases} \quad (3.15)$$

Diese hat einen Sprung bei T_c , dessen Größe nach (3.15) und (3.11) gleich $\frac{3}{2}k$ ist.

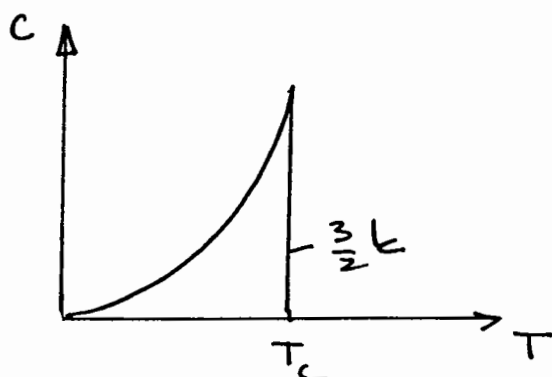


Fig. Spezifische Wärme im Nullfeld.

Aus den oben abgeleiteten Ergebnissen für das kritische Verhalten ergeben sich bestimmte Werte für die sog. kritischen Exponenten. Mit den Definitionen die wir später^{*} geben werden erhält man

$$\alpha = \alpha' = 0, \beta = \frac{1}{2}, \gamma = \gamma' = 1, \delta = 3. \quad (3.16)$$

^{*}) Siehe dazu S. II.34.

4. Molekularfeldtheorie, kritische Dimensionen

Die Molekularfeldtheorie (MFT) wurde zuerst von P. Weiss eingeführt. Sie ist ein einfaches aber nützliches Werkzeug zum Studium von Phasenübergängen. Ihre Gültigkeit hängt aber stark von der kritischen Dimension ab: Für $d > d_c$ (= obere kritische Dimension) ist die MFT sehr gut und zwar bei allen Temperaturen; sie gibt die richtigen kritischen Exponenten und bildet den Ausgangspunkt für systematische Korrekturen. Für $d \leq d_c$, aber oberhalb der unteren kritischen Dimension d_g , ist die MFT immer noch gut, außer beim kritischen Punkt; die kritischen Exponenten kommen falsch heraus. Für $d \leq d_g$ wird die MFT ungültig und führt auch zu qualitativ falschen Aussagen.

Wir diskutieren die MFT im Kontext eines klassischen Spinnmodells (§ II.1B), mit der Hamiltonfunktion

$$H_\Lambda(\vec{S}) = -\frac{1}{2} \sum_{i,j} J_{ij} \vec{S}_i \cdot \vec{S}_j - \sum_j h_j \cdot \vec{S}_j; \quad (4.1)$$

$$\vec{S}_j \in S^{N-1}, \quad J_{ii} = 0.$$

Wir arbeiten vorläufig in einem endlichen Teilgebiet $\Lambda \subset \mathbb{Z}^d$. Die Zustandssumme lautet nach (II.1.14)

$$Z_\Lambda(\beta, h) = \int e^{-\beta H_\Lambda(\vec{S})} \prod_{i \in \Lambda} d\vec{S}_i = e^{-\beta F(\beta, h)}. \quad (4.2)$$

Die "Magnetschwünge" sind

$$\vec{m}_j(\beta, h) = \langle \vec{s}_j \rangle = - \frac{\partial F}{\partial h_j} . \quad (4.3)$$

Der Beweis in § I.7c zeigt, dass F_λ in den \vec{h}_j konkav ist. Neben F betrachten wir auch die Legendre-Transformierte, das Gibbspotential

$$\Gamma(u) = \sum_i \vec{h}_i(u) \cdot \vec{m}_i + F(h(u)) . \quad (4.4)$$

Dafür gilt wiederum

$$\vec{h}_i = \frac{\partial \Gamma}{\partial \vec{m}_i} \quad (4.5)$$

und

$$\frac{\partial^2 \Gamma}{\partial \vec{m}_i \partial \vec{m}_j} = - \left(\frac{\partial^2 F}{\partial \vec{h}_i \partial \vec{h}_j} \right)^{-1} . \quad (4.6)$$

Die zweiten Ableitungen hängen mit den Spin-Spin-Korrelationen zusammen. Wir haben

$$\begin{aligned} \frac{\partial^2}{\partial \vec{h}_i \partial \vec{h}_j} \ln Z &= \frac{\partial}{\partial \vec{h}_i} (\beta \langle \vec{s}_j \rangle) \\ &= \beta^2 [\langle \vec{s}_i \otimes \vec{s}_j \rangle - \langle \vec{s}_i \rangle \otimes \langle \vec{s}_j \rangle] ; \end{aligned}$$

also

$$-\frac{1}{\beta} \frac{\partial F}{\partial \vec{h}_i \partial \vec{h}_j} = G_{ij} \quad (4.7)$$

mit

$$G_{ij} = \langle \vec{s}_i \otimes \vec{s}_j \rangle - \langle \vec{s}_i \rangle \otimes \langle \vec{s}_j \rangle . \quad (4.8)$$

A. Molekularfeldtheorie für die Magnetisierung

Es gibt verschiedene Zugänge zur MTN. Bevor wir eine Methode besprechen, die es für $d > d_c$ erlaubt systematische Korrekturen zu berechnen, verfahren wir auf denkbare einfache Weise.

Wir ersetzen dabei im ersten Term von (4.1) einen der Spins durch einen mittleren Spin $\langle \vec{S}_j \rangle$, wobei $\langle \vec{S}_j \rangle$ selbst-konsistent so bestimmt wird, dass dies auch der Erwartungswert zu

$$\bar{H}_A = - \sum_i \vec{S}_i \cdot (\vec{h}_i + \sum_j J_{ij} \langle \vec{S}_j \rangle) \quad (4.9)$$

ist; d.h. es soll gelten:

$$\langle \vec{S}_i \rangle = \frac{\int \vec{S}_i e^{-\beta \bar{H}_A(\vec{z}, \langle \vec{z} \rangle)} \prod_{j \neq i} d\varphi(\vec{S}_j)}{\int e^{-\beta \bar{H}_A(\dots)} \prod_{j \neq i} d\varphi(\vec{S}_j)}. \quad (4.10)$$

Wir weiten dies für Ising-Spins $S_i = \pm 1$ aus; $\int d\varphi(\vec{S}) \rightarrow \sum_{S_i=\pm 1}$. Die Zustandssumme für die Hamiltonfunktion $-\sum_i S_i \cdot \vec{h}_i$ ist gleich $\prod_i 2 \cosh(\beta \vec{h}_i)$, also wird aus (4.9) und (4.10)

$$\langle S_i \rangle = \frac{1}{\beta} \frac{\partial}{\partial h_i} \ln 2 \cosh [\beta(h_i + \sum_j J_{ij} \langle S_j \rangle)],$$

oder

$$\langle S_i \rangle = \tanh [\beta (h_i + \sum_j J_{ij} \langle S_j \rangle)]. \quad (4.11)$$

Dies ist das gesuchte Resultat. Für NN-Wedelschätzungen

$J_{ij} = J$ für $\langle ij \rangle$ und ein uniformes Magnetfeld $h_j = h$ folgt für die magnetisierung m pro Gitterpunkt

$$m = \tanh [\beta (h + z d J m)]. \quad (4.12)$$

Diskussion: Die Gl. (4.12) hatten wir schon beim Curie-Weiss-Modell gefunden (s. Gl. (3.2)). Sie lässt sich graphisch lösen, wie dies in der nächsten Figur ange deutet ist.

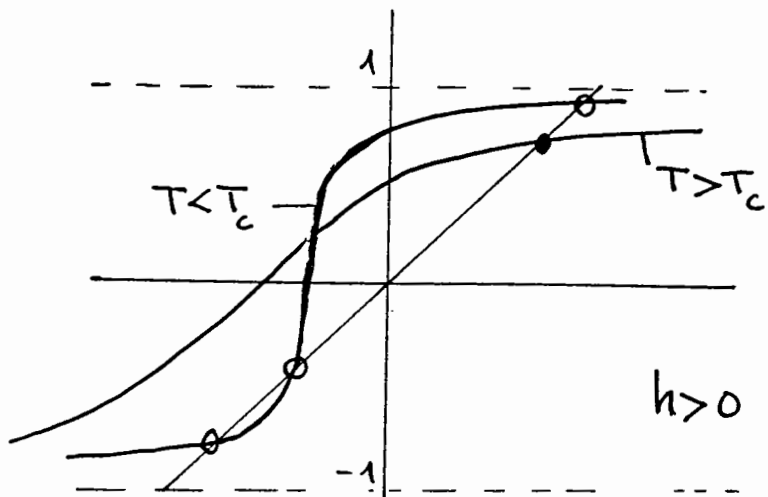


Fig. Lösungen der Gl.(4.12) für $T \geq T_c, h > 0$.

Welche Lösung für $T < T_c$ auszuwählen ist, ergibt sich aus einer Diskussion der freien Energie, auf welche wir in einem 2. Zugang zur HFN eingehen.

* * *

B. Freie Energie in der Volumenfeldtheorie, kritische Exponenten

Bei einem zweiten Zugang zur MFN benutzen wir als Ausgangspunkt die Jensen-Ungleichung:

Es sei $g(x)$ eine (nach unten) konvexe Funktion auf \mathbb{R} (z.B. $g(x) = e^x$) und ξ eine Zufallsvariable auf einem W-Raum mit $\langle \xi \rangle < \infty$. Dann gilt

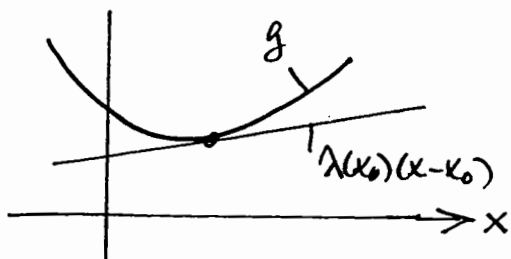
$$g(\langle \xi \rangle) \leq \langle g(\xi) \rangle ; \quad (4.13a)$$

speziell

$$\langle e^\xi \rangle \geq e^{\langle \xi \rangle} . \quad (4.13b)$$

Beweis: Zu $x_0 \in \mathbb{R}$ existiert wegen der Konvexität von g ein $\lambda(x_0)$ mit

$$g(x) \geq g(x_0) + (x - x_0)\lambda(x_0) .$$



Setzen wir darin $x = \xi$, $x_0 = \langle \xi \rangle$ so kommt

$$g(\xi) \geq g(\langle \xi \rangle) + (\xi - \langle \xi \rangle) \lambda(\langle \xi \rangle) .$$

Bilden wir davon den Erwartungswert, so ergibt sich gerade (4.13a). \square

Neben der Hamiltonfunktion (4.1) bedienen wir eine zweite Hamiltonfunktion \bar{H}_λ , über die wir noch geeignet verfügen werden und benutzen die Jensen-Ungl.

$$\langle e^A \rangle \gg e^{\langle A \rangle}$$

für $A = -\beta(H_\lambda - \bar{H}_\lambda)$ und den Erwartungswert bezüglich \bar{H}_λ :

$$\langle e^{-\beta(H_\lambda - \bar{H}_\lambda)} \rangle \geq e^{-\beta \langle H_\lambda - \bar{H}_\lambda \rangle}$$

\overbrace{}

$$\frac{\int e^{-\beta H_\lambda} \pi d\varphi}{\int e^{\beta \bar{H}_\lambda} \pi d\varphi} = \frac{Z_\lambda(\beta)}{\bar{Z}_\lambda(\beta)} ;$$

Z, \bar{Z} bezeichnen die Zustandssummen zu H bzw. \bar{H} .
Wir haben also für die freien Energien F und \bar{F}

$$F_\lambda(\beta) \leq \bar{F}_\lambda(\beta) + \langle H_\lambda - \bar{H}_\lambda \rangle. \quad (4.14)$$

Es sei nochmals betont, dass hier der Erwartungswert mit der Hamiltonfunktion \bar{H} zu bilden ist. Natürlich erhalten wir in (4.14) das Gleichheitszeichen für $H = \bar{H}$. Damit wir den Erwartungswert berechnen können, wählen wir jetzt

$$\bar{H}_\lambda = - \sum s_i \phi_i , \quad (4.15)$$

wo ϕ_i gewisse Hilfsfelder sind, deren 'selbstkonsistente Werte' die rechte Seite in (4.14) minimieren sollen.

Für die konkreten Bedingungen wählen wir jetzt wieder Ising-Spins. Dann ist

$$-\beta \bar{F}_\lambda(\beta, \phi) = \sum_{i \in \Lambda} \ln [2 \cosh(\beta \phi_i)].$$

Ferner haben wir

$$\begin{aligned}\langle H_\lambda - \bar{H}_\lambda \rangle &= \left\langle -\frac{1}{2} \sum_{i,j} J_{ij} S_i S_j + \sum_i (\phi_i - h_i) S_i \right\rangle \\ &= -\frac{1}{2} \sum_{i,j} J_{ij} \langle S_i \rangle \langle S_j \rangle + \sum_i (\phi_i - h_i) \langle S_i \rangle ,\end{aligned}$$

mit

$$\langle S_i \rangle = \tanh(\beta \phi_i). \quad (4.16)$$

Es ist also nach (4.14)

$$\begin{aligned}F_\lambda(\beta) &\leq -\frac{1}{\beta} \sum_i \ln [2 \cosh(\beta \phi_i)] - \frac{1}{2} \sum_{i,j} J_{ij} \tanh(\beta \phi_i) \tanh(\beta \phi_j) \\ &\quad + \sum_i (\phi_i - h_i) \tanh(\beta \phi_i) \\ &\equiv \mathcal{L}_\lambda(\phi, h).\end{aligned} \quad (4.17)$$

Die rechte Seite wird minimal für Werte $\bar{\phi}_i$ von ϕ_i , für welche gilt

$$\left. \frac{\partial \mathcal{L}_\lambda}{\partial \phi_i} \right|_{\phi_i = \bar{\phi}_i} = 0. \quad (4.18)$$

Die MFN der freien Energie ist jetzt

$$F_\lambda^{\text{MFN}}(h) = \mathcal{L}_\lambda(\bar{\phi}(h), h). \quad \begin{matrix} \text{mit der Lösung für die } \mathcal{L} \\ \text{minimal wird} \end{matrix} \quad (4.19)$$

[\mathcal{L} können wir als Landau-Funktion in der phänomenologischen Ginzburg-Landau-Theorie *) auffassen.]

*) Für eine Darstellung dieser Theorie verweise ich auf:
Zinn-Justin, loc. cit.

An dieser Stelle muss betont werden, dass F_{λ}^{MFN} in h konkav ist. Dies folgt aus

$$F_{\lambda}^{\text{MFN}}(h) = \inf_{\Phi} \mathcal{L}(\Phi, h) \quad [\text{i.e. gibt es mehrere (4.20)} \\ \text{stationäre Lösungen!}]$$

und der Linearität von \mathcal{L} in h^* . [Es ist wichtig, dass diese Eigenschaft der freien Energie (s.S. II.18) in der MFN erhalten bleibt.]

Die magnetisierung pro Spin ist in der MFN wegen (4.18)

$$m_i = - \frac{\partial \mathcal{L}}{\partial h_i} \Big|_{\bar{\Phi}_i} = \tanh(\beta \bar{\Phi}_i). \quad (4.19)'$$

Wir schreiben (4.18) noch explizit aus. Mit (4.19) sowie $\cosh(\tanh^{-1}x) = (1-x^2)^{-1/2}$, $\frac{d}{dx} \tanh x = 1/\cosh^2 x$ finden wir sofort

$$\bar{\Phi}_i - h_i = \sum_j J_{ij} m_j. \quad (4.20)'$$

Aus (4.19) und (4.20) folgt jetzt wieder die MF-Gleichung (4.11):

$$m_i = \tanh \left[\beta \left(h_i + \sum_j J_{ij} m_j \right) \right]. \quad (4.21)$$

Bem. Unterhalb T_c ist die Lösung $\bar{\Phi}_i$ nicht eindeutig, bestellt \inf_{Φ} in (4.20) wesentlich ist.

* Es sei $f_*(x) = \inf_y f(x, y)$ und $f(x, y)$ sei linear in x . Dann gilt für $0 \leq \lambda \leq 1$

$$f_*(\lambda x_1 + (1-\lambda)x_2) = \inf_y f(\lambda x_1 + (1-\lambda)x_2, y) = \inf_y \{ \lambda f(x_1, y) + (1-\lambda)f(x_2, y) \}$$

$$\geq \lambda \inf_y f(x_1, y) + (1-\lambda) \inf_y f(x_2, y) = \lambda f_*(x_1) + (1-\lambda) f_*(x_2),$$

d.h. es gilt

$$f_*(\lambda x_1 + (1-\lambda)x_2) \geq \lambda f_*(x_1) + (1-\lambda) f_*(x_2).$$

Nun bestimmen wir noch das Gibbs'sche Potential Γ^{HFN} in der HFN, welches als Legendre-Transformierte von F^{HFN} konvex in m sein muss.

Nach (4.20)

$\tanh(\beta \hat{u}_i) = \hat{u}_i$ setzen

haben wir, wenn wir

$$\begin{aligned} F_A^{\text{HFN}}(h) &= \inf_{\hat{u}} \left\{ - \sum_i h_i \hat{u}_i - \frac{1}{\beta} \sum \ln \left[z(1-\hat{u}_i^2)^{-1/2} \right] \right. \\ &\quad \left. - \frac{1}{2} \sum J_{ij} \hat{u}_i \hat{u}_j + \frac{1}{\beta} \sum \hat{u}_i \underbrace{\tanh^{-1}(\hat{u}_i)}_{\frac{1}{z} \ln \frac{1+\hat{u}_i}{1-\hat{u}_i}} \right\} \\ &= \inf_{\hat{u}} \left\{ - \sum h_i \hat{u}_i - \frac{1}{2} \sum \hat{u}_i J_{ij} \hat{u}_j - \frac{N}{\beta} \ln z \right. \\ &\quad \left. + \frac{1}{2\beta} \sum_i (1+\hat{u}_i) \ln(1+\hat{u}_i) + (1-\hat{u}_i) \ln(1-\hat{u}_i) \right\}. \end{aligned} \tag{4.22}$$

Dies ist aber gerade die Legendre-Transformierte der Funktion in den geschweiften Klammern ohne den 1. Term. Als Legendre-Transformierte von F^{HFN} ist deshalb Γ^{HFN} die konvexe Hülle der eben erwähnten Funktion:

$$\begin{aligned} \Gamma^{\text{HFN}}(m) &= \underline{\text{konvexe Hülle}} \left\{ - \frac{1}{2} \sum m_i J_{ij} m_j - \frac{N}{\beta} \ln z \right. \\ &\quad \left. + \frac{1}{2\beta} \sum_i [(1+m_i) \ln(1+m_i) + (1-m_i) \ln(1-m_i)] \right\}. \end{aligned} \tag{4.23}$$

Würde man die Legendre-Transformierte auf die 'naive' Weise bestimmen, so würde sich die geschweifte Klammer in (4.22) ergeben, welche nicht für alle β konvex ist! In den Lehrbüchern wird dieser wichtige Punkt oft übersehen.

Zw. Konvexität wollen wir die Zustandsgleichung $h_i = \frac{\partial \Gamma(u)}{\partial u_i}$ bestimmen. An den Stellen wo die geschweifte Klammer in (4.23) konkav ist finden wir

$$h_i = \frac{\partial \Gamma}{\partial u_i} = - \sum J_{ij} u_j + \underbrace{\frac{1}{z\beta} \sum \left\{ \ln(1+u_i) + 1 - \ln(1-u_i) - 1 \right\}}_{\ln \frac{1+u_i}{1-u_i} = z \tanh^{-1} u_i},$$

d.h.

$$h_i = - \sum J_{ij} u_j + \frac{1}{\beta} \tanh^{-1} u_i, \quad (4.24)$$

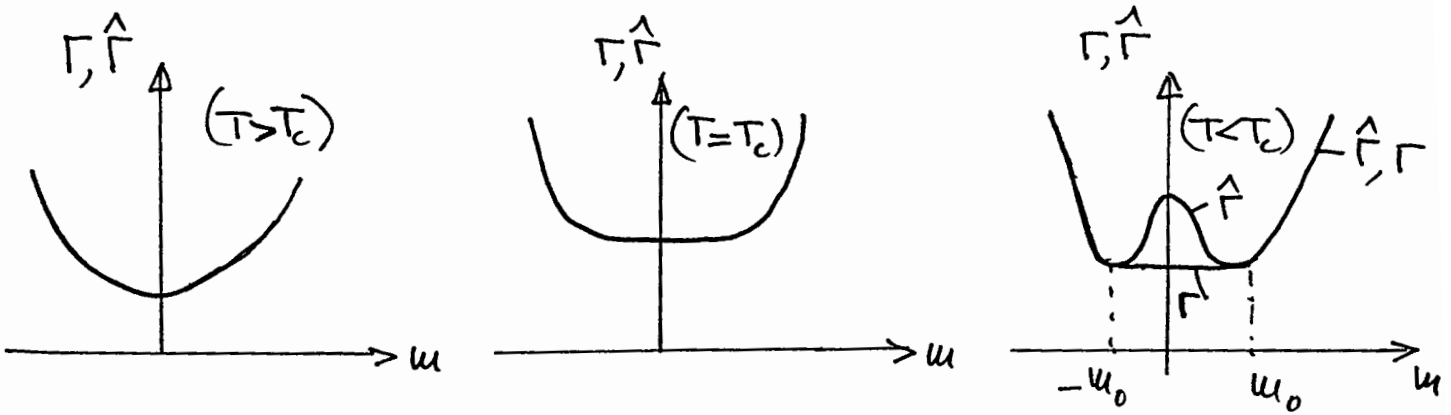
was mit (4.19) und (4.20) übereinstimmt.

Für die weitere Diskussionen betrachten wir den Fall einer uniformen Magnetisierung $u_i = u$. Da in d-Dimensionen die Zahl der nächsten Nachbarn (NN) in \mathbb{Z}^d gleich dN ist ($N=1 \wedge 1$), haben wir pro Gitterpunkt

$$\begin{aligned} \frac{1}{N} \Gamma(u) &= kH_i \left\{ -Jd u^2 - \frac{1}{\beta} \ln 2 + \frac{1}{z\beta} \left[(1+u) \ln(1+u) + (1-u) \ln(1-u) \right] \right\} \\ &= kH_i \left\{ -T \ln 2 + \frac{u^2}{z} (T - zJd) + \frac{T}{z} u^4 + O(u^6) \right\}. \end{aligned}$$

(Wir bemühen Einheiten mit $k=1$!) Aus der zweiten Zeile ist ersichtlich, dass die geschweifte Klammer — wir wollen sie mit $\hat{\Gamma}(u)$ bezeichnen — für $T - zJd < 0$ nicht konvex ist. Γ und $\hat{\Gamma}$ sind in der nächsten Figur skizziert. Offensichtlich liegt bei $T_c = zJd$ ein Phasenübergang 2. Ordnung vor. Überhalb T_c ist $\Gamma = \hat{\Gamma}$ und die Zustandsgleichung $h = \frac{\partial \Gamma}{\partial u}$ gilt

$$h = m(T-T_c) + \frac{1}{3}m^3 + \dots \quad (4.26)$$



und für $h=0$ verschwindet deshalb auch die Magnetisierung.
Unterhalb der kritischen Temperatur ist $\partial\Gamma/\partial m = 0$ unterhalb m_0 (s. Fig), wobei sich m_0 aus $\partial\Gamma/\partial m = 0$ ergibt,

$$m_0 = \pm \sqrt{\frac{3}{T}} (T_c - T)^{1/2} \quad (T < T_c). \quad (4.27)$$

Diese spontane Magnetisierung $m(\beta, h=0)$ verhält sich also für $T \uparrow T_c$ wie

$$m \sim \left(\frac{T_c - T}{T}\right)^\beta \quad (T < T_c) \quad (4.28)$$

mit dem kritischen Exponenten

$$\underline{\beta = \frac{1}{2}}. \quad (4.29)$$

(Dies hatten wir auch in (3.16).)

An der Stelle T_c ist die Abhängigkeit $m(h)$ nach (4.26)

$$m(h, T_c) = \left(\frac{3}{T_c}\right)^{1/3} h^{1/3}. \quad (4.30)$$

Allgemein definiert man den kritischen Exponenten δ durch das Verhalten

$$m \sim |h - h_c|^{-1/\delta} \quad (4.31)$$

in der Nähe des kritischen Feldes h_c .

In unserem Fall ist $h_c = 0$ und (wie in (3.16))

$$\underline{\delta = 3}. \quad (4.32)$$

Nun diskutieren wir die Spin-Spin Korrelation. Nach (4.7) und (4.6) gilt allgemein

$$[\beta \Theta_{ij}]^{-1} = \frac{\partial^2 \Gamma}{\partial u_i \partial u_j} = \frac{\partial h_i}{\partial u_j}. \quad (4.33)$$

Oberhalb der kritischen Temperatur können wir hier (4.24) verwenden und erhalten

$$[\beta \Theta_{ij}]^{-1} = -J_{ij} + T \delta_{ij} (1+u_i^2) + O(u^4). \quad (4.34)$$

Diese Gleichung diskutiert man am besten durch Fouriertransformation. Da nämlich J_{ij} nur von der Differenz der Gitterpositionen abhängt, wird diese Matrix durch die Fouriertransformation diagonalisiert: Ist die Kopplungsmatrix gleich der Funktion $J(x)$ für den Gitterabstand $x \in \mathbb{Z}^d$, so sind die Diagonalelemente nach Fouriertransformation gleich

$$\hat{J}(k) = \sum_{x \in \mathbb{Z}^d} J(x) e^{-ik \cdot x}, \quad k \in [-\pi, \pi]^d. \quad (4.35)$$

(Für ein endliches $\Lambda \subset \mathbb{Z}^d$ mit periodischen Randbedingungen müssen wir nur über Λ summieren; in diesem Fall sind die k -Werte auf $\Delta = \{k \in \mathbb{R}^d : |k_\alpha| = \frac{2\pi n_\alpha}{N^{1/d}}, -\frac{N^{1/d}}{2} < n_\alpha \leq \frac{N^{1/d}}{2}\}$ zu beschränken.)

Beziehen wir uns auf NN-Wandelswirkungen, so

haben wir

$$\begin{aligned}\hat{\mathcal{J}}(k) &= 2J \sum_{\alpha=1}^d \cos k_\alpha \\ &= 2J \left(d - \frac{1}{2} k^2 + O(k^2) \right).\end{aligned}\quad (4.36)$$

Nach Fouriertransformation lauten die Diagonalelemente $\hat{G}_i(k)$ von G_{ij} nach (4.34)

$$\beta \hat{G}_i(k) = \frac{1}{T - 2J \sum_{\alpha=1}^d \cos k_\alpha + T \mu^2} \underset{(k \approx 0)}{\sim} \frac{1}{T - T_c + J k^2 + T \mu^2}.\quad (4.37)$$

Oberhalb T_c verschwindet die spontane Magnetisierung und deshalb gilt

$$\beta \hat{G}_i(k) \underset{(k \rightarrow 0)}{\sim} \frac{1}{T - T_c + J k^2} \quad (T > T_c)\quad (4.38)$$

Nun ist aber (siehe (4.35))

$$\lim_{k \rightarrow 0} \beta \hat{G}_i(k) = \sum_j \beta G_{ij} \stackrel{(4.8)}{=} \frac{\beta}{|\Lambda|} \sum_{i,j} (\langle S_i S_j \rangle - \langle S_i \rangle \langle S_j \rangle)$$

$$= \left. \frac{\partial \mu}{\partial h} \right|_{h=0} = \chi : \text{magnetische Suszeptibilität}. \quad (4.39)$$

Bei ^{Von} lokalen Ordnungszeichen haben wir folgendes verwendet:

$$\frac{\partial \mu}{\partial h} = \frac{\partial}{\partial h} \left(\frac{1}{|\Lambda|} \sum_i \langle S_i \rangle \right) = \frac{\beta}{|\Lambda|} \sum_{i,j} (\langle S_i S_j \rangle - \langle S_i \rangle \langle S_j \rangle)$$

(siehe auch S. II.19).

Nach (4.38) und (4.39) gilt also für die Suszeptibilität

$$\chi_+ = \frac{1}{T-T_c} , \quad T > T_c . \quad (4.40)$$

(Der Index + oder - soll andeuten ob T oberhalb oder unterhalb der kritischen Temperatur ist.)

Die Green'sche Funktion (4.38) impliziert einen exponentiellen Zerfall im Koordinatenraum

$$G(x) \sim \exp\left[-\sqrt{\frac{J}{T-T_c}}|x|\right] , \quad T > T_c . \quad (4.41)$$

Daraus ergibt sich die Korrelationslänge

$$\xi_+ = \sqrt{\frac{J}{T-T_c}} , \quad T > T_c . \quad (4.42)$$

Diese divergiert beim kritischen Punkt. Allgemein beschreibt man ein solches Verhalten durch den kritischen Exponenten ν in

$$\xi \underset{T \rightarrow T_c}{\sim} |T-T_c|^{-\nu} . \quad (4.43)$$

Wir finden also in der MFN

$$\nu = \frac{1}{2} . \quad (4.44)$$

Für die Suszeptibilität schreibt man allgemein

$$\chi \underset{T \rightarrow T_c}{\sim} |T-T_c|^{\gamma} , \quad (4.45)$$

Weshalb in MFN

$$\underline{\gamma = 1} \quad (4.46)$$

wird.

Unterhalb des kritischen Temperatur ist nach (4.27)

$$u^2 = \frac{3}{T} (T_c - T) .$$

Bemerkten wir dies in (4.37) so kommt

$$\beta \tilde{G}(k) \approx \frac{1}{(k \rightarrow 0)^{2(T_c - T) + Jk^2}} \quad (T < T_c), \quad (4.47)$$

Weshalb jetzt

$$x_- = \frac{1}{2(T_c - T)} \quad (T < T_c), \quad (4.48)$$

$$G(x) \sim \exp \left[-\sqrt{\frac{2(T-T_c)}{J}} |x| \right] \quad (T < T_c), \quad (4.49)$$

$$\xi_- = \sqrt{\frac{J}{2(T_c - T)}} \quad (T < T_c). \quad (4.50)$$

Die kritischen Exponenten sind also wieder $\nu = \frac{1}{2}$, $\gamma = 1$.

Bei T_c ist der Zerfall der Korrelationsfunktion nicht mehr exponentiell. Sie zerfällt vielmehr polynomial:

$$G(x) = \frac{T}{J} \int \frac{d^d k}{(2\pi)^d} \frac{e^{ik \cdot x}}{|k|^2} \propto \frac{1}{|x|^{d-2}}. \quad (4.51)$$

Allgemein parametrisiert man $G(x)$ gemäß

$$G(x) \sim_{(T \rightarrow T_c)} \frac{e^{-|x|/\xi}}{|x|^{d-2+\eta}}. \quad (4.52)$$

Somit ist in der HFN

$$\underline{\eta = 0}. \quad (4.53)$$

Schliesslich betrachten wir noch die spezifische Wärme

$$C_h = \left(\frac{\partial U}{\partial T} \right)_h = T \left(\frac{\partial S}{\partial T} \right)_h = -T \left(\frac{\partial^2 F}{\partial T^2} \right)_h . \quad (4.54)$$

Nach (4.22) ist

$$\begin{aligned} \frac{1}{M} F_{\lambda}^{\text{MFN}}(h=0) &= \inf_u \left\{ -Td u^2 - T h u z + \frac{T}{2} [(1+u) \ln(1+u) + (1-u) \ln(1-u)] \right\} \\ &= \inf_u \left\{ -T h u z + \frac{u^2}{2} (T - 2Td) + \frac{T}{12} u^4 + O(u^6) \right\}. \end{aligned} \quad (4.55)$$

Hier ist die geschweifte Klammer unser früheres $\Gamma(u)$, welches auf S. II.28 skizziert ist. Für $T > T_c$ ist das Infimum bei $u=0$, also ist die freie Energie pro Spur $f(h=0) = -T h u z$. Für $T < T_c$ wird das Infimum für $u^2 = u_0^2 = \frac{3}{T}(T_c - T)$ (Gl. (4.27)) angenommen und wir finden

$$f^{\text{MFN}}(h=0) = \begin{cases} -T h u z, & T > T_c, \\ -T h u z - \frac{3}{4T}(T_c - T)^3 + O(T_c - T)^3, & T \leq T_c. \end{cases} \quad (4.56)$$

Dann ist ($C_h = C_h/M = -T(\partial f / \partial T^2)_h$)

$$C_h = \begin{cases} 0, & T > T_c, \\ \frac{3}{2} \left(\frac{T_c}{T} \right)^2, & T \leq T_c. \end{cases} \quad (4.57)$$

Auch dieses Resultat ist uns beim Curie-Weiss-Modell begegnet (s. Fig. auf S. II.17). Allgemein stellt man das kritische Verhalten so dar

$$C_h \underset{(T \rightarrow T_c)}{\sim} |T - T_c|^{-\alpha} + c . \quad (4.58)$$

Deshalb ist in der MFN

$\alpha = 0$.

(4.59)

Wir stellen an dieser Stelle die Definition der kritischen Exponenten und ihre MF-Werte neunmal zusammen.
Es sind darin auch bereits die Werte für die Ising-Modelle in $d=2,3$ angegeben. Man sieht, dass letztere gar nicht

Definition		MF	$d=3$ Ising	$d=2$ Ising
$C_H = \left(\frac{\partial U}{\partial T}\right)_h = -T \left(\frac{\partial^2 F}{\partial T^2}\right)_h \stackrel{(T \rightarrow T_c)}{\sim} T - T_c ^{-\alpha} + C$ $m \stackrel{(T \rightarrow T_c)}{\sim} (T_c - T)^\beta$	α	0	0.11	0
$\chi = \frac{\partial M}{\partial h} = -\frac{\partial^2 F}{\partial h^2} \stackrel{(T \rightarrow T_c)}{\sim} T - T_c ^{-\gamma}$ $m \stackrel{(h \rightarrow h_c)}{\sim} h - h_c ^{\nu/\delta}$	β	$\frac{1}{2}$	0.326	$\frac{1}{8}$
$G(x) \stackrel{(T \rightarrow T_c)}{\sim} \frac{e^{- x /z}}{ x ^{d-2+\eta}}$ $\xi \stackrel{(T \rightarrow T_c)}{\sim} T - T_c ^{-\nu}$	γ	1	1.24	$\frac{7}{4}$
	δ	3	4.8	15
	η	0	0.037	$\frac{1}{4}$
	ν	$\frac{1}{2}$	0.63	1

Tabelle. Definition der kritischen Exponenten, MF-Werte und die Werte für die Ising Modelle in zwei und drei Dimensionen.

mit den MF-Werten zu tun haben. Das ändert sich erst für $d > 4$, wie wir im nächsten Abschnitt näher erläutern werden.

* * *

C. Methode der Zufallsfelder, Loop-Kondukt und obere kritische Dimension

Wir geben nun noch eine Herleitung der MFN mit der "Methode der Zufallsfelder" ("random field transformation"). Diese hat den Vorteil, dass man auch Korrekturen diskutieren kann. Dabei zeigt sich auch, welche die obere kritische Dimension ist.

Wir betrachten zuerst wieder ein $O(n)$ -Spinsystem für beliebiges n (Gl. (4.1)). In einem ersten Schritt verallgemeinern wir die Methode, die wir beim Curie-Weiss-Modell verwendet haben. Wir bemerken die Identität

$$\int_{\mathbb{R}^n} e^{-\frac{1}{2} \sum_i x_i A_{ij} x_j + \sum_i x_i y_i} \frac{dx}{(2\pi)^{n/2}} = (\det A)^{-1/2} e^{\frac{1}{2} \sum_j (A^{-1})_{jj} y_j^2}, \quad (4.60)$$

wobei A eine symmetrische untausgeleerte Matrix ist. (Am einfachsten beweist man dies durch Diagonalisierung von A ; Übungsaufgabe.) Damit können wir die Zustandssumme (4.2) in folgender Form schreiben ($x_i \rightarrow \vec{\Phi}_i$, $A \rightarrow \beta J^{-1}$, $y_i \rightarrow -\beta \vec{S}_i$)

$$\begin{aligned} Z_\lambda(\beta, h) &= C \int \prod_i d\vec{\Phi}_i \exp \left[-\beta \sum_{i,j} J_{ij}^{-1} (\vec{\Phi}_i \cdot \vec{h}_i) \cdot (\vec{\Phi}_j \cdot \vec{h}_j) \right] \\ &\times \int \prod_i d\vec{q}(\vec{S}_i) e^{\beta \sum_i \vec{\Phi}_i \cdot \vec{S}_i} \quad \left(C = \left(\frac{2\pi}{\beta}\right)^{-1/2 n/2} (\det J)^{-1/2} \right) \\ &= C \int \prod_i d\vec{\Phi}_i e^{-\beta \mathcal{L}(\vec{\Phi}, h)} \end{aligned} \quad (4.61)$$

wobei \mathcal{L} das folgende 'Landau-Funktional' ist

$$\mathcal{L}(\vec{\Phi}, h) = \frac{1}{2} \sum_{i,j} J_{ij}^{-1} (\vec{\Phi}_i \cdot \vec{h}_i) \cdot (\vec{\Phi}_j \cdot \vec{h}_j) - \frac{1}{\beta} \sum_i h_i \int d\vec{q}(\vec{S}) e^{\beta \vec{\Phi}_i \cdot \vec{S}}. \quad (4.62)$$

Von jetzt an spezialisieren wir die weitere Diskussion auf Ising-Spins. Für diesen Fall erhalten wir

$$\mathcal{L}(\Phi, h) = \frac{1}{2} \sum_{ij} (\Phi_i - h_i) J_{ij}^{-1} (\Phi_j - h_j) - \frac{1}{\beta} \sum_i \ln [2 \cosh(\beta \Phi_i)] \quad (4.63)$$

Sowohl erscheint kein Fortschritt erzielt worden zu sein. Wesentlich ist aber, dass Z in (4.61) als ein Integral über Variablen $\{\Phi_i\}$ dargestellt werden ist, deren Erwartungswerte lokale 'Ordnungsparameter' sind, d.h. verschiedene Phasen unterscheiden.

In tiefster Ordnung verwenden wir nun in (4.61) die Laplace-Näherung:

$$e^{-\beta F_N(\beta, h)} \approx C e^{-\beta \inf_{\Phi} \mathcal{L}(\Phi, h)}.$$

Wenn wir noch den additiven Beitrag von C zu F weglassen, so erhalten wir

$$F_N^{\text{MFN}}(\beta, h) = \inf_{\Phi} \mathcal{L}(\Phi, h). \quad (4.64)$$

~~Das Minimum wird für folgende Werte $\{\bar{\Phi}_i\}$ von $\{\Phi_i\}$ aufgenommen erfüllen~~

$$\frac{\partial \mathcal{L}}{\partial \Phi_i} \Big|_{\bar{\Phi}_i} = 0 = \sum_j J_{ij}^{-1} (\bar{\Phi}_j - h_j) - \tanh(\beta \bar{\Phi}_i).$$

Genügen also der
Diese erfüllen also die MF-Gleichung

$$\bar{\Phi}_i = h_i + \sum_j J_{ij} \tanh(\beta \bar{\Phi}_j). \quad (4.65)$$

Zur Interpretation der $\bar{\Phi}_i$ bestimmen wir die magnetisiungen

$$u_i = -\frac{\partial F(h)}{\partial h_i} = -\frac{\partial}{\partial h_i} \mathcal{L}(\Phi(h), h) = -\frac{\partial \mathcal{L}}{\partial h_i}$$

$$= \sum_j J_{ij}^{-1} (\bar{\phi}_j - h_j) = \tanh(\beta \bar{\phi}_i). \quad (4.66)$$

Diese Beziehung hatten wir auch im Abschnitt B (Gl. (4.19')). Mit ihr können wir (4.65) wieder in der Form (4.21) schreiben:

$$u_i = \tanh [\beta (h_i + \sum_j J_{ij} u_j)]. \quad (4.67)$$

Sehen wir in (4.63) $\phi_j = h_j + \sum_l J_{jl} \hat{u}_l$, so haben wir auch

$$F^{\text{MFN}}(\beta, h) = \inf_{\hat{u}} \left\{ \frac{1}{2} \sum_{ij} J_{ij} \hat{u}_i \hat{u}_j - \frac{1}{\beta} \sum_i \ln [2 \cosh \beta (h_i + \sum_j J_{ij} \hat{u}_j)] \right\}. \quad (4.68)$$

Nun gilt für stationäre Punkte der gesuchten Klammern

$$\hat{u} = \tanh [\beta (h + J \hat{u})]. \quad (4.69)$$

Davon müssen wir diejenige Lösung wählen, für die diese Klammer minimal wird. Für jeden stationären Wert \hat{u}

$$\begin{aligned} \mathcal{L}(\hat{u}, h) &= -\frac{1}{2} \langle \hat{u}, J \hat{u} \rangle - \langle h, \hat{u} \rangle + \langle \hat{u}, J \hat{u} + h \rangle \\ &\quad - \frac{1}{\beta} \sum_i \ln [2 \cosh \beta (h + J \hat{u})]. \end{aligned} \quad (4.70)$$

Von diesem Ausdruck berechnen wir zuerst die beiden letzten Terme, unter Benutzung von (4.69). Wegen

$$\cosh(\tanh^{-1} x) = \frac{1}{\sqrt{1-x^2}}, \quad \tanh^{-1}(x) = \frac{1}{2} \ln \frac{1+x}{1-x}$$

ist der letzte Term in (4.70) gleich

$$-\frac{1}{\beta} \sum_i \ln [2 \cosh \tanh^{-1} \hat{u}_i] = -\frac{1}{\beta} \sum_i \ln \left[\frac{2}{\sqrt{1-\hat{u}_i^2}} \right]$$

$$= -\frac{1}{\beta} N \ln 2 + \frac{1}{2\beta} \sum_i \ln (1-\hat{u}_i^2) .$$

Dazu addieren wir den zweitletzten Term in (4.70)

$$\sum_i \hat{u}_i J_{ij} (h_j + \hat{u}_j) = \sum_i \hat{u}_i \frac{1}{\beta} \tanh^{-1} \hat{u}_i$$

$$= \frac{1}{2\beta} \sum_i \hat{u}_i \ln \frac{1+\hat{u}_i}{1-\hat{u}_i} .$$

Zusammen sind diese gleich.

$$-\frac{1}{\beta} N \ln 2 + \frac{1}{2\beta} \sum_i \left\{ (1+\hat{u}_i) \ln(1+\hat{u}_i) + (1-\hat{u}_i) \ln(1-\hat{u}_i) \right\} .$$

Dann wird aus (4.70)

$$\begin{aligned} \mathcal{L}(\hat{u}, h) &= -\sum_i h_i \hat{u}_i - \frac{1}{2} \sum_i \hat{u}_i J_{ij} \hat{u}_j - \frac{N}{\beta} \ln 2 \\ &\quad + \frac{1}{2\beta} \sum_i \left\{ (1+\hat{u}_i) \ln(1+\hat{u}_i) + (1-\hat{u}_i) \ln(1-\hat{u}_i) \right\} \end{aligned} \quad (4.21)$$

Dies ist genau dieselbe Ausdruck wie in (4.22), weshalb die beiden Methoden in den Abschätzungen B und C zum selben Resultat führen. Mit dem jetzigen Verfahren können wir aber Korrekturen berechnen.

1-Loop Korrekturen

Unser Ausgangspunkt ist durch die Gl. (4.61) und (4.63) bestimmt. Von $\mathcal{L}(\phi, h)$ bilden wir die Hessesche

$$\frac{\partial^2 \mathcal{L}}{\partial \phi_i \partial \phi_j} = J_{ij}^{-1} - \beta (1 - \tanh^2 \beta \phi_i) \delta_{ij} . \quad (4.72)$$

Zur leichteren Verfolgung der Ordnungen in der stationären Phasenapproximation führen wir in (4.61) einen Entwicklungsparameter ein. Mit Hilfe von (4.60) erhalten wir

$$\begin{aligned} Z_N(\beta, h) &= \# \int \prod_i T_i d\phi_i e^{-\beta \mathcal{L}(\phi, h)} \\ &\simeq \# \det \left[\beta \frac{\partial^2 \mathcal{L}}{\partial \phi_i \partial \phi_j} \right]^{-1/2} e^{-\beta \mathcal{L}} \Big|_{\bar{\phi}} \\ &\equiv C e^{-\beta F_N(\bar{\phi}, h)} . \end{aligned} \quad (4.73)$$

Dabei ist

$$\begin{aligned} F_N(\bar{\phi}, h) &= \frac{1}{2} \sum_{i,j} (\bar{\phi}_i - h_i) J_{ij}^{-1} (\bar{\phi}_j - h_j) - \frac{1}{\beta} \sum_i h_i \operatorname{cosh}(\beta \bar{\phi}_i) \\ &\quad + \frac{1}{z \beta l} A(\bar{\phi}) , \end{aligned} \quad (4.74)$$

und

$$A(\bar{\phi}) = \ln \det \left[\delta_{ij} - \beta (1 - \tanh^2(\beta \bar{\phi}_i)) J_{ij} \right]. \quad (4.75)$$

Die stationären Punkte $\bar{\phi}_i(h)$ sind durch (4.65) bestimmt:

$$\bar{\phi}_i = h_i + \sum_j J_{ij} \tanh(\beta \bar{\phi}_j). \quad (4.76)$$

Wir ignorieren die multiplikative Konstante $C = \left(\frac{z \pi}{\beta l} \right)^{N/2} [\det J^{-1}]^{-1/2} = l^{1/2}$ (?).

In führender Ordnung in $\frac{1}{l}$ ist die Approximation (s. (4.66)):

$$u_i = -\frac{\partial F}{\partial h_i} = \sum_j J_{ij}^{-1} (\bar{\phi}_j - h_j) - \frac{1}{z \beta l} \frac{\partial A(\bar{\phi})}{\partial h_i}. \quad (4.77)$$

Aus (4.76) und (4.77) folgt

$$\tanh(\beta\bar{\Phi}_i) = u_i + \frac{1}{2\beta l} \frac{\partial A(\bar{\Phi})}{\partial u_i} . \quad (4.78)$$

In folgender Ordnung dürfen wir deshalb im Zusatz $\frac{1}{2\beta l} A(\bar{\Phi})$ zur freien Energie in (4.74) die Größe (4.75) durch

$$A(u) = \ln \det [\delta_{ij} - \beta(1-u_i^2) J_{ij}] \quad (4.79)$$

ersetzen. Es dürfte klar sein, dass dann das Gibbsche Potential $\Gamma(u)$ zum MF-Ausdruck (4.23) den Zusatz $\frac{1}{2\beta l} A(u)$ erhält:

$$\Gamma(u) = \Gamma^{MFN}(u) + \frac{1}{2\beta l} A(u) . \quad (4.80)$$

(Konvexität?). Die Zustandsgleichung lautet jetzt nach (4.24)

$$h_i = \frac{\partial \Gamma}{\partial u_i} = - \sum_j J_{ij} u_j + \frac{1}{\beta} \tanh^{-1} u_i + \frac{1}{2\beta l} \frac{\partial A}{\partial u_i} , \quad (4.81)$$

$$\frac{\partial A}{\partial u_i} = \frac{1}{l} \sum_k J_{ik} [\delta_{is} - \beta(1-u_i^2) J_{rs}]_{ki}^{-1} m_r . \quad (4.82)$$

In letzten Gleichheitszeichen haben wir die folgende allgemeine Formel bemerkst: Ist $M(x)$ eine invertierbare Matrix, welche von einer Variablen x abhängt, so gilt

$$\frac{d}{dx} \ln \det M = \sum_{ij} (M^{-1})_{ij} \frac{d M_{ij}}{dx} .$$

In der Hochtemperaturphase, wo $u_i = 0$ ist, lautet deshalb die Suszeptibilität

$$\chi^{-1} = \frac{\partial \Gamma}{\partial u^2} = -zdJ + \frac{1}{\beta} + \frac{1}{l} \sum J_{ik} [\delta_{is} - \beta(1-u_i^2)J_{is}]_{ki}^{-1}.$$

Durch Beurkung der Fouriertransformationen (4.35) können wir die Summe leicht einfacher darstellen:

$$\chi^{-1} = -zdJ + \frac{1}{\beta} + \frac{1}{l} \int \frac{d^d k}{(2\pi)^d} \frac{\hat{J}(k)}{1 - \beta \hat{J}(k)}. \quad (4.83)$$

Das Integral erstreckt sich dabei über die Brillouin-Zone $[-\pi, \pi]^d$.

Bei der kritischen Temperatur T_c divergiert die Suszeptibilität. Also erfüllt T_c die Gleichung

$$0 = -zdJ + T_c + \frac{1}{l} \int \frac{d^d k}{(2\pi)^d} \frac{\hat{J}(k)}{1 - \hat{J}(k)/T_c} \quad (4.84)$$

In folgender Ordnung in $\frac{1}{l}$ gilt dies

$$T_c = zdJ - \frac{1}{l} \int \frac{d^d k}{(2\pi)^d} \frac{\hat{J}(k)}{1 - \hat{J}(k)/2zd} \quad (4.85)$$

Die Fluktuationen erniedrigen also den HF-Wert $T_c^{HF} = zdJ$. Das ist verständig, denn die Fluktuationen führen zu zusätzlicher Wechselwirkung.

Nun interessieren wir uns für das kritische Verhalten von χ . Dazu subtrahieren wir (4.84) von (4.83) und erhalten

$$\chi^{-1} = T - T_c + (T_c - T) \frac{1}{l} \int \frac{d^d k}{(2\pi)^d} \frac{\hat{J}(k)^2}{(T - \hat{J}(k))(T_c - \hat{J}(k))}. \quad (4.86)$$

Da die kritische Region durch langwellige Fluktuationen (kleine k) dominiert wird, entwickeln wir $\hat{J}(k)$ nach k^2 und erhalten mit (4.36)

$$x^{-1} \sim_{T \rightarrow T_c} (T - T_c) \left[1 - \frac{1}{l} \int \frac{d^d k}{(2\pi)^d} \frac{T_c^2}{J k^2 (J k^2 + T - T_c)} \right]. \quad (4.87)$$

Dies ist ein interessantes Ergebnis. Wir sehen, dass die $\frac{1}{l}$ -Koeffizient zu x^{-1} für $d=4$ bei T_c den Faktor

$$\int \frac{|k|^3 dk}{|k|^4}$$

enthält, der infrarotdivergent ist. Für jede andere Dimension setzen wir

$$q = \sqrt{\frac{J}{T - T_c}} k$$

und erhalten

$$x^{-1} \sim_{T \rightarrow T_c} (T - T_c) \left[1 - \frac{1}{l} \frac{(T - T_c)^{\frac{d-4}{2}} T_c^2}{J^{d/2}} \int \frac{dq}{(2\pi)^d} \frac{1}{q^2(q^2+1)} \right]. \quad (4.88)$$

Man sieht aus dieser Formel, dass die $\frac{1}{l}$ -Koeffizient für $d > 4$ endlich ist und deshalb das singuläre Verhalten von x nicht ändert. Insbesondere bleibt der kritische Exponent γ gleich 1. Man kann zeigen, dass dies auch in höheren Ordnungen in $1/l$ so bleibt.

Hingegen divergiert für $d \leq 4$ die $\frac{1}{l}$ -Koeffizient zu x^{-1} um T_c und dominiert deshalb das kritische Verhalten. Man

sagt, das kritische Verhalten sei fluktuationssdominiert. Die höheren Ordnungen in $\frac{1}{l}$ werden zunehmend divergenter um T_c und die MF-Näherung bricht zusammen.

Für $d \leq 4$ ist deshalb das kritische Verhalten eine sehr subtile Angelegenheit. Die Methode der Renormierungsgruppe hat hier beträchtliche Fortschritte gebracht. Leider können wir aus Zeitgründen nicht darauf eingehen. Für eine erste Einführung verweise ich auf: K. Huang, Kap. 18. Eine weit ausgelegte Darstellung gibt

J. Zinn-Justin, Quantum Field Theory and Critical Phenomena, Sec. Ed., Clarendon Press (1993);
Forth Ed. " " (2002).

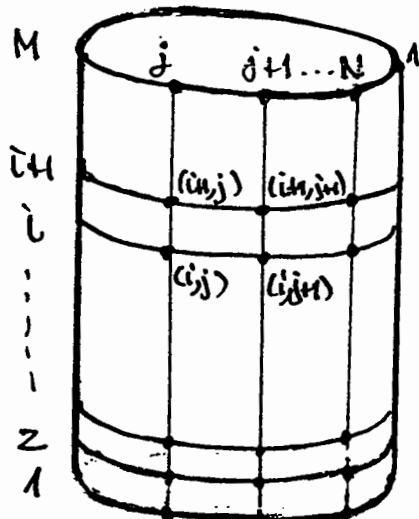
* * *

5. Onsager's Lösung des 2-dim. Ising-Modells

Onsager's Lösung des 2-dim. Ising-Modells (im Jahre 1944) gehört zu den Grossaten der mathematischen Physik. Ihr Einfluss auf die Entwicklung der ST kann nicht überschätzt werden.

In diesem Abschnitt beschränken wir uns auf eine Diskussion der Onsagerschen Lösung. Eine der vielen Herleitungen geben wir im Anhang F.

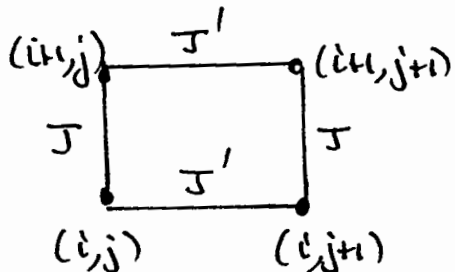
Wir betrachten das Modell zunächst auf einem endlichen Teil des Gitters \mathbb{Z}^2 , bestehend aus M Zeilen und N Spalten. Die Ising-Spins an den Stellen, wo sich die i -te Zeile mit der j -ten Spalte schneiden bezeichnen wir mit σ_{ij} ($i=1, \dots, M$; $j=1, \dots, N$). Langs jeder Zeile i verlangen wir periodische Randbedingungen $\sigma_{i,N+1} = \sigma_{i,1}$ ($i=1, \dots, M$). Dies bedeutet, dass wir das Gitter um einen Zylinder legen (s. Fig.). Die Hamilton-



funktion lautet

$$H(d\sigma_i) = -J \sum_{i=1}^{N-1} \sum_{j=1}^N \sigma_{i,j} \sigma_{i+1,j} - J' \sum_{i=1}^N \sum_{j=1}^N \sigma_{i,j} \sigma_{i,j+1} - h \sum_{i=1}^N \sum_{j=1}^N \sigma_{i,j}. \quad (5.1)$$

J ist die Kopplungskonstante für Spins, welche nächsten Nachbarn in der gleichen Kolonne sind. Entsprechend beschreibt J' die Kopplungsstärke zwischen nächsten Nachbarn in der gleichen Zeile (s. Fig.). Im weiteren bezeichne $\hat{\sigma}_j$



die Sequenz der σ_{ij} in der Kolonne j :

$$\hat{\sigma}_j = (\sigma_{1,j}, \sigma_{2,j}, \dots, \sigma_{N,j}); \hat{\sigma}_{N+1} = \hat{\sigma}_1. \quad (5.2)$$

Die Wechselwirkungsenergie dieser j ten Kolonne ist

$$U(\hat{\sigma}_j) = -J \sum_{i=1}^{N-1} \sigma_{i,j} \sigma_{i+1,j} - h \sum_{i=1}^N \sigma_{i,j} \quad (5.3)$$

und die Wechselwirkungsenergie zwischen benachbarten Kolumnen ist

$$V(\hat{\sigma}_j, \hat{\sigma}_{j+1}) = -J' \sum_{i=1}^N \sigma_{i,j} \sigma_{i,j+1}. \quad (5.4)$$

Offensichtlich ist

$$H(d\sigma_i) = \sum_{i=1}^N [U(\hat{\sigma}_i) + V(\hat{\sigma}_i, \hat{\sigma}_{i+1})]. \quad (5.5)$$

Mit diesen Notationen haben wir für die Zustandssumme

$$\begin{aligned} Z_{N,M} &= \sum_{(\hat{\xi}_1, \dots, \hat{\xi}_N)} \exp \left[-\beta \sum_{i=1}^N \left(U(\hat{\xi}_i) + V(\hat{\xi}_i, \hat{\xi}_{i+1}) \right) \right] \\ &= \sum_{(\hat{\xi}_1, \dots, \hat{\xi}_N)} \prod_{i=1}^N T(\hat{\xi}_i, \hat{\xi}_{i+1}), \end{aligned} \quad (5.6)$$

Wobei nach Symmetrisierung des Exponenten

$$T(\hat{\xi}, \hat{\xi}') = \exp \left[-\beta \left(U(\hat{\xi})/2 + V(\hat{\xi}, \hat{\xi}') + U(\hat{\xi}')/2 \right) \right]. \quad (5.7)$$

Wir fassen $T(\hat{\xi}, \hat{\xi}')$ als Komponenten einer $2^M \times 2^M$ -Matrix \mathbf{T} auf. Nach (5.6) gilt

$$Z_{N,M} = \text{Sp}(\mathbf{T}^N). \quad (5.8)$$

Sind λ_α , $\alpha = 1, \dots, 2^M$ die Eigenwerte der ^{positiven} symmetrischen Matrix \mathbf{T} , so gilt

$$Z_{N,M} = \sum_{\alpha=1}^{2^M} \lambda_\alpha^N. \quad (5.9)$$

Wie früher haben wir deshalb für die freie Energie pro Spin im thermodynamischen Limes

$$-\beta f = \lim_{\substack{M \rightarrow \infty \\ N \rightarrow \infty}} \frac{1}{M \cdot N} Z_{N,M} = \lim_{M \rightarrow \infty} \frac{1}{M} \ln \lambda_1, \quad (5.10)$$

wenn λ_1 den größten Eigenwert von \mathbf{T} bezeichnet.

Seien wir die Ausdrücke (5.3) und (5.4) in (5.7) ein und bemerken die Abkürzungen

$$K = \beta J, \quad K' = \beta J', \quad B = \beta h, \quad (S.11)$$

so lautet die Transfer-Matrix T explizit

$$\begin{aligned} T(\hat{\sigma}, \hat{\sigma}') &= \exp \left[\frac{K}{2} \sum_{i=1}^{M-1} \sigma_i \sigma_{i+1} + \frac{B}{2} \sum_{i=1}^M \sigma_i \right] \\ &\times \exp \left[K' \sum_{i=1}^M \sigma_i \sigma'_i \right] \\ &\times \exp \left[\frac{K}{2} \sum_{i=1}^{M-1} \sigma'_i \sigma'_{i+1} + \frac{B}{2} \sum_{i=1}^M \sigma'_i \right], \end{aligned} \quad (S.12)$$

wobei

$$\hat{\sigma} = (\sigma_1, \dots, \sigma_M), \quad \hat{\sigma}' = (\sigma'_1, \dots, \sigma'_M) \quad (S.13)$$

$$(\sigma_i = \pm 1, \sigma'_j = \pm 1).$$

Unsag es gelang es, das vollständige Spektrum von T für beliebige K und K' , aber $B=0$, zu bestimmen. Wir setzen nun folgenden $J=J'$ ($K=K'$) und $B=0$ und beobachten nur den Limes in (S.10). Für diesen Fall wollen wir die Transfomatrix noch durch die Paulischen Spinnmatrizen $\tau^{(k)}$ ($k=1, 2, 3$) ausdrücken. Die Matrizen

$$\tau_i^{(k)} = 1_2 \otimes \dots \underset{\substack{\uparrow \\ \text{i-te Stelle}}}{\tau^{(k)}} \otimes 1_2 \otimes \dots \otimes 1_2 \quad (S.14)$$

($k=1, 2, 3; i=1, \dots, M$) können benutzt werden, um (S.12) passend darzustellen. Der erste und der dritte Faktor in (S.12) sind zwei große Diagonalmatrizen der Form

$$V_1^{1/2} = \exp \left[\frac{K}{2} \sum_{j=1}^{M-1} \tau_j^{(3)} \tau_{j+1}^{(3)} \right]. \quad (5.15)$$

Die mittlere Matrix in (5.12) ist das M-fache Tensorprodukt der folgenden 2×2 Matrix

$$L = \begin{pmatrix} e^K & -e^{-K} \\ -e^K & e^K \end{pmatrix} = e^K I_2 + e^{-K} \pi^{(1)}.$$

Wegen

$$e^{K^* \pi^{(1)}} = \cosh K^* I_2 + \sinh K^* \pi^{(1)}$$

gilt

$$L = (\cosh 2K)^{1/2} e^{K^* \pi^{(1)}}, \quad (5.16)$$

falls

$$\tanh K^* = e^{-2K} \iff \sinh(2K^*) \sinh(2K) = 1. \quad (5.17)$$

Sehen wir also

$$V_2 = (\cosh 2K)^{1/2} \exp \left[K^* \sum_{j=1}^M \tau_j^{(1)} \right], \quad (5.18)$$

so gilt

$$T = V_1^{1/2} V_2 V_1^{1/2}, \quad (5.19)$$

d.h. $\text{Sp } T^N = \text{Sp } V^N$, dabei

$$V := V_2^{1/2} V_1 V_1^{1/2} = (\cosh 2K)^{1/2} \times$$

$$\times \exp \left[K^* \sum_{j=1}^M \tau_j^{(1)} \right] \exp \left[K \sum_{j=1}^{M-1} \tau_j^{(3)} \tau_{j+1}^{(3)} \right] \exp \left[\frac{K}{2} \sum_{j=1}^M \tau_j^{(1)} \right]. \quad (5.20)$$

Es kommt also alles auf die Bestimmung des grössten Eigenwertes dieser positiven symmetrischen Matrix hinaus.

Dies wird im Anhang F detailliert geführt, mit dem Resultat

$$\lambda_1 = (z \sinh 2K)^{1/2} \exp \left[\frac{1}{2} (\gamma_1 + \gamma_3 + \dots + \gamma_{2M-1}) \right], \quad (5.21)$$

wobei die γ_k definiert sind durch ($\gamma_k > 0$)

$$\cosh \gamma_k = \cosh 2k \coth 2k - \cos(\pi k/M). \quad (5.22)$$

Im Limes $M \rightarrow \infty$ wird aus der Riemann-Summe im Exponenten von (5.21) ein Integral und folglich erhalten wir mit (5.10)

$$\begin{aligned} -\beta f(\beta, h=0) &= \lim_{M \rightarrow \infty} \frac{1}{M} \ln \lambda_1 = \frac{1}{2} \ln(z \sinh 2K) + \lim_{M \rightarrow \infty} \frac{1}{2\pi} \sum_{k=0}^{M-1} \gamma_{2k+1} \\ &= \frac{1}{2} \ln(z \sinh 2K) + \frac{1}{2\pi} \int_0^{\pi} \cosh^{-1} (\cosh 2k \coth 2k - \cos \theta_1) d\theta_1. \end{aligned} \quad (5.23)$$

Nun bemerkten wir die Identität

$$\cosh^{-1} |x| = \frac{1}{\pi} \int_0^{\pi} d\theta \ln [2(x - \cos \theta_2)], \quad (5.24)$$

welche man folgendermassen ein sieht. Die Funktion $g(x)$ sei definiert durch

$$g(x) = \frac{1}{2\pi} \int_0^{2\pi} d\theta \ln (2 \cosh x \pm 2 \cos \theta). \quad (5.25)$$

Wir haben

$$g'(x) = \frac{1}{2\pi} \int_0^{2\pi} \frac{\sinh x}{\cosh x \pm \cos \theta}. \quad (5.26)$$

Nun ist für $a > 1$

$$\int_0^{2\pi} \frac{d\theta}{a + \cos \theta} = \frac{2\pi}{\sqrt{a^2 - 1}} \quad , \quad (5.27)$$

Was steht mit Hilfe des Residuensatzes so eigentlich? Seien
 $z = e^{i\theta} \Rightarrow \bar{z} = 1/z, a + \cos \theta = a + \frac{1}{2}(z + \bar{z}) = a + \frac{1}{2}(z + \frac{1}{z}) =$
 $= (z^2 + 2az + 1)/2z; \text{ also}$

$$\int_0^{2\pi} \frac{d\theta}{a + \cos \theta} = -2i \oint_{|z|=1} \frac{dz}{z^2 + 2az + 1} .$$

$\underbrace{(z-\alpha)(z-\beta)}_{\alpha = -a + \sqrt{a^2 - 1}, \beta = -a - \sqrt{a^2 - 1}}$

für $a > 1$ ist $|\alpha| < 1, |\beta| > 1$, also gilt der Residuensatz
 tabidlich (5.27). Dies impliziert für g'

$$g'(x) = \operatorname{sgn}(x) \Rightarrow g(x) = |x| . \quad (5.28)$$

In besondere ist deshalb für $x > 0$

$$g(\cosh^{-1} x) = \frac{1}{\pi} \int_0^\pi \ln[z(x + \cos \theta)] d\theta = |\cosh^{-1} x| = \cosh^{-1} x .$$

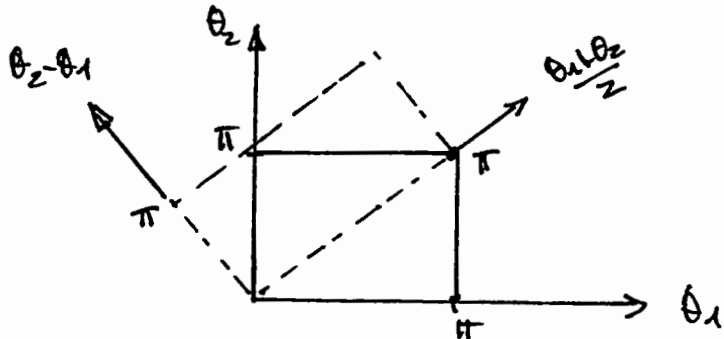
Bemerken wir (5.24) in (5.23), so erhalten wir die
 Integraldarstellung

$$-\beta f(\beta, h=0) = \ln z + \frac{1}{2\pi^2} \int_0^\pi d\theta_1 \int_0^\pi d\theta_2 \ln [\cosh^2 z K - \sinh z K (\cos \theta_1 + \cos \theta_2)] . \quad (5.29)$$

Eine andere Form erhält man, wenn das Integral I in (5.23)
 mit Hilfe der Darstellung (5.24) folgendermassen umgeformt
 wird: Zunächst ergibt sich

$$I = \frac{1}{2\pi^2} \int_0^\pi d\theta_1 \int_0^\pi d\theta_2 \ln [z \cosh z K \cosh z K - z (\cos \theta_1 + \cos \theta_2)] .$$

Statt über das Quadrat $[0, \pi]^2$ zu integrieren, können wir auch über das punktierte Rechteck der folgenden Figur integrieren, ohne den Wert des Integrals zu ändern. Dafür



Ist $0 \leq (\theta_1 + \theta_2)/2 \leq \pi$, $0 \leq \theta_2 - \theta_1 \leq \pi$. Führen wir also die neuen Integrationsvariablen

$$\omega_1 = \frac{\theta_2 - \theta_1}{\pi}, \quad \omega_2 = \frac{\theta_1 + \theta_2}{\pi}$$

ein und benutzen die trigonometrische Identität

$$\cos \theta_1 + \cos \theta_2 = 2 \cos \omega_2 \cos \omega_1,$$

so erhalten wir

$$I = \frac{1}{\pi^2} \int_0^\pi d\omega_2 \int_0^{\pi/2} d\omega_1 \ln(2 \cosh 2K \coth 2K - 4 \cos \omega_1 \cos \omega_2).$$

Hier ist das ω_2 -Integral fast von der Form (5.24). Um es in diese Gestalt zu bringen, schreiben wir

$$\begin{aligned} I &= \frac{1}{\pi^2} \int_0^\pi d\omega_2 \int_0^{\pi/2} d\omega_1 \ln(2 \cos \omega_1) \\ &\quad + \frac{1}{\pi^2} \int_0^{\pi/2} d\omega_1 \int_0^\pi d\omega_2 \ln \left(\frac{\cosh 2K \coth 2K}{\cos \omega_1} - 2 \cos \omega_2 \right) \end{aligned}$$

$$\stackrel{(5.24)}{=} \frac{1}{\pi} \int_0^{\pi/2} d\omega_1 \ln(2 \cos \omega_1) + \frac{1}{\pi} \int_0^{\pi/2} d\omega_1 \cos^{-1} \left(\frac{\coth 2K \cosh 2K}{2 \cos \omega_1} \right).$$

Nun ist $\cosh^{-1}x = \ln[x + \sqrt{x^2 - 1}]$, womit

$$I = \frac{1}{2\pi} \int_0^\pi d\theta \ln \left[\frac{z(1 + \sqrt{1 - q^2 \cos^2 \theta})}{2} \right],$$

wo $D := \cosh zK \coth zK$, $q = \frac{z}{D}$. (5.30)

Dieses Integral ändert sich nicht, wenn wir $\cos^2 \theta$ durch $\sin^2 \theta$ ersetzen:

$$I = \frac{1}{2} \ln(z \cosh zK \coth zK) + \frac{1}{2\pi} \int_0^\pi \ln \left(\frac{1 + \sqrt{1 - q^2(K) \sin^2 \theta}}{2} \right) d\theta.$$

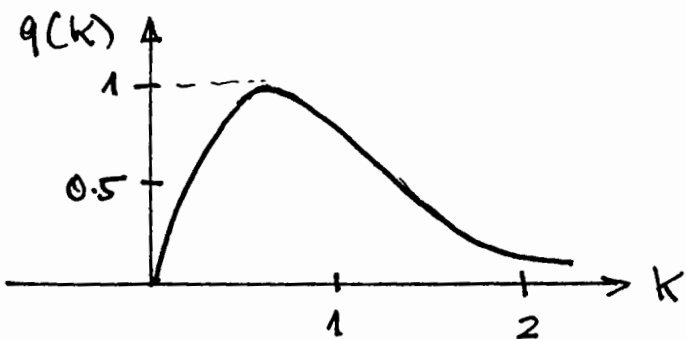
Bemerken wir dies in (5.23), so erhalten wir schliesslich

$$\boxed{-\beta f(\beta, h=0) = \ln(z \cosh zK) + \frac{1}{\pi} \int_0^{\pi/2} d\theta \ln \left(\frac{1 + \sqrt{1 - q^2 \sin^2 \theta}}{2} \right)}. \quad (5.31)$$

Die Funktion $q(K)$ ist nach (5.30)

$$q(K) = \frac{z \sinh zK}{\cosh^2 zK} \quad (5.32)$$

und hat folgende Form:



Sie erreicht ihren maximalen Wert $q=1$ bei $\sinh zK=1$.

Es ist klar, dass die freie Energie (5.31) nur an dieser Stelle unabhängig sein kann, da sonst der Ausdruck unter der Wurzel nie verschwindet. Falls es also einen Phasenübergang gibt, muss die kritische Temperatur T_c also die folgende Gl. erfüllen

$$\sinh \frac{2J}{kT_c} = 1. \quad (5.33)$$

Die innere Energie pro Spin $u(\tau)$ kann man in folgende Form bringen

$$u(\beta) = \frac{\partial}{\partial \beta} (\beta f(\beta)) = -J \coth(2\beta J) \left[1 + \frac{2}{\pi} \left(z \tanh^2(2\beta J) - 1 \right) K_1(q) \right],$$

$$K_1(q) = \int_0^{\pi/2} \frac{d\theta}{\sqrt{1-q^2 \sin^2 \theta}} \quad (5.34)$$

Das vollständige elliptische Integral der ersten Art $K(q)$. Hier die zugehörigen Zeichenedingungen. Zunächst erhält man aus (5.31)

$$u(\beta) = -2J \tanh(2\beta J) + \frac{q}{\pi} \frac{dq}{d\beta} \int_0^{\pi/2} d\theta \frac{\sin^2 \theta}{\Delta(1+\Delta)},$$

mit $\Delta := \sqrt{1-q^2 \sin^2 \theta}$. Nun sieht man sofort, dass

$$\int_0^{\pi/2} \frac{\sin^2 \theta}{\Delta(1+\Delta)} d\theta = -\frac{\pi}{2q^2} + \frac{1}{q^2} \int_0^{\pi/2} \frac{d\theta}{\Delta}$$

und somit haben wir

$$u(\beta) = -2J \tanh(2\beta J) + \frac{1}{2q} \frac{dq}{d\beta} \left[-1 + \frac{2}{\pi} \int_0^{\pi/2} \frac{d\theta}{\sqrt{1-q^2 \sin^2 \theta}} \right].$$

Aus (5.32) erhalten wir

$$\frac{1}{q} \frac{dq}{d\beta} = -2J \coth(2\beta J) (2 \tanh^2(2\beta J) - 1)$$

$$\Rightarrow -2J \tanh(2\beta J) - \frac{1}{2q} \frac{dq}{d\beta} = -J \coth(2\beta J).$$

Sehen wir dies oben ein, so folgt die Behauptung (5.34).

Aus (5.34) erhält man nach einigen Zwischenrechnungen (Übung) für die spezifische Wärme pro Spin

$$\begin{aligned} \frac{1}{k} C(\beta) = & \left[\frac{\pi}{4} (\tanh 2K)^2 \left\{ K_1(q) - E_1(q) - (1 - \tanh^2 2K) \times \right. \right. \\ & \left. \left. \times \left[\frac{\pi}{2} + (2 \tanh^2 2K - 1) K_1(q) \right] \right\}, \right. \end{aligned} \quad (5.35)$$

$$E_1(q) = \int_0^{\pi/2} \sqrt{1 - q^2 \sin^2 \theta} d\theta$$

das vollständige elliptische Integral 2. Art ist.

An Stelle der exakten Ausdrücke (5.34) und (5.35) wollen wir, ausgehend von (5.29), ^{direkt} einfache Formeln in der Nähe von T_c herleiten. Zunächst erhalten wir

$$\begin{aligned} U = & -J \coth 2K \left[1 + (\tanh^2 2K - 1) \frac{1}{\pi^2} \int_0^{\pi/2} d\theta_1 \int_0^{\pi} d\theta_2 \left\{ \cos^2 2K \right. \right. \\ & \left. \left. - \tanh 2K (\cos \theta_1 + \cos \theta_2) \right\}^{-1} \right]. \end{aligned} \quad (5.36)$$

Hier divergiert das Integral logarithmisch falls $\coth^2 2K = 2 \tanh^2 2K$. Tatsächlich haben wir in einer Umgebung von $\theta_1 = \theta_2 = 0$ für ein kleines $\delta := \coth^2 2K - 2 \tanh^2 2K = (\tanh 2K - 1)^2$ für das

Integral in (5.36)

$$\frac{1}{\pi^2} \int_0^\pi d\theta_1 \int_0^\pi d\theta_2 \left\{ \dots \right\}^{-1} \simeq \frac{1}{\pi^2} \int_0^\pi d\theta_1 \int_0^\pi d\theta_2 \left\{ \delta + \frac{1}{2} \sinh^{-1} k(\theta_1^2 + \theta_2^2) \right\}^{-1}$$

$$= \frac{2}{\pi} \int_0^\infty (\delta + \frac{r^2}{2} \sinh^{-1} k)^{-1} dr \simeq -\frac{2}{\pi} \ln \delta \quad (\text{für } \delta \rightarrow 0).$$

(Wir haben dabei auf Polarkoordinaten mit $\theta_1^2 + \theta_2^2 = r^2$, $d\theta_1 d\theta_2 = r dr d\theta$, etc. transformiert.)

Wir finden also, in Übereinstimmung mit (5.33), eine Singularität für $\sinh^{-1} k = 1$. Die innere Energie $U(\beta)$ selber ist aber nach den vorangegangenen Formeln bei der kritischen Temperatur steigend ($k_c = \beta_c J$):

$$U \simeq -J \coth(k/k_c) [1 + A(k-k_c) \ln |k-k_c|], \quad (5.37)$$

wo A eine gewisse Konstante ist. Daraus erhalten wir für die spezifische Wärme

$$C = \frac{\partial U}{\partial T} \simeq \frac{3}{\pi} \ln |k-k_c| \quad \text{für } k \rightarrow k_c. \quad (5.38)$$

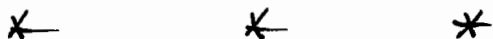
Diese divergiert also logarithmisch bei T_c . Genauer erhält man aus (5.35)

$$\frac{C(\beta)}{k} \simeq -\frac{2}{\pi} \left(\frac{2J}{kT_c} \right)^2 \ln \left| 1 - \frac{T}{T_c} \right| + \text{const}. \quad (5.39)$$

Dies entspricht dem kritischen Exponenten $\underline{\alpha=0}$. (Beachte: $\frac{1}{\alpha}(X^{-\alpha}-1) \rightarrow -\ln X$ für $\alpha \rightarrow 0$.)

Die Berechnung der spontanen Flächenzierung erfordert eine wesentliche Erweiterung des Vorangegangenen. Für den kritischen Exponenten β findet man $\beta = 1/8$ (an Stelle von $\beta = 1/2$ in der MFN). Man kommt auch den kritischen Exponenten $\gamma = 3/4$ (MFN: $\gamma = 1$). All dies zeigt, dass, wie früher begründet, die MFN das kritische Verhalten in $d=2$ nicht korrekt beschreibt.

Für weitere exakt lösbare Modelle verweise ich auf das Buch von Baxter (1982). Das interessante gläserne Modell wird im Anhang D behandelt.



II.6 Thermodynamischer Limes

Es wurde schon mehrfach betont, dass die TD erst im Grenzfall unendlich vieler Freiheitsgrade aus der SM folgt. Etwas genauer ausgedrückt, möchten wir folgendes zeigen:

Für die Gibbs'schen Ensembles sollten die Limes

$$S(U,V) = \lim_{V \rightarrow \infty} \frac{1}{V} S_{u-\text{kon}}(U,V,N) \quad (S_{u-\text{kon}} = k \ln Z_{u-\text{kon}}) \quad (6.1)$$

$$f(\beta,V) = \lim_{V \rightarrow \infty} \frac{1}{V} F_{\text{kon}}(\beta,V,N) \quad (\beta F_{\text{kon}} = \ln Z_{\text{kon}}) \quad (6.2)$$

$$p(\beta,\mu) = \lim_{V \rightarrow \infty} p_{g-\text{kon}}(\beta,\mu,V) \quad (\beta V p_{g-\text{kon}} = \ln Z_{g-\text{kon}}) \quad (6.3)$$

als Funktionen in den angedeuteten Variablen existieren, wobei $u = \lim_{V \rightarrow \infty} U/V$, $v = \lim_{V \rightarrow \infty} V/N$. Ferner sollen diese drei Grenzfunktionen untereinander konsistent sein, indem sie die gleiche thermodynamische Fundamentalgleichung definieren.

Beim Grenzübergang müssen noch Annahmen über die Gestalt der Volumina gemacht werden. Ferner soll natürlich $\lim V/N$ existieren, d.h. festgehalten werden.
Mit anderen Worten: Wir erwarten, dass im thermo-

dynamischen Limes die drei Ensembles äquivalent werden.

Bevor wir diesen Limes genauer studieren, möchte ich aber betonen, dass die statistische Thermodynamik für endliche Systeme ebenfalls interessant und sinnvoll ist, falls diese in Kontakt mit Reservoiren sind. Die Unterschiede von kanonischen und grosskanonischen Ensemble bagen dann der unterschiedlichen Natur der Wechselwirkung des endlichen Systems mit den Reservoiren Rechnung. (Für das kanonische Ensemble wird nur Energie mit dem Wärmebad ausgetauscht, während beim grosskanonischen Ensemble sowohl Wärme als auch Teilchen ausgetauscht werden.)

Historisch wurde die Frage nach der Existenz des thermodyn. Limes relativ spät gestellt (Van Hove 1949, Lee und Yang 1952). Systematische Untersuchungen setzten erst in den 60iger Jahren ein (siehe dazu das Buch von Ruelle).

Konvexitäts-eigenschaften der thermodynamischen Funktionen werden i. a. erst im thermodyn. Limes gültig sein. Fehler werden scharfe Diskontinuitäten oder Unendlichkeiten in Größen wie der spezifischen Wärme erst im thermodyn. Limes auftreten, da die Zustandssummen für endliche Systeme analytisch in β sind. In diesem Limes sollte der Formalismus eine Erklärung für die verschiedenen Phasen der Stoffe liefern.

A. Thermodynamischer Limes für Gittersysteme

Der Einfachheit halber behandeln wir hier ein spezielles Modell. Die angewandte Methode lässt sich aber auf sehr allgemeine Gittersysteme übertragen.* (Siehe dazu das Buch von Ruelle und ferner: R.B. Israel, "Convexity in the Theory of Lattice Gases", Princeton Univ. Press 1979, Kap. I.)

Wir wählen das 1-dim. Ising-Modell mit $N=2^n$ Spins und translationsinvarianten Hamiltonfunktionen

$$H_n = - \sum_{1 \leq i < j \leq N} J(i-j) \sigma_i \sigma_j \quad (\sigma_i = \pm 1). \quad (6.4)$$

für die Kopplungskonstanten $J(k)$ verlangen wir

$$\sum_{k=1}^{\infty} |J(k)|^2 < \infty. \quad (6.5)$$

Es stellt sich nun die Frage, ob die freie Energie f pro Teilchen im Limes $n \rightarrow \infty$ existiert, d.h. ob

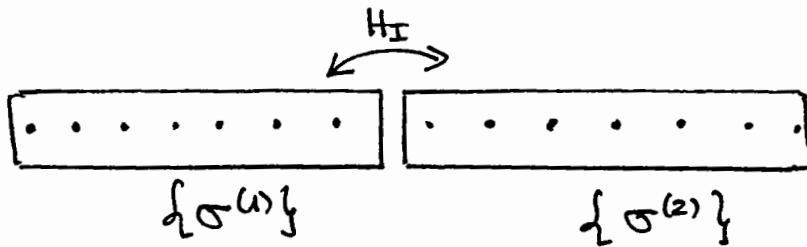
$$\lim_{n \rightarrow \infty} \frac{1}{2^n} \ln Z_n, \quad Z_n = Z(2^n, \beta) = \sum_{\text{distr}} e^{-\beta H_n(\text{distr})}, \quad (6.6)$$

existiert.

Wir werden zeigen, dass die Folge der $\tilde{f}_n := \frac{1}{2^n} \ln Z_n$ monoton und beschränkt ist, womit die Frage positiv beantwortet ist.

Haupteidee: Wir zerlegen die Spindichte in zwei gleiche Teile

* Siehe Anhang G.



und schreiben $H_u(\{\sigma\})$ in der Form

$$H_u(\{\sigma\}) = H_{u-1}(\{\sigma^{(1)}\}) + H_{u-1}(\{\sigma^{(2)}\}) + H_I(\{\sigma^{(1)}, \sigma^{(2)}\}), \quad (6.7)$$

wobei

$$\begin{aligned} \sigma_i^{(1)} &= \sigma_i \\ \sigma_i^{(2)} &= \sigma_{2^{u-1}+i} \end{aligned} \quad \left\{ \begin{array}{l} i=1, 2, \dots, 2^{u-1} \end{array} \right. \quad (6.8)$$

und

$$\begin{aligned} H_I(\{\sigma^{(1)}, \sigma^{(2)}\}) &= - \sum_{i=1}^{2^{u-1}} \sum_{j=2^{u-1}+1}^{2^u} J(j-i) \sigma_i^{(1)} \sigma_j^{(2)} \\ &= - \sum_{i=1}^{2^{u-1}} \sum_{j=1}^{2^{u-1}} J(j-i+2^{u-1}) \sigma_i^{(1)} \sigma_j^{(2)}. \end{aligned} \quad (6.9)$$

Es erweist sich als zweckmäßig, die folgende Wahrscheinlichkeitsverteilung einzuführen:

$$P(\{\sigma^{(1)}, \sigma^{(2)}\}) = Z_{u-1}^{-2} \exp[-\beta H_{u-1}(\{\sigma^{(1)}\}) - \beta H_{u-1}(\{\sigma^{(2)}\})]. \quad (6.10)$$

Dann lässt sich Z_u so darstellen

$$\begin{aligned} Z_u &= Z_{u-1}^2 \sum_{\{\sigma^{(1)}, \sigma^{(2)}\}} P(\{\sigma^{(1)}, \sigma^{(2)}\}) e^{-\beta H_I(\{\sigma^{(1)}, \sigma^{(2)}\})} \\ &= Z_{u-1}^2 \langle e^{-\beta H_I} \rangle_P, \end{aligned} \quad (6.11)$$

wobei $\langle \dots \rangle_{\bar{P}}$ den Erwartungswert mit der Verteilung (6.10) bedeutet.

Mit Hilfe der Jensen-Ungleichung (s. S. II.22) ergibt sich aus (6.11) die folgende Abschätzung

$$Z_n \geq Z_{n-1}^2 e^{-\beta \langle H_I \rangle_{\bar{P}}} . \quad (6.12)$$

Nun ist aber H_I ungerade in $\{\sigma^{(1)}, \sigma^{(2)}\}$,

$$H_I(\{\sigma^{(1)}, \sigma^{(2)}\}) = -H_I(\{\sigma^{(2)}, \sigma^{(1)}\}) , \quad (6.13)$$

während die Verteilung \bar{P} gerade ist. Somit gilt $\langle H_I \rangle_{\bar{P}} = 0$ und

$$Z_n \geq Z_{n-1}^2 . \quad (6.14)$$

Deshalb haben wir auch

$$\tilde{f}_n \geq \tilde{f}_{n-1} , \quad (6.15)$$

womit die Monotonie bewiesen ist.

Beschränktheit: Offensichtlich gilt

$$H_n(\{\sigma\}) \geq - \sum_{1 \leq i < j \leq N} |J(j-i)| \geq -N \sum_{k=1}^N |J(k)|$$

und folglich

$$Z_n \leq 2^N \exp(N \beta \sum_{k=1}^N |J(k)|).$$

Dies zeigt

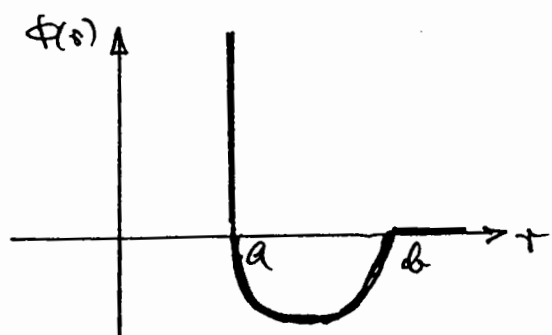
$$\tilde{f}_n \leq \ln 2 + \beta \sum_{k=1}^{\infty} |J(k)| \stackrel{(6.5)}{<} \infty \quad (6.16)$$

Und damit die Existenz von f (freie Energie pro Spin) im thermodyn. Limes bewiesen. Auf deren Konvergenz-eigenschaften kommen wir zurück.

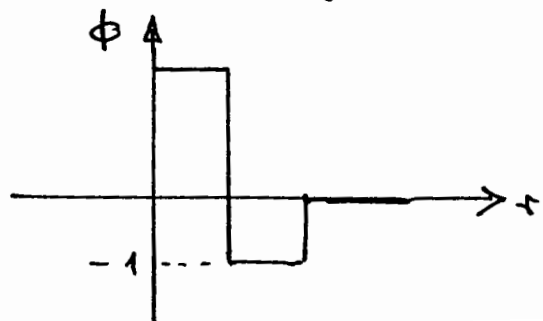
B. Thermodynamischer Limes für ein Kontinuum-Modell

Nun studieren wir den thermodyn. Limes für das Kontinuum-Modell in II.1.A, beschränken uns aber der Einfachheit halber auf sog. van Hove-Potentiale (s. Fig.):

$$\phi(r) = \begin{cases} \infty & , 0 \leq r < a \\ < 0 & , a < r < b \\ 0 & , r \geq b \\ > -c & , r > a \quad (c > 0) . \end{cases} \quad (6.17)$$



Große Einschränkungen an das Potential sind auf jeden Fall nötig. Z.B.: würde für ein Potential der Art



keine makroskopische Materie existieren (siehe Buelle, p.36).

Wir betrachten eine Folge Λ_k von 3-dim. Gebieten mit Volumina V_k , $V_{k+1} > V_k$, welche N_k Teilchen mit fester Dichte $\rho = N_k/V_k$ enthalten. Die kanonische Zustandssumme ist

$$Z_k(\beta, N_k) = \frac{1}{N_k!} \int_{\Lambda_k} e^{-\beta \sum_{1 \leq i < j \leq N_k} \phi(|x_i - x_j|)} d^3x. \quad (6.18)$$

Die freien Energien f_k pro Teilchen sind gegeben durch

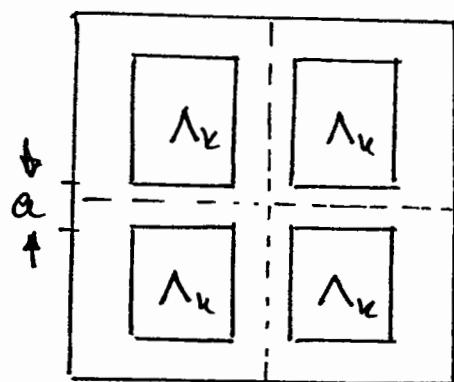
$$-\beta f_k = \frac{1}{N_k} \ln Z_k = \tilde{f}_k. \quad (6.19)$$

Wir zeigen für Potentiale der Art (6.17), dass der Limes

$$\lim_{k \rightarrow \infty} f_k = f(\beta, \rho) \quad (6.20)$$

existiert, wobei wir der Einfachheit halber für die Λ_k eine monotonen Folge von Kuben wählen. (Man kann auch allgemeinere Gebiete wählen; siehe dazu das Buch von Buelle.)

Genauer ist die Sequenz Λ_k folgendermassen gewählt. Man beginne mit einem Kubus Λ_1 mit "freiem" Volumen V_1 und Wänden der Dicke $a/2$. Induktiv ist Λ_{k+1} so konstruiert: Man plaziere acht Λ_k -Kuben mit freien Volumina V_k und Wänden der Dicke $a/2$ in einen grossen Kubus mit freiem Volumen $V_{k+1} = 8V_k$ und ebenfalls Wänden der Dicke $a/2$ (s. Fig.). Wieder zeigen wir, dass die Folge der freien Energien f_k monoton wächst und beschränkt ist.



Die Folge der λ_k mit Wänden oder Kondensatoren ist etwas künstlich gewählt, um die Monotonie leicht zeigen zu können. Es dürfte aber intuitiv klar sein, dass sich das Argument verallgemeinern lässt, da der Bruchteil des Gesamtvolumens in den Kondensatoren in Thermodyn. Limes gegen Null geht.

Monotonie: Wir beweisen zuerst die folgende Ungleichung

$$Z_k \geq (Z_{k-1})^8. \quad (6.21)$$

Sidet ist Z_k größer als der Ausdruck (6.18), wenn man in diesem das Integrationsgebiet so beschränkt, dass N_{k-1} bei $N_k = 8N_{k-1}$ Teilchen in jedem der acht λ_{k-1} -Kuben sind, welche λ_k ausmachen. Sodann beachten wir, dass Teilchen in verschiedenen λ_{k-1} -Kuben weiter als a voneinander entfernt sind, weshalb das Potential zwischen ihnen ≤ 0 ist. Deshalb ist der Beitrag zum Integranden ≥ 1 . Veradlässigen wir also die Wechselwirkung zwischen verschiedenen λ_{k-1} -Kuben, so wird das Integral nochmals verkleinert.

Da im ersten Schritt $\frac{(8N_{k-1})!}{(N_{k-1}!)^8}$ Aufteilungen der be- schiedenen Art möglich sind und beim zweiten Schritt das

Integral in ein Produkt von adit idenischen Integralen faktorisiert, folgt in der Tat (6.21). Daraus erhalten wir wieder

$$\tilde{f}_k \geq \tilde{f}_{k+1}. \quad (6.22)$$

Beschränktheit: Dafür genügt es, für das Potential ϕ die Stabilitätsbedingung

$$\sum_{1 \leq i < j \leq N} \phi(1 \leq |x_i - x_j|) \geq -BN \quad \text{für alle Konfigurationen} \quad (6.23)$$

zu verlangen, wobei B eine positive Konstante unabhängig von N ist. (Diese ist, wie wir gleich noch zeigen werden, für (6.17) erfüllt.)

Tabidlich folgt dann sofort

$$Z_k < \frac{1}{N_k!} V_k^{N_k} e^{\beta B N_k}.$$

Da aber $\ln N! > N \ln N - N$

ist und $\rho = N_k / V_k$ festgehalten wird, folgt auch

$$\tilde{f}_k < 1 + \beta B - \ln \rho \quad (k=1,2,\dots),$$

womit die Beschränktheit der $\{\tilde{f}_k\}$ gezeigt ist. (6.24)

Nun verifizieren wir noch die Stabilitätsbedingung (6.23) für die van Hove-Potentiale. Da $\phi(+)=0$ für $t \geq b$ ist, kann nur eine endliche Anzahl von Teilchen mit einem gegebenen Teilchen wechselwirken und zwar ≤ 1 .

diese Zahl begrenzt durch die Anzahl $s(a; b)$ von Kugeln mit Durchmesser a , welche in einer Kugel mit Durchmesser b gepaßt werden können. Offensichtlich gilt

$$\sum_{j=1}^N \phi(|x_i - x_j|) \geq -c s(a; b) \quad \text{für alle } |x_i - x_j| > a, \\ i, j = 1, \dots, N$$

und deshalb

$$\sum_{1 \leq i < j \leq N} \phi(|x_i - x_j|) \geq -Ns(a; b) \quad \text{für alle (erlaubten) Konfigurationen } \{x\}, \quad (6.25)$$

was zu zeigen war.

* * *

7. Konvexität der freien Energie und thermodyn. Stabilität

Die zentrale Rolle von Konvexitäts-eigenschaften wurde bereits in der TD betont. Wir zeigen nun, dass für das zuerst studierte Modell (Abschnitt 6B) die freie Energie f im thermodyn. Sinne tatsächlich konvex ist.

Wir gehen ähnlich vor wie in §6B, aber bei der Reduktion des Integationsgebietes (in ersten Schritt) beschränken wir jetzt die Integration auf Konfigurationen, bei denen $N_{k-1}^{(1)}$ Teilchen in vier der Λ_{k-1} -Kuben und $N_{k-1}^{(2)}$ der Teilchen in den verbleibenden vier Kuben sind, die Λ_k ausmachen. Ferner halten wir jetzt die beiden Dichten $\rho_1 = N_{k-1}^{(1)} / V_{k-1}$, $\rho_2 = N_{k-1}^{(2)} / V_{k-1}$ fest. Lassen wir sodann wiederum Wechselwirkungen zwischen verschiedenen Λ_{k-1} -Kuben weg, so ergibt sich jetzt (prüfe die Kombinatorik)

$$Z_k(\beta, N_k) \geq [Z_{k-1}(\beta, N_{k-1}^{(1)})]^4 [Z_{k-1}(\beta, N_{k-1}^{(2)})]^4, \quad (7.1)$$

mit

$$N_k = 4N_{k-1}^{(1)} + 4N_{k-1}^{(2)}. \quad (7.2)$$

Sei jetzt

$$g_k(\rho) := \frac{1}{V_k} \ln Z_k(\beta, N_k)$$

("freie Energie" pro Volumen) so folgt aus (7.1) und (7.2)

$$g_k\left(\frac{\rho_1 + \rho_2}{2}\right) \geq \frac{1}{2} [g_{k-1}(\rho_1) + g_{k-1}(\rho_2)]. \quad (7.3)$$

$$\text{Da } g_k = \frac{N_k}{V_k} \tilde{f}_k = \rho \tilde{f}_k \quad (7.4)$$

und $\lim f_k = \tilde{f}$ existiert, existiert auch $\lim g_k =: g$ und wir erhalten aus (7.3)

$$\boxed{g\left(\frac{\rho_1 + \rho_2}{2}\right) \geq \frac{1}{2} [g(\rho_1) + g(\rho_2)]}. \quad (7.5)$$

Dies impliziert aber bereits, dass g eine konkave Funktion ist. Aus (7.5) und der Beschränktheit¹⁾ von g (vgl. (6.24) und $g = \rho \tilde{f}$) folgt nämlich, dass g stetig ist²⁾. Nun kann man aus (7.5) durch Induktion leicht beweisen, dass

$$g(t\rho_1 + (1-t)\rho_2) \geq t g(\rho_1) + (1-t) g(\rho_2) \quad (7.6)$$

für alle $t = j/2^k$, $j=0, 1, \dots, 2^k$ gilt (Übung). Aus Stetigkeitsgründen gilt dann (7.6) für beliebige $t \in [0, 1]$, d.h. g ist konkav. Es ist dann auch $\tilde{f}(v) = v g(1/v)$ eine konkave Funktion und somit f eine konvexe Funktion des spezifischen Volumens. In der Tat sei $(\lambda_1, \lambda_2 = 1, \lambda_i \geq 0)$:

$$\begin{aligned} \tilde{f}(\lambda_1 v_1 + \lambda_2 v_2) &= (\lambda_1 v_1 + \lambda_2 v_2) g\left(\frac{1}{\lambda_1 v_1 + \lambda_2 v_2}\right) \\ &= (\lambda_1 v_1 + \lambda_2 v_2) g\left(\frac{\lambda_1 v_1}{\lambda_1 v_1 + \lambda_2 v_2} \frac{1}{v_1} + \frac{\lambda_2 v_2}{\lambda_1 v_1 + \lambda_2 v_2} \frac{1}{v_2}\right) \geq \end{aligned}$$

- 1) z.B. für $0 < \rho < \rho_0$: Druck für dichten Kugelpackung.
- 2) Siehe z.B.: G.H. Hardy, J.E. Littlewood und G.Polya: "Inequalities", Cambridge Univ. Press (1964).

$$\geq \lambda_1 v_1 g\left(\frac{1}{v_1}\right) + \lambda_2 v_2 g\left(\frac{1}{v_2}\right) = \lambda_1 \tilde{f}(v_1) + \lambda_2 \tilde{f}(v_2).$$

Als konvexe Funktion ist f auch stetig.

Thermodynamische Stabilität

Da nach (6.24) $\tilde{f} < 1 + \beta B - \ln \varrho$ gilt, so folgt aus $g = \varrho \tilde{f}$ auch

$$g(0) = \lim_{\varrho \downarrow 0} g(\varrho) = 0 \quad (7.7)$$

In Verbindung mit (7.6) ergibt sich ($v_1 = 0, t_2 = t$):

$$g(t\varrho) > t g(\varrho) \quad \text{für } 0 \leq t \leq 1. \quad (7.8)$$

Somit nimmt die freie Energie monoton ab:

$$f(v) \geq f(v') \quad \text{für } v \leq v'. \quad (7.9)$$

Damit ist der Druck

$$p = - \frac{\partial f}{\partial v} \quad (7.10)$$

niemals negativ. Da ferner die Ableitung einer konvexen Funktion wertabnehmend ist, nimmt der Druck mit dem spezifischen Volumen nicht zu. Da schließlich eine monotone Funktion fast überall differenzierbar ist, existiert die isotherme Kompressibilität

$$\chi_T = - \left(v \frac{\partial p}{\partial v} \right)^{-1} \quad (7.11)$$

fast überall und ist dort niemals negativ. Man kann auch

zeigen, dass $\phi(v)$ stetig ist (siehe das Buch von Buehle).

Wir haben ferner bereits gezeigt (§ I.6e), dass die freie Energie sogar für ein endliches System eine konkav-funktion der Temperatur ist. Deshalb ist auch die spezifische Wärme C_V nicht-negativ. Ähnliche Aussagen können für magnetische Systeme bewiesen werden (s. Übungen).

Ergänzungen zu § I.10

Zur Frage der Äquivalenz der verschiedenen Ensembles im thermodynamischen Limes zeigen wir nun noch, dass der grosskanonische Druck tatsächlich mit dem kanonischen übereinstimmt.

Der grosskanonische Druck ist ($\Omega = -pV$)

$$P_{g\text{-kan}}(\beta, \mu) = (V\beta)^{-1} \ln Z_{g\text{-kan}}(\beta, V, \mu). \quad (7.12)$$

Nun ist ja (siehe (I.9.3))

$$Z_{g\text{-kan}}(\beta, V, \mu) = \sum_{N=0}^{\infty} e^{\beta\mu N} Z_{\text{kan}}(\beta, V, N). \quad (7.13)$$

Da nach § I.10 im thermodynamischen Limes die Schwankungen von N verschwinden, wird für grosse V die Summe in (7.13) durch den maximalen Term dominiert (s. Laplace-Methode, 1. Übungsserie). Dieser gehört zu N_0 , wobei N_0 für grosse V proportional zu V wächst. Da die freie Energie $f(\beta, \mu)$ im thermodyn. Limes existieren soll, gilt

$$\lim_{V \rightarrow \infty} N_0^{-1} \ln Z_{\text{kan}}(\beta, V, N_0) = -\beta f(\beta, v) \quad (7.14)$$

$v = V/N_0 = \text{const}$

und auch das grosskanonische Potential $\omega(\beta, \mu)$ pro Teilchen existiert:

$$\begin{aligned} -\beta \omega(\beta, \mu) &:= \lim_{V \rightarrow \infty} \frac{-\beta \Omega(\beta, V, \mu)}{V} = \lim_{V \rightarrow \infty} V^{-1} \ln Z_{\text{g-kan}}(\beta, V, \mu) \\ &= v^{-1} [\beta \mu - \beta f(\beta, v)]. \end{aligned} \quad (7.15)$$

Wir erhalten also die richtige Beziehung zwischen der kanonischen freien Energie f und dem grosskanonischen Potential ω :

$$f(\beta, v) = \mu + v \omega(\beta, \mu). \quad (7.16)$$

Differenzieren wir diese Gleichung nach μ , so kommt

$$\frac{\partial \omega}{\partial \mu} = -v^{-1}, \quad (7.17)$$

was der Gl. $\langle N \rangle = -\frac{\partial \Omega}{\partial \mu}(\beta, V, \mu)$ in thermodyn. Linien entspricht, wenn wir $N_0 = v^{-1} V$ mit dem Mittelwert $\langle N \rangle$ identifizieren. Diese Gleichung definiert μ als Funktion von v und β .

Nach (7.12) ist

$$P_{\text{g-kan}}(\beta, \mu) = -\omega(\beta, \mu). \quad (7.18)$$

Außerdem ist der kanonische Druck mit (7.16) und (7.17), wenn wir rechts in (7.16) μ gemäss (7.17) als Funktion von β und v auffassen,

$$\begin{aligned} p_{\text{kan}} &= - \left(\frac{\partial f}{\partial v} \right)_{\beta} = - \left(\frac{\partial \mu}{\partial v} \right)_{\beta} - \omega - v \left(\frac{\partial \omega}{\partial \mu} \right)_{\beta} \left(\frac{\partial \mu}{\partial v} \right)_{\beta} \\ &= - \omega. \end{aligned}$$

Somit gilt $p_{\text{kan}}(\beta, \mu) = p_{\text{g-kan}}(\beta, \mu)$! Aus den Gl. (7.16) und (7.17) werden damit die bekannten thermodynamischen Beziehungen

$$\begin{aligned} f(\beta, v) &= \mu - v p(\beta, \mu), \\ \frac{\partial p}{\partial v}(\beta, \mu) &= v. \end{aligned} \tag{7.19}$$

Einige der Punkte in dieser Diskussion sind etwas heuristischer Natur, können aber streng begründet werden (Lee und Yang 1952).

* * *

8. Das Peierls - Argument für die Existenz eines Phasenübergangs

Das Peierls - Argument (1936) für eine nichtverschwindende spontane Magnetisierung des 2-dim. Ising - Modells in der strengen Ausgestaltung durch Griffiths (1964) ist ein schönes Beispiel dafür, wie auf die Existenz von Phasenübergängen ohne Kenntnis der expliziten Lösung des Modells geschlossen werden kann.

Wir behandeln das zweidimensionale Ising - Modell auf einem quadratischen Gitter \mathbb{Z}^2 mit der Wechselwirkung

$$H = -J \sum_{\langle ij \rangle} \sigma_i \sigma_j - h \sum_i \sigma_i. \quad (8.1)$$

Für ein endliches $\Lambda \subset \mathbb{Z}^2$ ist die Zustandssumme

$$Z_\Lambda(\beta, h) = \sum_{\{\sigma\}} e^{-\beta H_\Lambda(\{\sigma\})}, \quad (8.2)$$

wobei H_Λ die Hamiltonfunktion (8.1) für die endliche Teilmenge Λ ist. (Die Summationen erstrecken sich nur über Λ .) Die mittlere Magnetisierung pro Spin ist für das endliche System

$$\begin{aligned} m_\Lambda(\beta, h) &= \left\langle \frac{1}{|\Lambda|} \sum_{i \in \Lambda} \sigma_i \right\rangle \\ &= Z_\Lambda^{-1} \sum_{\{\sigma\}} \left(|\Lambda|^{-1} \sum_{i \in \Lambda} \sigma_i \right) e^{-\beta H_\Lambda(\{\sigma\})}. \end{aligned} \quad (8.3)$$

Die spontane Magnetisierung $m_0(\beta)$ ist

$$u_0(\beta) = \lim_{h \downarrow 0} \lim_{\Lambda \rightarrow \infty} u_\Lambda(\beta, h) \quad (8.4)$$

(erst der thermod. Limes und dann $h \downarrow 0$).

Wir betrachten nur den ferromagnetischen Fall $J > 0$.
Für die folgende Argumentation ist auch die Größe

$$\hat{u}_\Lambda(\beta, h) = \left\langle \frac{1}{|\Lambda|} \sum_{i \in \Lambda} \varepsilon_i \right\rangle^+ \quad (8.5)$$

wichtig, wobei $\langle \dots \rangle^+$ den thermischen Erwartungswert mit der "Plus-Randbedingung" bedeutet. Dies bedeutet, dass sich die Summe nur über Konfigurationen erstreckt, für die die ε_i auf dem Rand von Λ alle gleich +1 sind. Offensichtlich ist $\hat{u}_\Lambda(\beta, 0) \neq 0$ (s. unten).

Das Peierls-Argument besteht nun in den beiden folgenden Schritten:

(i) Zuerst wird eine Schranke der Art

$$\hat{u}_\Lambda(\beta, 0) \geq \alpha > 0 \quad \text{für } \beta \geq \beta_1 \quad (8.6)$$

establiert, wobei α unabhängig von $|\Lambda|$ ist.

(ii) Sodann wird ausgenutzt, dass die freie Energie f_Λ pro Spin konkav in h ist. [Diese letztere Eigenschaft folgt aus dem allgemeinen Sachverhalt in I.7.e.] Dies wird uns den Schluss auf $u_0(\beta) \geq \alpha$ für $\beta \geq \beta_1$ ermöglichen.

Zum Beweis von (8.6) konstruieren wir für jede Konfiguration mit der Plus-Randbedingung geschlossene

Polygone (oder Ränder), indem wir Linien zwischen ungleichen Spins ziehen (s. Fig.) Wenn sich zwei oder mehrere Polygone an einer Ecke berühren, so benennen wir diese, indem wir die Ecken gegenüber den Kreuz-Spins abschneiden (s. Fig.) Ein Polygon mit Umfang L (L Segmente) enthält höchstens $(L/4)^2$ Gitterplätze.

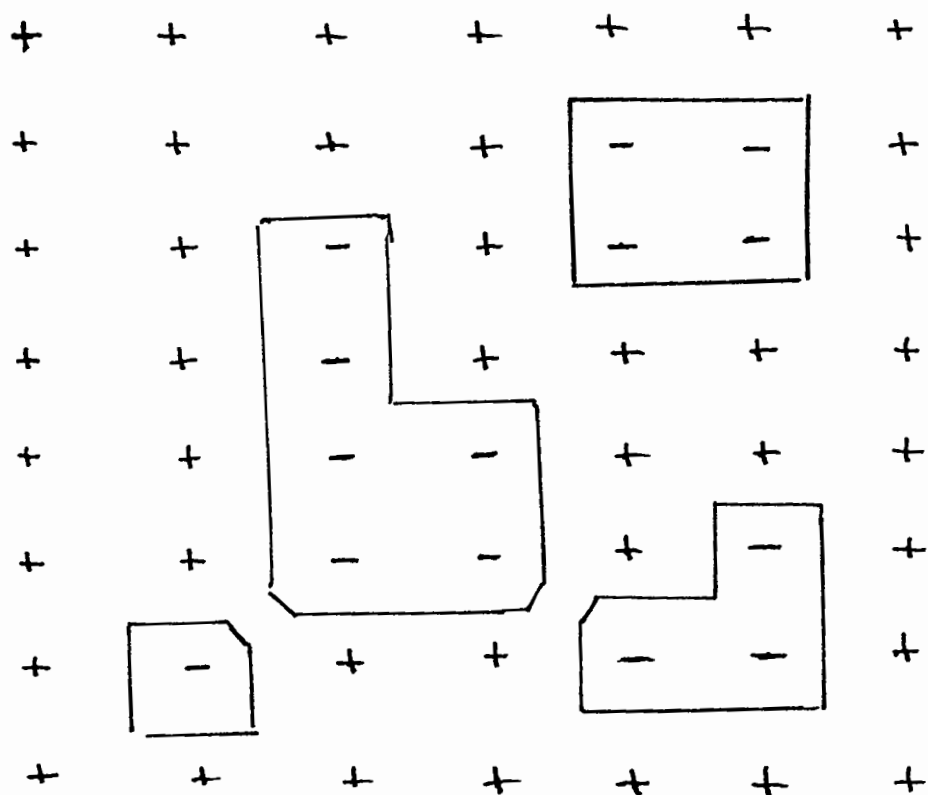


Fig. Typische Peierls-Polygone

Wir halten nun Λ fest und bezeichnen mit $n(L)$ die Anzahl der Polygone mit Umfang L , welche ^{sich} auf dem Gitter ($\in \Lambda$) ziehen lassen. Für das j -te Polygon dieser Sorte sei $X_j^{(i)}$ die folgende charakteristische Funktion auf den Konfigurationen:

$$x_L^{(j)}(\{\sigma\}) = \begin{cases} 1 & \text{falls das betreffende Polygon in } \{\sigma\} \text{ vorkommt} \\ 0 & \text{sonst.} \end{cases} \quad (8.7)$$

Damit lässt sich für eine gegebene Plus-Konfiguration $\{\sigma\}$ die Zahl $N_-(\{\sigma\})$ der Minus-Spins ($\sigma = -1$) folgendermaßen abschätzen:

$$N_-(\{\sigma\}) \leq \sum_{L=4,6,\dots} \left(\frac{L}{4}\right)^2 \sum_{j=1}^{n(L)} x_L^{(j)}(\{\sigma\}). \quad (8.8)$$

Da aber ($N=1\wedge 1$)

$$\frac{1}{N} \sum_{i \in \Lambda} \sigma_i = 1 - z N_-(\{\sigma\})/N, \quad (8.9)$$

so folgt aus (8.5) die Abschätzung

$$\hat{u}(\beta, 0) \geq 1 - \frac{z}{N} \sum_{L=3,4,\dots} \left(\frac{L}{4}\right)^2 \sum_{j=1}^{n(L)} \langle x_L^{(j)} \rangle^+_1. \quad (8.10)$$

Nun ist aber nach Definition

$$\langle x_L^{(j)} \rangle^+_1 = \sum_{\{\sigma\}}^+ e^{-\beta H(\{\sigma\})} / \sum_{\{\sigma\}}^+ e^{-\beta H(\{\sigma\})}, \quad (8.11)$$

wobei das Pluszeichen in \sum^+ die Restriktion auf Plus-Konfigurationen bedeutet und der Strich im Zähler andeuten soll, dass nur über Konfigurationen zu summieren ist, für welche das spezifizierte Polygon vorkommt.

Jetzt müssen wir wesentlich aus, dass in (8.1) nur natürliche Nachbarwechselwirkungen enthalten sind. Wir ordnen

jeder Konfiguration $\{\sigma\}$, in welcher das Polygon vorkommt, die Konfiguration $\{\sigma\}^*$ zu, indem wir überall innerhalb des Polygons σ_i durch $-\sigma_i$ eisezen. Für $h=0$ folgt aus (8.1)

$$H(\{\sigma\}) - H(\{\sigma\}^*) \geq L J. \quad (8.12)$$

Damit erhalten wir eine obere Schranke für (8.11), indem wir im Nenner die Konfigurationen auf diejenigen vom Typ $\{\sigma\}^*$ beschränken, was auf die grobe Abschätzung

$$\langle x_L^{(j)} \rangle^+ \leq e^{-2\beta J L} \quad (8.13)$$

führt, welche für das folgende ausreicht.

Schliesslich benötigen wir noch eine obere Schranke für $n(L)$. Bei der Konstruktion eines Polygons der Länge L können wir von irgend einem der N Gitterpunkte in Λ starten und ein erstes Segment zerdrücken. Darauf haben wir in jedem weiteren Schritt höchstens drei Möglichkeiten und somit gilt

$$n(L) \leq N 3^{L-1}. \quad (8.14)$$

Benutzen wir jetzt (8.13) und (8.14) in der Ungleichung (8.10), so folgt

$$\hat{m}_\lambda(\beta, 0) \geq 1 - \frac{1}{24} \sum_{L=0}^{\infty} L^2 [3e^{-2\beta J}]^L. \quad (8.15)$$

Iudem wir β genügend gross wählen, können wir die rechte Seite beliebig nahe an 1 bringen. Damit ist

die Abschätzung (8.6) bewiesen (mit einem α das unabhängig von Λ ist).

Nun bemerken wir, wie angekündigt, dass die freie Energie \hat{f}_Λ pro Gitterplatz für die Plus-Randbedingung konkav ist. Deshalb gilt mit (8.6)

$$\begin{aligned}\hat{f}_\Lambda(\beta, h) &\leq \hat{f}_\Lambda(\beta, 0) + h \frac{\partial \hat{f}_\Lambda}{\partial h}(\beta, 0) \\ &= \hat{f}_\Lambda(\beta, 0) - \hat{m}_\Lambda(\beta, 0)h \leq \hat{f}_\Lambda(\beta, 0) - \alpha h \quad \text{für } h > 0.\end{aligned}\tag{8.16}$$

Natürlich konvergiert auch \hat{f}_Λ gegen den thermodyn. Limes f von f_Λ . (Der Unterschied von \hat{f}_Λ und f_Λ besteht nur aus Oberflächenbeiträgen.) Damit gilt (8.16) auch für f :

$$f(\beta, h) \leq f(\beta, 0) - \alpha h ,$$

woraus $m_0(\beta) \geq \alpha$ folgt.

Bemerkung. Damit ist nur bewiesen, dass für genügend kleine Temperaturen die spontane Magnetisierung nicht verschwindet. Für die Existenz eines Phasenübergangs müsste man obengenommen noch zeigen, dass die spontane Magnetisierung für genügend hohe Temperaturen identisch verschwindet. Auf den Beweis dieser plausiblen Tatsache gehen wir nicht näher ein.

*

*

*

9. Korrelationsungleichungen, Anwendungen

Wir diskutieren in diesem Abschnitt die einfachsten Korrelationsungleichungen für Ising-ähnliche Systeme und einige ihrer wichtigsten Anwendungen.

In letzter Verallgemeinerung der in Abschnitt II.1B beschriebenen Spinsystemen wählen wir

$$H_\Lambda(\{S\}) = - \sum_{A \in \Lambda} J_A S^A \quad , \quad J_A \geq 0 \quad ,$$

mit

$$S^A = \prod_{i \in A} S_i \quad , \quad S_i \in \mathbb{R} \quad . \quad (9.1)$$

Die Zustandssumme für $\Lambda \subset \mathbb{Z}^d$ ist (vgl. mit (1.14))

$$Z_\Lambda(\beta) = \int e^{-\beta H_\Lambda(\{S\})} \prod_{i \in \Lambda} d\mu_i(S_i) \quad , \quad (9.2)$$

wobei die positiven Maße $d\mu_i$ über \mathbb{R} die Symmetriegesetze $d\mu_i(S) = d\mu_i(-S)$ erfüllen sollen. Für den Erwartungswert einer Observablen F (Funktion auf dem Konfigurationsraum) haben wir wie immer

$$\langle F \rangle_\Lambda = Z_\Lambda^{-1} \int F(\{S\}) e^{-\beta H_\Lambda(\{S\})} d\mu_\Lambda(\{S\}) \quad , \quad (9.3)$$

wobei $d\mu_\Lambda$ das Produkt mass der $\{d\mu_i\}_{i \in \Lambda}$ auf dem Konfigurationsraum \mathbb{R}^Λ ist.

Die folgende Fluktuationssbeziehung ist unmittelbar einzusehen:

$$\frac{1}{\beta} \frac{\partial}{\partial J_B} \langle S^A \rangle = \langle S^A S^B \rangle - \langle S^A \rangle \langle S^B \rangle \quad . \quad (9.4)$$

Bsp. Für das Ising-Modell

$$H = - \sum_{\langle i,j \rangle} J_{ij} \sigma_i \sigma_j - h \sum_j \sigma_j, \quad \sigma_i = \pm 1$$

(d.h. $J_A = h$ für $A = \{i\}$, $J_A = J_{ij}$ für $A = \langle ij \rangle$ und Null sonst) gilt für die Suszeptibilität

$$\chi_\Lambda(\beta, h) = \frac{\partial}{\partial h} \left\langle \frac{1}{|\Lambda|} \sum_{i \in \Lambda} \sigma_i \right\rangle = \beta |\Lambda|^{-1} \sum_{ij} G_\Lambda(i, j) \quad (9.5)$$

mit der Korrelationsfunktion

$$G_\Lambda(i, j) = \left\langle \sigma_i \sigma_j \right\rangle_\Lambda - \left\langle \sigma_i \right\rangle_\Lambda \left\langle \sigma_j \right\rangle_\Lambda. \quad (9.6)$$

Wir beweisen im folgenden die beiden GKS-Ungleichungen (nach Griffiths, Kelly und Sherman):

$$(I) \quad \left\langle S^A \right\rangle_\Lambda \geq 0, \quad (9.7)$$

$$(II) \quad \left\langle S^A S^B \right\rangle_\Lambda \geq \left\langle S^A \right\rangle_\Lambda \left\langle S^B \right\rangle_\Lambda. \quad (9.8)$$

Zuvor wollen wir aber wirkliche Anwendungen besprechen, um die Nützlichkeit dieser Ungleichungen zu demonstrieren.

Existenz von Phasenübergängen

Aus (9.4) und (9.8) ergibt sich

$$\frac{\partial}{\partial J_B} \left\langle S^A \right\rangle \geq 0. \quad (9.9)$$

Behalten wir z.B. wieder das Ising-Modell, so impliziert dies, dass die magnetisierung M_Λ pro Spin bei festem Λ in allen

Kopplungskonstanten monoton zunehmend ist. Vergleichen wir also zwei Modelle, bei denen das zweite aus dem ersten durch zusätzliche ferromagnetische Kopplungen hervorgeht, so gilt die Ungleichung $u_A^{(1)} \leq u_A^{(2)}$, was auch in thermodynamischen Limes und sodann im Limes $\lim_{T \rightarrow 0}$ gültig bleibt. Falls also das erste System einen Phasenübergang hat, dann auch das zweite. Insbesondere können wir aus der Existenz eines Phasenübergangs für das zweidimensionale Ising-Modell auf die Existenz eines Phasenübergangs für $d \geq 2$ schließen, wobei zusätzlich für die kritischen Temperaturen auf

$$T_c^{d>2} \geq T_c^{d=2}$$

geschlossen werden kann. Indem wir ferner auch bei festem d weitere ferromagnetische Kopplungen (überwichtige Nachbarschaft, etc.) einführen, wird die spontane Magnetisierung erhöht.

Monotonie

Weitere Observable, welche Monotonieeigenschaften zeigen, sind die mittlere Energie $\langle H \rangle = - \sum_A J_A \langle S^A \rangle$ und die freie Energie, da $\partial f / \partial J_B = - \langle S^B \rangle / |\Lambda|$ (beide nehmen ab). Ferner nehmen Korrelationsfunktionen und die magnetische Suszeptibilität mit wachsender Temperatur ab, da alles von βJ_A abhängt. Damit nimmt auch die Entropie s pro Spin mit J_B ab, da

$$\frac{\partial s}{\partial J_B} = - \frac{\partial}{\partial J_B} \frac{\partial f}{\partial T} = \frac{1}{|\Lambda|} \frac{\partial}{\partial T} \langle S^B \rangle \leq 0. \quad (9.10)$$

Thermodynamischer Limes von Korrelationsfunktionen

Au^sser f^ur hohe Temperaturen (oder kleine Dichten) ist es i.a. schwierig, die Existenz des thermodynamischen Limes f^ur Korrelationsfunktionen zu beweisen. Wir zeigen nun, dass die GKS-Ungleichung (II) f^ur Ising-Maddie mit ferromagnetischer Kopplung und "freien" Randbedingungen dies unmittelbar impliziert. Tabakloch gilt einmal

$$\langle S^B \rangle_{\Lambda'} \leq \langle S^B \rangle_{\Lambda} \quad \text{f^ur } \exists \subset \Lambda' \subset \Lambda, \quad (9.11)$$

da $H_{\Lambda'}$ als Hamiltonfunktion f^ur das System mit Volumen Λ' aufgefasst werden kann, in welcher alle J_A verschwunden, f^or die A nicht in Λ' enthalten s^t. H_{Λ} erhält man daraus durch Einschalten gewisser ferromagnetischer Kopplungen, weshalb die Behauptung (9.11) aus der oben begründeten Monotonie folgt. f^ur Ising-Spins ist zudem $\langle S^B \rangle \leq 1$, womit die Konvergenz gezeigt s^t.

Beweise der GKS-Ungleichungen:

Der Beweis von GKS(I) ist fast trivial. Wir haben

$$\langle S^A \rangle_{\Lambda} = Z_{\Lambda}^{-1} \sum_{n=0}^{\infty} \frac{1}{n!} \int_{\Omega_{\Lambda}} S^A \left(\sum_{B \subset \Lambda} J_B S^B \right)^n d\mu_{\Lambda}. \quad (9.12)$$

Nun ist Z_{Λ} positiv und ferner gilt wegen der Symmetrieeschafft der Massen $d\mu_j$

$$\sum_{i \in A \cap \Lambda} S_i^{n_i} \prod_{j \in \Lambda} d\mu_j(S_j) \geq 0 ,$$

d.h. alle Terme in (9.12) sind ≥ 0 .

GKS(II) ist etwas weniger einfach zu beweisen. Am einfachsten gelingt dies mit einem Trick von Fröhleke (1920), bei dem man das System zusammen mit einem Dublikat betrachtet, dessen Variablen wir mit S'_i bezeichnen. Es sei

$$\langle\langle F \rangle\rangle_\lambda = Z_\lambda^{-2} \int e^{-\beta H_\lambda(\{S\}) - \beta H_\lambda(\{S'\})} F(\{S\}, \{S'\}) d\mu_\lambda(\{S\}) d\mu_\lambda(\{S'\}). \quad (9.13)$$

Offensichtlich gilt

$$2 [\langle\langle S^A S^B \rangle\rangle_\lambda - \langle\langle S^A \rangle\rangle_\lambda \langle\langle S^B \rangle\rangle_\lambda] = \langle\langle (S^A - S'^A)(S^B - S'^B) \rangle\rangle_\lambda. \quad (9.14)$$

Da $H_\lambda(\{S\}) + H_\lambda(\{S'\})$ ferromagnetisch ist, folgt aus GKS(I) $\langle\langle S^A S'^B \rangle\rangle \geq 0$. Schreibt man die rechte Seite von (9.14) aus, so zeigt sich sofort, dass es genügt, die folgenden Ungleichungen zu beweisen

$$\langle\langle \prod_{i=1, \dots, N} (S_i^+)^{n_i} \prod_{j=1, \dots, M} (S_j^-)^{m_j} \rangle\rangle_\lambda \geq 0 , \quad (9.15)$$

wobei

$$S_i^+ + S_i^- = S_i , \quad S_i^+ - S_i^- = S'_i .$$

($S^A - S'^A$ ist in den S_i^+, S_i^- ein Polynom mit positiven Koeffizienten.) Nun folgt aus der Symmetrie der Basis in (9.15), dass die linke Seite in (9.15) verschwindet, wenn n_i oder m_j ungerade sind. Eine nicht-negative Größe re-

sukzessiv natürlich, wenn beide gerade sind.

Ergänzung: Aus (9.5) und (9.6) folgt im Kausalkorrelationsinvariante Fall, $J_{ij} = J(|i-j|)$, dass

$$\chi_\lambda(\beta, h) = \beta \sum_{j \in \Lambda} (\langle \sigma_0 \sigma_j \rangle_\lambda - \langle \sigma_0 \rangle_\lambda^2) \quad (9.16)$$

und deshalb gilt im thermodynamischen Limes

$$\chi(\beta, h) = \beta \sum_{j \in \mathbb{Z}^d} G(j). \quad (9.17)$$

Solange χ beschränkt ist muss gelten: $G(j) \xrightarrow{(j \rightarrow \infty)} 0$, d.h. $\langle \sigma_i \sigma_j \rangle \xrightarrow{(j \rightarrow \infty)} \langle \sigma_0 \rangle^2$.

Weiter über Korrelations-Gleichungen findet man in J. Glimm, A. Jaffe, "Quantum Physics", Springer-Verlag, 2. Auflage 1987.

* * *

10. Phasenübergänge für Spinnmodelle

In diesem Abschnitt zeigen wir, dass für Spinnmodelle ($O(n)$ -Modelle) in $d \geq 3$ Phasenübergänge stattfinden, mit denen Symmetriebrechungen verbunden sind. In zwei Dimensionen ist dies nur für Ising-Spins der Fall, während es für S^{n-1} -wertige Spins mit $n > 1$ keinen Phasenübergang gibt. Dieses Theorem von Kesten und Wagner werden wir in § III.11 auch für den quantenmechanischen Fall beweisen.

Wir betrachten etwas allgemeiner \mathbb{R}^n -wertige Spins $\vec{\phi}_x$, $x \in \mathbb{Z}^d$, mit der Hamiltonfunktion zu $\Lambda \subset \mathbb{Z}^d$

$$H_\Lambda = - \sum_{\langle x,y \rangle \subset \Lambda} \vec{\phi}_x \cdot \vec{\phi}_y - \sum_{x \in \Lambda} \vec{h} \cdot \vec{\phi}_x. \quad (10.1)$$

Die Verteilung $d\varrho(\vec{\phi})$ für einen einzelnen Spin falle stärker ab als jede Gauss-Funktion:

$$\int e^{-\alpha |\vec{\phi}|^2} d\varrho(\vec{\phi}) < \infty.$$

Beispiele für $d\varrho$ sind

$$d\varrho(\vec{\phi}) = e^{-P(|\vec{\phi}|)} d^n \phi, \quad P \text{ ein Polynom},$$

$$d\varrho(\vec{\phi}) = \delta(|\vec{\phi}|^2 - 1) d^n \phi. \quad (10.2)$$

Der Gleichgewichtszustand für das endliche Gebiet Λ ist wie immer

$$d\mu_\Lambda = Z_\Lambda^{-1} e^{-\beta H_\Lambda} \prod_{x \in \Lambda} d\varrho(\vec{\phi}_x), \quad (10.3)$$

Wobei natürliche Z_λ so gewählt ist, dass $\rho\mu_\lambda$ ein W-Mass ist:

$$Z_\lambda = \int e^{\beta H_\lambda(\phi)} \prod_{x \in \Lambda} d\phi(\vec{\phi}_x). \quad (10.4)$$

(Hier ϕ bezeichneten wir eine Konfiguration, d.h. eine Abbildung $\phi: \Lambda \rightarrow \mathbb{R}^4$, $x \in \Lambda \mapsto \vec{\phi}_x$.) Erwartungswerte mit $\rho\mu_\lambda$ werden mit $\langle \dots \rangle$ bezeichnet. Für das endliche System wählen wir periodische Randbedingungen (Torus). Die Existenz des thermodynamischen Limes beweisen wir hier nicht.

In folgenden spielt die Zweipunktfunktion

$$S(x) = \langle \vec{\phi}_0 \cdot \vec{\phi}_x \rangle \quad (10.5)$$

eine wesentliche Rolle. Im unendlichen Volumen ist dies eine Funktion von positivem Typ auf \mathbb{Z}^d , d.h. für jede Funktion $f: \mathbb{Z}^d \rightarrow \mathbb{C}$, die nur auf endlich vielen $x \in \mathbb{Z}^d$ nicht verschwindet gilt

$$\sum_{x,y} S(x-y) f^*(x) f(y) \geq 0.$$

In der Tat ist die Summe links gleich

$$\langle \vec{\Phi}(f)^*, \vec{\Phi}(f) \rangle \quad , \quad \vec{\Phi}(f) := \sum_x \vec{\phi}_x f(x).$$

Nach dem Satz von Bochner^{*)} (-Herglotz) ist dann $S(x)$ die Fourier-Transformierte eines positiven Masses \hat{S} auf dem Torsus $T^d = \mathbb{R}^d / 2\pi \mathbb{Z}^d$.

^{*)} Siehe dazu: W. Schenupp, B. Dresler, "Einführung in die harmonische Analyse", Teubner, 1980, speziell S. 82; oder Skript HMQN.

Für den an interessierenden Gebrauch sei noch folgendes festgehalten. T^d ist die duale Gruppe von \mathbb{Z}^d und ungedeutet. Die Charaktere der Torsionsgruppe T^d sind von der Form

$$\chi_u(k) = e^{2\pi i u \cdot k}, \quad u \in \mathbb{Z}^d$$

(k sind dabei die Standardkoordinaten von T^d mod 2π). Die Fouriertransformation

$$f \in L^1(\mathbb{Z}^d) \mapsto \hat{f}(k) = \sum_{x \in \mathbb{Z}^d} f(x) e^{-ik \cdot x} \quad (10.6)$$

hat unter gewissen Umständen die Umkehrung

$$\begin{aligned} f(x) &= \int_{T^d} \hat{f}(k) \chi_x(k) \frac{dk}{(2\pi)^d} \\ &= \int_{T^d} \hat{f}(k) e^{ik \cdot x} \frac{dk}{(2\pi)^d}. \end{aligned} \quad (10.7)$$

Jedenfalls vermitteln (10.6) und (10.7) zueinander inverse Hilbertraum-Isomorphismen zwischen $L^2(T^d)$ und $l^2(\mathbb{Z}^d)$ (Riesz-Fischer; siehe ebenfalls das oben zitierte Buch).

10.1 Infrarotschranken und die Existenz von Phasenübergängen

Der Beweis für Phasenübergänge beruht nun auf der folgenden Infrarotschranke (Fröhlich, Simon und Spencer, 1976):

Das Mass $d\hat{S}(p)$ [$S(x) = \int_{T^d} e^{ip \cdot x} d\hat{S}(p)$] erfüllt für eine gewisse Konstante c die Ungleichungen

$$0 \leq d\hat{S} - c \delta^d \leq \frac{n}{4\beta \sum_{\alpha=1}^d \sin^2(\frac{\pi x_\alpha}{2}))} \frac{dp}{(2\pi)^d}. \quad (10.8)$$

Bemerkung: Würden wir den Gitterabstand gleich ε (statt 1) wählen, so würden wir in dieser Schranke $\varepsilon^{-2} \sin^2(\varphi_{\alpha/2})$ statt $\sin^2(\varphi_{\alpha/2})$ erhalten; im Limes $\varepsilon \downarrow 0$ würde sich dann die rechte Seite in (10.8) wie $1/\varepsilon^2$ verhalten.

Den Beweis von (10.8) stellen wir zwisch und ziehen zuerst die Konsequenzen. Es interessiert uns zunächst, ob das System bei genügend hohen Temperaturen für $\vec{h}=0$ eine langreichweitige Ordnung hat. Dazu betrachten wir den Limes der Korrelationsfunktion

$$\langle \vec{\Phi}_0 \cdot \vec{\Phi}_x^\top \rangle := \langle \vec{\Phi}_0 \cdot \vec{\Phi}_x \rangle - \langle \vec{\Phi}_0 \rangle \cdot \langle \vec{\Phi}_x \rangle \quad (10.9)$$

für $|x| \rightarrow \infty$. Wenn \vec{h} verschwindet gilt natürlich für das endliche System $\langle \vec{\Phi} \rangle = 0$ und dies bleibt so im thermodynamischen Limes. Deshalb haben wir

$$\begin{aligned} \lim_{|x| \rightarrow \infty} \langle \vec{\Phi}_0 \cdot \vec{\Phi}_x^\top \rangle &= \lim_{|x| \rightarrow \infty} \int e^{i \vec{p} \cdot \vec{x}} \Delta^1(p) \\ &= c + \lim_{|x| \rightarrow \infty} \int (\Delta^1(p) - c \delta^d(p)) e^{i \vec{p} \cdot \vec{x}} = c. \end{aligned}$$

Das lebte Gleichheitszeichen gilt da die rechte Seite von (10.8) integrierbar ist und deshalb verschwindet nach dem Riemann-Lebesgue-Lemma der zuletzt aufgeschilderte Limes. Also gilt

$$\lim_{|x| \rightarrow \infty} \langle \vec{\Phi}_0 \cdot \vec{\Phi}_x^\top \rangle = c \quad (\text{für } \vec{h}=0). \quad (10.10)$$

Nun möchten wir natürlich wissen, ob c für genügend

tiefe Temperaturen nicht verschwindet. Dann bilden wir

$$\begin{aligned} S(0) - c &= \int d\vec{S}(p) - c \\ &\stackrel{(10.8)}{\leq} \frac{n}{\beta} \int_{Td}^{Td} \frac{1}{4 \sum_{\alpha=1}^d \sin^2(\frac{k\alpha}{2})} \frac{dp}{(2\pi)^d} < 1 \end{aligned} \quad (10.11)$$

für β genügend gross und $d \geq 3$! Falls $\vec{\Phi}_x \in S^{n-1}$ bedeutet dies $1 - c < 1 \Rightarrow c > 0$. Der Limes von (10.10) verschwindet deshalb nicht!

Angenommen, wir können zeigen, dass für $h_1 > 0$ in $\vec{h} = (h_1, 0, \dots, 0)$ der Limes in (10.10) verschwindet, dann gilt wegen der Translationsinvarianz

$$\lim_{|x| \rightarrow \infty} S(x) = \langle \vec{\Phi}_0 \rangle_h^2.$$

Andererseits ist die linke Seite mit den gleichen Argumenten wie oben gleich $c(h)$, d.h. es gilt

$$\langle \vec{\Phi}_0 \rangle_h^2 = c(h) \neq 0. \quad (10.12)$$

Die Konstante $c(h)$ können wir einsetzen in h_1 , nach unten begrenzen. Tabadilis gilt nach (10.11) für genügend grosse β : $1 - c(h) \leq 1 - \bar{c}$, $\bar{c} > 0 \Rightarrow c(h) > \bar{c}$. Deshalb haben wir eine spontane Magnetisierung

$$\lim_{h_1 \downarrow 0} \langle \vec{\Phi}_x \rangle_h \neq 0, \quad (10.13)$$

d.h. die $O(n)$ -Symmetrie ist spontan gebrochen.

Die Voraussetzung in dieser Argumentation kann für $n=1, 2, 3$ bewiesen werden (Lee, Yang, Dunlop). Wir gehen aber davon nicht weiter ein.

Was bedeutet für $\tilde{h}=0$ die Eigenschaft (10.10) mit $c \neq 0$? Wir behaupten, dass dann keine reelle Phase vorliegt, d.h. der Zustand des unendlichen Systems ist nicht extremal. Leider können wir dies hier nicht im Einzelnen ausführen. Für Interessierte gebe ich aber die folgenden Hinweise auf das Buch von Glimm und Jaffe: 1) Konsultiere § 10.4, § 7.10, in denen die sog. Reflexionspositivität gezeigt wird. 2) Darauf kann man allgemein die Transfermatrix konstruieren (GJ, § 6.1). 3) Ein Zustand des unendlichen Systems ist extremal (\Leftrightarrow ergodisch bez. den Gittertransformationen) genau dann, wenn der Grundzustand der Transfermatrix eindeutig ist (GJ, § 19.2). In diesem Fall verschwindet aber die Korrelationsfunktion (GJ, § 16.1).

10.2 Herleitung der Infrastruktur aus der Gradientenstruktur

Wir führen zuerst einige Bezeichnungen und Begriffe ein. Für eine Funktion $f: \mathbb{Z}^d \rightarrow \mathbb{R}$ definieren wir die Gradienten,

$$\begin{aligned} (\partial_\alpha f)(x) &= f(x+e_\alpha) - f(x), \\ (\partial_\alpha^\ast f)(x) &= f(x-e_\alpha) - f(x), \end{aligned} \quad (10.14)$$

wobei e_α der Einheitsvektor in Richtung α ist ($\alpha=1, \dots, d$). Für das ℓ^2 -Skalarprodukt gilt offensichtlich

$$\langle \partial_\alpha^* f, g \rangle = \langle f, \partial_\alpha^* g \rangle. \quad (10.15)$$

Der Laplace-Operator auf dem Gitter ist definiert durch

$$-\Delta = \sum_{\alpha=1}^d \partial_\alpha^* \partial_\alpha = \sum_{\alpha=1}^d \partial_\alpha \partial_\alpha^* ; \quad (10.16)$$

also ist

$$(\Delta h)(x) = \sum_{\alpha=1}^d (h(x+e_\alpha) + h(x-e_\alpha) - 2h(x)). \quad (10.17)$$

Dies führt zum richtigen Kontinuumsschema.

Lemma: Es seien \vec{h}_α ($\alpha=1, \dots, d$) \mathbb{R}^4 -wertige Funktionen auf dem Gitter, welche in $l^2(\mathbb{Z}^d)$ liegen, $h = \{\vec{h}_\alpha\} \in l^2(\mathbb{Z}^{nd})$. Dann gilt

$$\left\langle \exp\left(\sum_{\alpha=1}^d \vec{\Phi} \cdot \partial_\alpha \vec{h}_\alpha\right) \right\rangle \leq \exp\left(\frac{1}{2\beta} \|h\|_{l^2}^2\right), \quad (10.18)$$

wobei

$$\|h\|_{l^2}^2 = \sum_{x,\alpha} |\vec{h}_\alpha(x)|^2. \quad (10.19)$$

Zum Beweis dieses Lemmas stellen wir zuerst und letzten davon zuerst die Infrastruktur (10.8) ab. Dazu ersetzen wir h in (10.18) durch εh und bemerkten $\langle \vec{\Phi} \cdot \partial_\alpha \vec{h} \rangle = 0$ als Folge der Translationsinvarianz. Entwickeln wir sodann bis zur Ordnung ε^2 , so ergibt sich

$$\left\langle \left[\vec{\Phi} \cdot \sum_{\alpha=1}^d \partial_\alpha \vec{h}_\alpha \right]^2 \right\rangle \leq \frac{1}{\beta} \|h\|_{l^2}^2. \quad (10.20)$$

Nun wählen wir speziell $\vec{h}_\alpha = \partial_\alpha^* (-\Delta)^{-1/2} f \vec{\gamma}_+$, wo $\vec{\gamma}_+$

einer der n -Standardbasisvektoren im Spurraum \mathbb{R}^4 ist.
Dann erhalten wir aus (10.20) nach Summation über $+$
- wie wir gleich näher begründen werden -

$$\langle \vec{\Phi}(f) \cdot \vec{\Phi}(-\Delta f) \rangle \leq \frac{n}{\beta} \|f\|_{\ell^2}^2, \quad (10.21)$$

wo $\vec{\Phi}(f) = \sum_{x \in \mathbb{Z}^d} \vec{\Phi}(x) f(x)$. Auf der rechten Seite erhalten wir tatsächlich mit (10.15)

$$\begin{aligned} \frac{1}{\beta} n \langle \partial_\alpha^* (-\Delta)^{-1/2} f, \partial_\alpha^* (-\Delta)^{-1/2} f \rangle &= \frac{n}{\beta} \underbrace{\langle (-\Delta)^{-1/2} f, \partial_\alpha \partial_\alpha^* (-\Delta)^{-1/2} f \rangle}_{-\Delta} \\ &= \frac{n}{\beta} \|f\|_{\ell^2}^2. \end{aligned}$$

Auf der linken Seite benutzen wir als Folge der Translationsinvarianz

$$\langle \vec{\Phi}(\partial_\alpha f) \cdot \vec{\Phi}(g) \rangle = \langle \vec{\Phi}(f) \cdot \vec{\Phi}(\partial_\alpha^* g) \rangle$$

(Übung). Dann wird aus der linken Seite von (10.20) nach Summation über $+$ ($g := (-\Delta)^{-1/2} f$)

$$\begin{aligned} \underbrace{\langle \vec{\Phi}(\partial_\alpha \partial_\alpha^* g) \cdot \vec{\Phi}(\partial_\beta \partial_\beta^* g) \rangle}_{-\Delta} &= \langle \vec{\Phi}((- \Delta)^{1/2} f) \cdot \vec{\Phi}((- \Delta)^{1/2} f) \rangle \\ &= \langle \vec{\Phi}(f) \cdot \vec{\Phi}(-\Delta f) \rangle. \end{aligned}$$

Jetzt schreiben wir (10.21) in Impulsraum aus. Dazu benötigen wir die Darstellung

$$\langle \vec{\Phi}_x \cdot \vec{\Phi}_y \rangle = \int_{\mathbb{T}^d} e^{ip \cdot (x-y)} d\hat{\Sigma}(p) \quad (10.22)$$

sowie die Formel für die Fouriertransformation des Laplace-Operators

$$(-\hat{\Delta})(p) = - \sum_{\alpha=1}^d (1 - \cos p_\alpha).$$

(Diese Formel findet man sofort aus (10.17); Übung.) Daraus lautet (10.21)

$$\int_{T^d} \sum_{\alpha=1}^d (1 - \cos p_\alpha) |\hat{f}(p)|^2 d\hat{S}(p) \leq \frac{n}{2^\beta} \int_{T^d} |\hat{f}(p)|^2 \frac{dp}{(2\pi)^d}$$

für alle $\hat{f} \in L^2(T^d)$. Daraus hat die Lebesgue-Zerlegung des Masses $d\hat{S}$ die Form

$$d\hat{S}(p) = c \delta(p) + \rho(p) \frac{dp}{(2\pi)^d}, \quad (10.23)$$

wobei für den absolut stetigen zweiten Term die Ungleichungen

$$0 \leq \rho(p) \leq \frac{n}{4\beta \sum_{\alpha} \sin^2(p_\alpha/2)} \quad (10.24)$$

gucken. Daraus ist die Infrarotschwäche aus dem Lemma abgeleitet.

10.3 Beweis des Lemmas

Es genügt, das Lemma (die Ungl. (10.18)) auf dem periodischen Gitter (Torus) Λ zu beweisen, da sich daraus die Behauptung im unendlichen Volumenlimit ergibt. Um nicht unnötige Indizes schreiben zu müssen, sei jetzt $n=1$ gewählt.

Wir müssen zeigen, dass

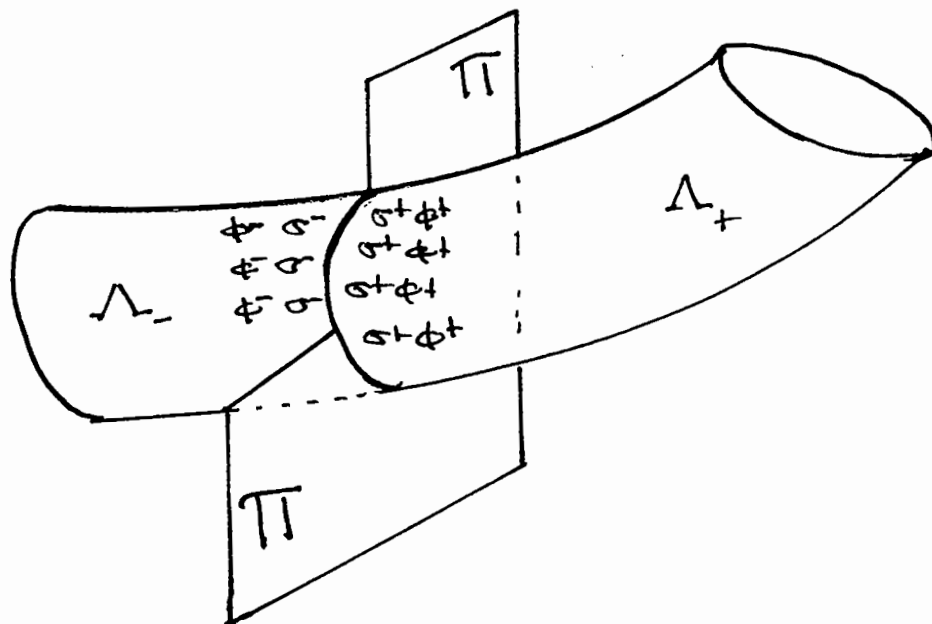
$$1 \geq \left\langle \exp \left(\sum_{\alpha=1}^d \phi(\partial_\alpha h_\alpha) \right) e^{-\frac{1}{2^\beta} \|h\|^2} \right\rangle =$$

$$= \frac{\int \exp\left[-\sum_{x,\alpha} \beta_z (\phi_x - \phi_{x-e_\alpha} + \beta^{-1} h(x))^2\right] \prod_{y \in \Lambda} d\varrho(\phi_y)}{\int \exp\left[-\sum_{x,\alpha} \beta_z (\phi_x - \phi_{x-e_\alpha})^2\right] \prod_{y \in \Lambda} d\varrho(\phi_y)}. \quad (10.25)$$

Hier haben wir den linearen Term im Magnetfeld in (10.1) in den $d\varrho(\phi_y)$ eingeschlossen. $Z[h]$ berechnet den Zähler in (10.25). Zu zeigen ist also die "dramatische Ungleichung"

$$Z[h] \leq Z[0]. \quad (10.26)$$

Dies beweisen wollen wir nun dadurch, dass wir $h(x)$ systematisch abbauen. In einem ersten Schritt wählen wir eine Hyperebene Π , welche den Torus durchschneidet (s. Fig.). Die Spins werden in vier Teilmengen ϕ^\pm, σ^\pm unterteilt:



Die Spins σ^+ und σ^- koppeln durch Π ; die Spins $\{\phi^+, \sigma^+\}$ sind alle Spins in $\Lambda_+ = \Lambda \cap \Pi_+$, etc.

Nach Integration über die ξ^\pm hat $Z[h]$ die Form

$$Z[h] = \int \exp \left[-\frac{\beta}{2} \sum \left(\sigma_x^+ - \sigma_{x'}^- + \frac{h(x)}{\beta} \right)^2 \right] f(\xi^+) g(\xi^-) \prod_{x, x'} d\sigma_x^+ d\sigma_x^- . \quad (10.27)$$

Nun gilt allgemein* im \mathbb{R}^4

$$\begin{aligned} \langle FG \rangle_\beta &:= \int F^*(x) e^{-\beta(x-y)^2/2} G(y) d\mu(x) d\mu(y) \\ &= \int \widehat{\mu F}(p)^* e^{-\beta^2/2} \widehat{\mu G}(p) dp \end{aligned}$$

und

$$\begin{aligned} &\left| \int F^*(x) e^{-\beta(x-y+h)^2/2} G(y) d\mu(x) d\mu(y) \right| \\ &= \left| \int \widehat{\mu F}(p)^* e^{iph} \widehat{\mu G}(p) dp \right| \\ &\leq |\langle FG \rangle_\beta| \leq \|F\|_p^{1/2} \|G\|_p^{1/2}. \end{aligned}$$

Wenden wir dies auf (10.27) an, so kommt

$$Z[h] \leq (Z[h_-, \theta h_-])^{1/2} (Z[h'_+, \theta h'_+])^{1/2}. \quad (10.28)$$

Dabei bedeutet θ die Reflexion an $\Gamma\Gamma$ und h'_+ bedeutet die $h(x)$ in Λ_+ ohne die zunächst an $\Gamma\Gamma$ gelegenen.

Nun kann man das Verfahren iterieren und nacheinander alle h 's loswerden. Damit ist das Lemma bewiesen.

* Auch für die Fourier-Stieltjes-Transformation gilt die Parseval-Identität (siehe Fußnote auf S. 86; speziell auf p. 108 des zitierten Buches).

10.4 Unmöglichkeit von kontinuierlichen Symmetriebrechung für $d=2$

Nach dem Hohenberg - Kramers - Wannier Theorem gibt es in zwei Dimensionen keine spontane Symmetriebrechung einer kontinuierlichen Symmetriegruppe. Der Gleichgewichtszustand ist unter sehr allgemeinen Voraussetzungen eindeutig und damit invariant unter der zugrunde liegenden Liechten Symmetriegruppe.

Wir beweisen hier eine Form des Theorems, welche auf Mc Bryan und Spencer (1977) zurückgeht. Der Einfachheit halber beschränken wir uns auf das Rotationsmodell

$$H = - \sum_{\langle i,j \rangle} \vec{s}_i \cdot \vec{s}_j , \quad \vec{s}_i \in S^1. \quad (10.29)$$

Stellen wir die Spinsvektoren in der Form $\vec{s}_i = (\cos \theta_i, \sin \theta_i)$ dar, so haben wir auch

$$H = - \sum_{\langle i,j \rangle} \cos(\theta_i - \theta_j). \quad (10.30)$$

Der folgende Satz deutet stark darauf hin, dass es keine Phasenübergänge 1. Ordnung gibt.

Satz: Zu $\varepsilon > 0$ existiert $\beta(E) < \infty$, so dass für $\beta > \beta(E)$

$$0 \leq \langle \vec{s}_k \cdot \vec{s}_l \rangle \leq |k-l|^{-(1-\varepsilon)/2\pi} \beta. \quad (10.31)$$

Beweis: Die Ungleichung (9.8), lässt sich ähnlich auch für mehrkomponentige Spins beweisen. Insbesondere gilt

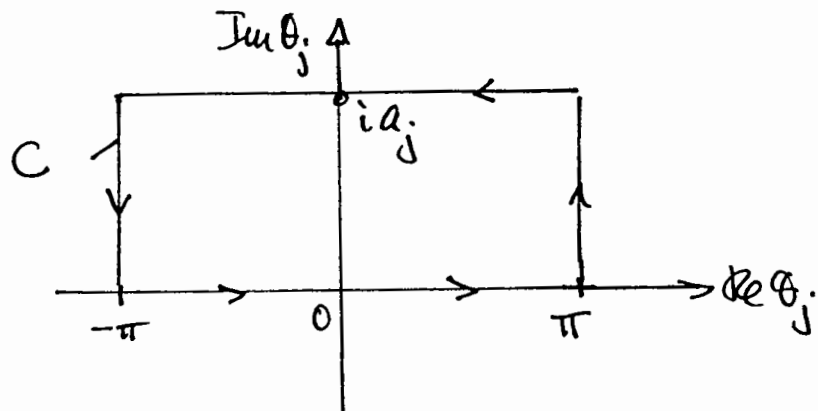
$$0 \leq \langle \vec{\sigma}_i \cdot \vec{\sigma}_j \rangle - \langle \vec{\sigma}_i \rangle \langle \vec{\sigma}_j \rangle \quad (10.32)$$

(siehe Glümm und Jaffe, §4.2). Daraus folgt das 1. Ungleichheitszeichen in (10.31). Um die obere Schranke zu beweisen bemerkten wir die folgende Darstellung

$$\begin{aligned} \langle \vec{\sigma}_k \cdot \vec{\sigma}_l \rangle &= \operatorname{Re} Z^{-1} \int_{-\pi}^{+\pi} \dots \int_{-\pi}^{+\pi} \exp \left[\beta \sum_{ij} \cos(\theta_i - \theta_j) \right] \\ &\quad \times \exp [i(\theta_k - \theta_l)] \prod_i d\theta_i. \end{aligned} \quad (10.33)$$

Dabei ist ein endliches Gitter angenommen und wir zeigen im folgenden den Befall (10.31) gleichmässig in der Größe des Gitters.

Der Integrand in (10.33) ist analytisch und periodisch in den $\theta_1, \theta_2, \dots$. Jedes θ_j -Integral über die geschlossene Kurve C :



verschwindet deshalb. Wegen der Periodizität heben sich die seitlichen Beiträge ($\operatorname{Re} \theta_j = \pm \pi$) weg und wir können deshalb einfach in (10.33) θ_j durch $\theta_j + i\alpha_j$ ersetzen. Da dabei $\cos(\theta_i - \theta_j) \rightarrow \cos(\theta_i - \theta_j) \cosh(\alpha_i - \alpha_j) - i \sin(\theta_i - \theta_j) \sinh(\alpha_i - \alpha_j)$ gilt dies

$$\begin{aligned}
 \langle \vec{\varphi}_k \cdot \vec{\varphi}_l \rangle &\leq e^{-(\alpha_k - \alpha_l)} Z^{-1} \left[\exp \left[\beta \sum_{i,j} (\cos(\theta_i - \theta_j) \cosh(\alpha_i - \alpha_j)) \right] \prod_k d\theta_k \right] \\
 &= e^{-(\alpha_k - \alpha_l)} Z^{-1} \underbrace{\left[\exp \left[\beta \sum (\cos(\theta_i - \theta_j) (1 + \cosh(\alpha_i - \alpha_j) - 1)) \right] \prod_k d\theta_k \right]}_{\leq \exp[\beta \sum \cosh(\alpha_i - \alpha_j) - 1] \exp[\beta \sum \cos(\theta_i - \theta_j)]} \\
 &\leq e^{-(\alpha_k - \alpha_l)} \exp \left[\beta \sum_{i,j} (\cosh(\alpha_i - \alpha_j) - 1) \right]. \tag{10.34}
 \end{aligned}$$

An dieser Stelle wählen wir

$$q_j = \beta^{-1} [C(j, k) - C(j, l)], \tag{10.35}$$

wo $C(i, j) = C(i - j)$ der Kern von $(-\Delta)^{-1}$ auf dem Gitter ist. Aus (10.12) finden wir (etwas für periodische Randbedingungen) die folgende Fourierschaltung von $C(k)$:

$$C(k) = \frac{1}{N!} \sum_{\{p_\alpha\}} \frac{e^{ip \cdot k}}{4 \sum_{\alpha=1}^d \sin^2(p_\alpha/2)}. \tag{10.36}$$

[N.B. Für $\Lambda \rightarrow \mathbb{Z}^2$ hat $C(0)$ eine Infratotdivergenz.]

Für naheste Nachbarn j und j' folgt daraus

$$|C(j) - C(j')| \leq \left| \frac{1}{N!} \sum_{\{p_\alpha\}} \frac{1 - e^{i(j'-j) \cdot k}}{4 \sum_{\alpha} \sin^2(p_\alpha/2)} \right|.$$

Daher hat die Summe für $\Lambda \rightarrow \mathbb{Z}^2$ einen endlichen Limes (wegen des Zählers gibt es keine Infratotdivergenz). Deshalb haben wir für naheste Nachbarn j und j' die Schranke

$$|a_j - a_{j'}| \leq \text{const} / \beta \quad (j, j' : \text{wähle Nachbarn}). \quad (10.37)$$

Damit können wir den Exponenten in (10.34) folgendermassen abschätzen:

$$\beta \sum_{\langle ij \rangle} (\cosh(a_i - a_j) - 1) \leq \frac{\beta}{2} (1 + O(\beta^{-2})) \sum_{\langle ij \rangle} (a_i - a_j)^2,$$

wobei wir rechts die Summe über ganz \mathbb{Z}^d einsetzen.

Nun sei für die Funktion a , $i \mapsto a_i$, auf dem Gitter

$$\sum_{\langle ij \rangle} (a_i - a_j)^2 = \|\nabla a\|_{l^2}^2 = \langle a, -\Delta a \rangle.$$

Nach Definition ist

$$a_j = \beta^{-1} \langle \delta_j, (-\Delta)^{-1}(\delta_k - \delta_\ell) \rangle, \quad (10.38)$$

wo δ_k die Standardbasis auf dem Gitter ist ($\delta_k(j) = \delta_{kj}$).

Deshalb gilt

$$-\Delta a = \beta^{-1} (\delta_k - \delta_\ell) \Rightarrow \langle a, -\Delta a \rangle = \beta^{-1} (a_k - a_\ell).$$

Eingesetzt gibt

$$\beta \sum_{\langle ij \rangle} (\cosh(a_i - a_j) - 1) \leq \frac{1}{2} (a_k - a_\ell) + O(\beta^{-2}) (a_k - a_\ell). \quad (10.39)$$

Falls also $\beta(\varepsilon)$ genügend gross gewählt wird gilt für
 $\beta > \beta(\varepsilon)$ nach (10.34) und (10.39)

$$\langle \vec{\sigma}_k \cdot \vec{\sigma}_\ell \rangle \leq \exp \left[-\frac{1}{2} (a_k - a_\ell) (1 - \varepsilon) \right]. \quad (10.40)$$

Aus (10.38) ergibt sich

$$a_k - a_\ell = \beta^{-1} \langle \delta_k - \delta_\ell, (-\Delta)^{-1} (\delta_k - \delta_\ell) \rangle \geq 0 ,$$

$$a_k - a_\ell = 2\beta^{-1} (C(0) - C(k-\ell)) . \quad (10.41)$$

Beim Übergang $\lambda \rightarrow \mathbb{Z}^2$ verhält sich die Größe rechts asymptotisch wie *)

$$C(0) - C(k) \sim \frac{1}{\pi} \ln |k| \text{ für } |k| \rightarrow \infty . \quad (10.42)$$

[Im Unterschied dazu haben wir für $d \geq 3$: $C(k) \sim |k|^{-d+2}$.]

Soben wir (10.41) und (10.42) in (10.40) ein, so ergibt sich die Behauptung (10.31).

Aus (10.31) und (10.32) und der Translationsinvarianz schließen wir auf

$$0 \leq \langle \vec{\sigma}_k \rangle^2 \leq \lim_{|k-l| \rightarrow \infty} \langle \vec{\sigma}_k \cdot \vec{\sigma}_l \rangle = 0 .$$

Für genügend grosse β haben wir also

$$\langle \vec{\sigma}_k \rangle = 0 . \quad (10.43)$$

Bemerkung. Wählen wir im obigen Beweis

$$a_j = \varepsilon(\lambda + \beta)^{-1} [C(j,k) - C(j,l)] , \quad (10.44)$$

*) Für die Fouriertransformierte der Densitäten $\mathcal{F} \frac{1}{p^2}$ gilt in zwei Dimensionen:

$$\mathcal{F} \left[\frac{1}{p^2} \right] = -2\pi \ln |x| - 2\pi C_0 .$$

Für die Herleitung und die Konstante C_0 siehe Vladimirov, p.128.

mit $0 < \varepsilon < 1$, so erhält man für alle β des Zerfallsgek's

$$0 \leq \langle \vec{\sigma}_i \cdot \vec{\sigma}_j \rangle \leq |k - l|^{-c/1+\beta} \quad (10.45)$$

für eine geeignete Konstante $0 < c < 1$. Wie oben folgt daraus wieder (10.43).

Die Abwesenheit einer langwelligen Ordnung lässt sich heuristisch einsehen. Sie beruht auf der Anregung von langwelligen Spinwellen, welche für $d=2$ besonders wichtig wird. Dies führen wir gleich nach etwas aus. Ergänzungen zum Kramm-Wagner-Theorem gibt Anhang H.

In § III. 10 werden wir zeigen, dass das quantenmechanische Heisenberg-Modell für $d=2$ keine spontane Magnetisierung aufweist.

* * *

Verhalten bei hohen Temperaturen (Spinwellen)

Die Abfalligenschaft (10.31) beruht auf der Ausregung von langwelligen Spinwellen, wie wir uns folgenden sehen werden.

Bei hohen Temperaturen ist die gleichmäßige Ausrichtung aller Spins bevorzugt ($\cos(\theta_i - \theta_j) \approx 0$). Wir entzweiteln deshalb H um $\theta_i - \theta_j = 0$:

$$H \approx \frac{1}{2} \sum_{\langle ij \rangle} (\theta_i - \theta_j)^2. \quad (10.46)$$

Bei dieser Behandlung vergessen wir auch den periodischen Charakter von θ_i . Bei dieser sog. Spinwellen-Approximation lautet also die Zustandssumme

$$\Sigma_{SW} = \int \prod_i \frac{d\theta_i}{\sqrt{2\pi}} e^{-\frac{1}{2}\beta \|\nabla \theta\|^2}. \quad (10.47)$$

Zunächst bestimmen wir die freie Energie pro Spin. Solange wir in einem endlichen Kubus Λ ($|\Lambda| = N^d$) mit periodischen Randbedingungen arbeiten, ist alles wohl definiert. Wir benutzen die Fouriertransformation auf $\Lambda \subset \mathbb{Z}^d$ (s. S. II.47).

$$\begin{aligned} \hat{f}(k) &= \sum_{x \in \Lambda} f(x) e^{ik \cdot x}, \\ f(x) &= \frac{1}{|\Lambda|} \sum_{k \in \Delta} \hat{f}(k) e^{ik \cdot x}, \end{aligned} \quad (10.48)$$

mit

$$\Delta = \left\{ k : k_x = \frac{2\pi}{N} n_x, -\frac{N}{2} < n_x \leq \frac{N}{2} \right\}. \quad (10.48')$$

Die Parseval-Gleichung lautet

$$\sum_{x \in \Lambda} f^*(x) g(x) = \frac{1}{|\Lambda|} \sum_{k \in \Delta} \hat{f}(k)^* \hat{g}(k).$$

Die Fouriertransformierte des Gradienten (10.14) ergibt sich aus

$$(\partial_\alpha f)(x) = \frac{1}{|\Lambda|} \sum_{k \in \Delta} \hat{f}(k) [e^{ik \cdot (x+\epsilon_\alpha)} - e^{ik \cdot x}]$$

zu

$$\widehat{\partial_\alpha f}(k) = \hat{f}(k) (e^{ik\alpha} - 1). \quad (10.49)$$

Deshalb gilt die Parseval-Gl.

$$\sum_x \sum_\alpha (\partial_\alpha f)^2 = \frac{1}{|\Lambda|} \sum_{\alpha=1}^d \sum_{k \in \Delta} |\hat{f}(k)|^2 \underbrace{|e^{ik\alpha} - 1|^2}_{z(1 - \cos k_\alpha)}$$

Damit haben wir

$$\|\partial \theta\|^2 = \frac{1}{|\Lambda|} \sum_{k \in \Delta} \sum_{\alpha=1}^d (z - 2 \cos k_\alpha) \underbrace{|\hat{\theta}(k)|^2}_{\sum_{x, x'} \theta_x \theta_{x'} e^{ik(x-x')}} \quad (10.50)$$

$$= \langle \theta, M \theta \rangle, \quad (10.51)$$

wobei

$$M = F \left(\text{diag } \hat{M}(k) \right) \tilde{F}^\top,$$

mit

$$F = (F_{xk}), F_{xk} = e^{ik \cdot x}, \tilde{F} = (\tilde{F}_{kx}), \tilde{F}_{kx} = e^{-ik \cdot x}$$

und

$$\hat{M}(k) = \frac{1}{|\Lambda|} \sum_\alpha (z - 2 \cos k_\alpha).$$

$$\text{Da } F \tilde{F}^\top = \sum_{k \in \Delta} e^{ik \cdot (x-x')} = |\Lambda| \delta_{xx'}, \text{ gilt } \tilde{F} = |\Lambda| F^{-1},$$

d.h.

$$M = F \left(\text{diag}(\kappa_1 \hat{\mu}(k)) \right) F^{-1}. \quad (10.51')$$

Für die Zustandssumme erhalten wir mit (4.60)

$$\mathcal{Z}_{SW} = (\det \beta H)^{-1/2}, \quad \det(\beta H) = \prod_{k \in \Delta} \beta \sum_{\alpha=1}^d (2 - 2 \cos k_\alpha). \quad (10.52)$$

Also haben wir für die freie Energie

$$-\beta f = \frac{\ln \mathcal{Z}}{|\Lambda|} = -\frac{1}{2} \sum_{k \in \Delta} \ln \left\{ \beta \left[d - 2 \sum_{\alpha=1}^d \cos k_\alpha \right] \right\}. \quad (10.53)$$

In thermodyn. Limes gilt dies

$$-\beta f = -\frac{1}{2} \int \frac{d^d k}{(2\pi)^d} \ln \left\{ \beta \left[d - \sum_{\alpha=1}^d \cos k_\alpha \right] \right\}. \quad (10.53')$$

Jetzt bestimmen wir noch die Korrelationsfunktion

$$G_{SW}^{(p)}(x_1, x_2) = \langle e^{ip(\theta_{x_1} - \theta_{x_2})} \rangle \quad (10.54)$$

(wir interessiert vor allem $p=1$). Es ist

$$G_{SW}^{(p)}(x_1, x_2) = \mathcal{Z}_{SW}^{-1} \int \prod_x \frac{d\theta_x}{\sqrt{2\pi}} \exp \left[-\frac{1}{2} \beta \sum_{x, x'} \theta_x M_{xx'} \theta_{x'} + i \sum_x J_x \theta_x \right],$$

mit

$$M_{xx'} = \frac{1}{|\Lambda|} \sum_{k \in \Delta} e^{ik \cdot (x-x')} [2d - 2 \sum_{\alpha=1}^d \cos k_\alpha], \quad (10.55)$$

(10.56)

und

$$J_x = \begin{cases} p & \text{für } x = x_1, \\ -p & \text{für } x = x_2, \\ 0 & \text{sonst.} \end{cases} \quad (10.57)$$

Das Integral (10.55) ist nach (4.60) gleich $\exp \left[-\frac{1}{2\beta} \langle J, M^{-1} J \rangle \right]$.

Dann ist ist nach (10.56) der Exponent

$$\frac{1}{2\beta} \sum_{x,x'} J_x G(x-x') J_{x'},$$

mit $G(x-x') = \frac{1}{|V|} \sum_{k \in \Delta} \frac{e^{ik \cdot (x-x')}}{2d - 2 \sum_{\alpha} \cos k_{\alpha}}$. (10.58)

Für J in (10.57) gilt dies

$$\frac{1}{2\beta} \langle J, \mu^{-1} J \rangle = \frac{1}{2\beta} p^2 \cdot 2 \cdot [G(0) - G(x_1 - x_2)].$$

Also haben wir

$$\underline{G_{SW}^{(p)}(x_1, x_2)} = \exp \left[- \frac{p^2}{\beta} (G(0) - G(x_1 - x_2)) \right] \equiv \underline{\exp \left[- \frac{p^2}{2\pi\beta} \Gamma(x_1 - x_2) \right]},$$

mit dem folgenden Ausdruck für $\Gamma(x)$ in thermodyn. Limes (10.59)

$$\boxed{\Gamma(x_1 - x_2) = 2\pi \int \frac{dk}{(2\pi)^d} \frac{1 - e^{ik \cdot (x_1 - x_2)}}{2d - 2 \sum \cos k_{\alpha}}.} \quad (10.60)$$

Nun behandeln wir die Eigenschaften von $\Gamma(x)$. Offensichtlich ist $\Gamma(0) = 0$ und, wie man leicht zeigt, $\Gamma(|x|=1) = \pi/2$. Für grosse $|x|$ werden wir folgendes finden (s. unten):

$$\Gamma(x) \underset{|x| \gg 1}{\sim} \ln (2 \sqrt{2} e^{\gamma} |x|) + \Theta(1/|x|), \quad (10.61)$$

wo γ die Eulerse Konstante ist. Sogar für $|x|=1$ ist (10.61) keine schlechte Näherung (1.6169 statt $\frac{\pi}{2} = 1.5708$).

Sehen wir $\tau_0^{-1} = 2\sqrt{2}e^\gamma$, so gibt die Näherung (10.61) in (10.59) für $p=1$

$$G_{SW}(x) \underset{|x| \gg 1}{\sim} \exp\left[-\frac{1}{2\pi\beta} \ln(|x|/\tau_0)\right] = \left(\frac{\tau_0}{|x|}\right)^{1/2\pi\beta}. \quad (10.62)$$

Dies soll man mit (10.31) vergleichen.

Bevor wir dieses Ergebnis weiter diskutieren, kommen wir auf den asymptotischen Ausdruck (10.61) zurück. Ich begnüge mich dabei mit einer großen Näherung. Dazu setzen wir für grosse $|x|$ den Nenner in (10.60) durch seinen Kontinuumslimes,

$$\Gamma(x) \simeq \frac{1}{2\pi} \int_{-\infty}^{\infty} dk \frac{1-e^{ikx}}{k^2},$$

und ignorieren ausserdem die genaue Form der Brillouin-Zone. Wir ersetzen $\int_{-\infty}^{\infty} dk$ durch $\int_0^{\pi} k dk \int_0^{\infty} d\theta$ und bekommen

$$\Gamma(x) \simeq \int_0^{\pi} \frac{dk}{k} \underbrace{\frac{1}{2\pi} \int_0^{\pi} (1-e^{ikr \cos \theta}) d\theta}_{1-J_0(kr)} = \int_0^{\pi} \frac{1-J_0(x)}{x} dx.$$

Für grosse x können wir Näherungsweise die Besselfunktionen vernachlässigen und erhalten

$$\Gamma(x) \simeq \ln(\pi x) \quad [\text{statt } \ln(2\sqrt{2}e^\gamma +)].$$

Die Spinwellenapproximation gibt nach (10.62) ein Potenzgesetz für die Korrelationsfunktion, das also qualitativ

verschieden ist vom exponentiellen Abfall bei hohen Temperaturen. Dies deutet auf einen Übergang bei mittleren Temperaturen hin. Was hier vorgelt wurde von Kosterlitz und Thouless (1972) gezeigt. Es zeigt sich, dass neben den Spinschichten, welche bei hohen Temperaturen dominieren, es eine andere Art von Anregungen gibt, nämlich Vortexes. Diese kommen bei hohen Temperaturen in eng gebundenen Paaren vor und breiten bei einer kritischen Temperatur auf. Für eine Diskussion verweise ich auf die Literatur, insbesondere auf:

J.M. Kosterlitz & D.J. Thouless, J. Phys. C6, 1181 (73).

Siehe auch:

M. Pleschke, B. Bergner, Equilibrium Statistical Physics, Prentice-Hall (1989), Speziell § 5. E.

*

*

*

11. Hochtemperatur/TiefTemperatur Dualität des 2-dim. Isingmodells

Wir leiten in diesem Abschnitt für $\Psi(k) = -\beta f$ (f = freie Energie pro Gitterplatz im thermodyn. Limes) die bemerkenswerte Beziehung

$$\Psi(k) - \frac{1}{2} \ln [\sinh 2k] = \Psi(k^*) - \frac{1}{2} \ln [\sinh 2k^*] \quad (11.1)$$

her, in der k und k^* folgendermaßen vertauscht sind

$$e^{2k^*} = \tanh k \Leftrightarrow \sinh 2k \sinh 2k^* = 1. \quad (11.2)$$

Eine interessante Konsequenz der Dualitätsrelation (11.1) ist der Wert der kritischen Temperaturen, wenn angenommen wird, dass die freie Energie f nur bei einer Temperatur singulär wird. Dann muss nämlich der kritische Wert k_c von k ein Fixpunkt unter der Involution $k \rightarrow k^*$ sein:

$$k_c^* = k_c. \quad (11.3)$$

Dies ist gleichbedeutend mit

$$\sinh 2k_c = 1 \Rightarrow k_c = 0.44068679\dots \quad (11.4)$$

Diese Wert ist aus von Onsager's exakter Lösung bekannt (vgl. (5.33)).

Die Herleitung von (11.1) ist lehrreich, da sie auf einem Vergleich von Hoch- und TiefTemperaturentwicklungen beruht. Wir folgen dabei B. Simon (loc. cit., §II.7).

Wir beginnen mit der HochTemperaturentwicklung der Zustandssumme ($|A| = L^2$)

$$Z_L(k) = \sum_{\{\sigma_i\}} e^{k \sum_{\langle i,j \rangle} \sigma_i \sigma_j}. \quad (11.5)$$

Dazu schreiben wir $Z_L(k)$ mit Hilfe der Identität ($\varepsilon = \pm 1$)

$$e^{\varepsilon A} = \cosh A + \varepsilon \sinh A = \cosh A (1 + \varepsilon \tanh A)$$

so um ($S := 2L(L-1)$ = Zahl der Paae $\langle i,j \rangle$ in (11.5)):

$$Z_L(k) = (\cosh k)^S \sum_{\{\sigma_i\}} \left[\prod_{\langle i,j \rangle} (1 + \sigma_i \sigma_j \tanh k) \right]. \quad (11.6)$$

Sammeln wir rechts in (11.6) gleiche Potenzen von $\tanh k$, so können wir das Resultat so darstellen

$$Z_L(k) = 2^L (\cosh k)^S \sum_G (\tanh k)^{|G|} \left\langle \prod_{\langle i,j \rangle \in G} \sigma_i \sigma_j \right\rangle. \quad (11.7)$$

Dabei bezeichnet $\langle \cdot \rangle$ den Erwartungswert des unkorrelierten Systems,

$$\langle A \rangle = \frac{1}{2^{|G|}} \sum_{\{\sigma_i\}} A(\{\sigma_j\}),$$

und die Summe erstreckt sich über alle Hochtemperaturgraphen G , welche beliebige Teilungen der Familie der Gitterlinien (zwischen nächsten Nachbarn) sind; $|G|$ bedeutet dabei die Anzahl der Gitterlinien ("Büns") von G .

Nun ist $\left\langle \prod_{\langle i,j \rangle \in G} \sigma_i \sigma_j \right\rangle$ entweder 1 oder 0, je nachdem ob der Rand ∂G von G leer ist oder nicht. Dabei darf es sein, was unter dem Rand eines Graphen gemeint ist: Wir verstehen darunter diejenigen Gitterpunkte von G , welche in G nur eine Nachbarverbindung haben. Falls

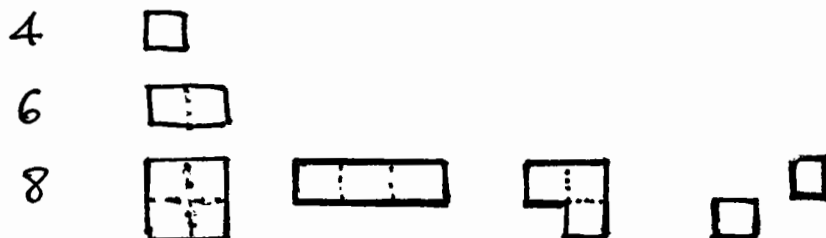
$\partial G \neq \emptyset$ ist, so besteht G nur aus geschlossenen Polygongraphen. Mit dieser Bemerkung wird aus (11.7)

$$Z(L) = L^2 (\cosh k)^S \sum_{G; \partial G = \emptyset} (\tanh k)^{|G|}. \quad (11.8)$$

Dies ist die gesuchte Hochtemperaturformel.

Beispiele von Hochtemperaturgraphen G mit $\partial G = \emptyset$ sind:

$|G|$



[Bestimme die Zahl der Graphen einer gegebenen Gestalt; z.B. Ist diese für \square offensichtlich gleich L^2 . Schreibe die zu gehörigen Terme in (11.8) auf.]

Nun wenden wir uns der Tieftemperaturformel zu.

Die Abhängigkeit einer Konfiguration $\{\sigma_i\}$ von den beiden Grundzuständen $\{\sigma_i = +1\}$ und $\{\sigma_i = -1\}$ wird durch den Graphen

$$G(\{\sigma_i\}) = \{ \langle ij \rangle \mid \sigma_i \sigma_j = -1 \} \quad (11.9)$$

beschrieben. Offensichtlich ist

$$\begin{aligned} -\beta H(\{\sigma_i\}) &= \sum_{\langle ij \rangle} k \sigma_i \sigma_j = k(S - |G|) - k|G| \\ &= kS - 2k|G|. \end{aligned} \quad (11.10)$$

Somit haben wir

$$Z_L(k) = e^{kS} \sum_{\{G_i\}} e^{-2k|G(\{G_i\})|}. \quad (11.11)$$

Dies wollen wir wieder in eine Summe über ganze Graphen verwandeln. Die folgende Feststellung zeigt uns, welche Graphen diesmal vorkommen.

F.1: Ein Graph G ist der Graph einer Konfiguration genau (11.9) genau dann, wenn für jedes elementare Quadrat (jede Plakette) des Gitters eine gerade Zahl ($0, 2, 4$) von Gitterlinien zu G gehören. Zu jedem Graph mit dieser Eigenschaft gibt es darüber genau zwei Konfigurationen.

Zum Beweis nutzen wir, dass für die Gravariablen $\sigma_{i_1}, \sigma_{i_2}, \sigma_{i_3}, \sigma_{i_4}$ zu einem elementaren Quadrat folgendes gilt

$$(\sigma_{i_1}\sigma_{i_2})(\sigma_{i_2}\sigma_{i_3})(\sigma_{i_3}\sigma_{i_4})(\sigma_{i_4}\sigma_{i_1}) = 1,$$

da jedes σ zweimal vorkommt. Deshalb hat jedes $G(\{G_i\})$ die Eigenschaft F.1. Umgekehrt habe ein Graph G diese Eigenschaft. Wir konstruierten dazu eine Konfiguration, welche zu diesem Graphen führt. Dazu setzen wir $\sigma_j = 1$ für j in der unteren linken Ecke von Λ und bestimmen σ_i durch

$$\sigma_i = (-1)^{|G \cap H|},$$

wo H irgend ein Graph ist mit $\partial H = \{i, j\}$. Nun überzeuge sich davon, dass diese Definition – aufgrund der vorangestellten Eigenschaft von G – unabhängig von der Wahl von H ist und seien, dass der Graph zu der so kon-

konstruierten Konfigurationen gleich 0 ist. Offensichtlich erhalten wir zwei verschiedene Konfigurationen, da wir auch mit $\sigma_j = -1$ starten können. Es gibt aber auch nicht mehr als zwei Konfigurationen, da beide σ_j und σ_i sowie allen Produkten $\sigma_i \sigma_k$ für $|i-k|=1$ die Konfiguration festgelegt ist.

Bezeichnet \mathcal{G} die Menge der Graphen mit der Eigenschaft in F_1 , die sog. Tiefenerstättungsgraphen, so können wir (II.11) nach F_1 so schreiben:

$$Z(K) = 2 e^{KS} \sum_{G \in \mathcal{G}} e^{-2K|G|}. \quad (II.12)$$

Nun besteht zwischen den Graphen von \mathcal{G} und den Graphen in (II.8) eine enge Verwandtschaft: Diejenigen von \mathcal{G} enthalten 0, 2 oder 4 Verbindungen jedes elementaren Quadrats, und die Eigenschaft $\partial G = \emptyset$ für jeden Graphen in (II.8) bedeutet, dass jeder Gitterpunkt zu 0, 2 oder 4 Gitterverbindungen gehört. Um diese Verwandtschaft zu einer Identität zu machen, ordnen wir jedem $G \in \mathcal{G}$ einen Graphen G^* im dualen Gitter zu.

Das zu \mathbb{Z}^2 duale Gitter besteht aus den Zentren aller elementaren Quadrate. Jeder Gitterverbindung in \mathbb{Z}^2 ordnen wir eine Gitterverbindung im dualen Gitter gemäß der nächsten Figur zu. Damit ist auch die Zuordnung $G \rightarrow G^*$ definiert. Speziell gehört zu jedem Graphen $G(\{\sigma_i\})$ in (II.8) der duale Graph, den wir die Begrenzung der Konfiguration $\{\sigma_i\}$ nennen. Die zehnte Figur zeigt ein

Beispiel.

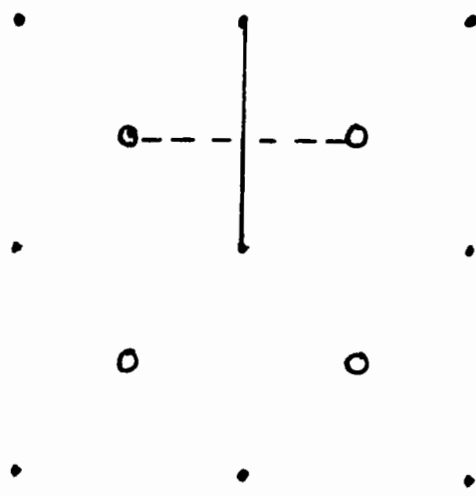
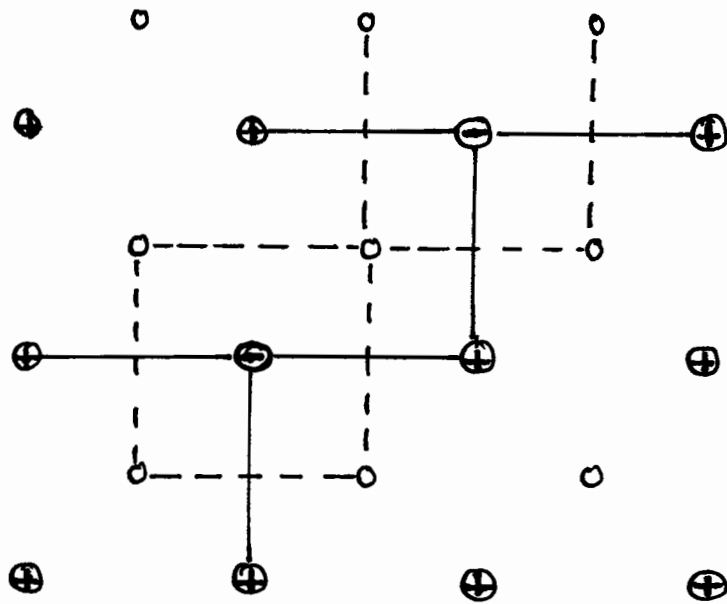


Fig. Punkte markieren das ursprüngliche Gitter, kleine Kreise das duale Gitter. Gestrichelt ist die Zuordnung der Gitterlinien.



Die Begrenzungen bilden offenbar die Gebiete der plus-Signs von denjenigen der minus-Signs. Es ist auch klar, dass die Begrenzungen einer $(L \times L)$ -Konfiguration genau diejenigen Graphen Γ eines $(L+1) \times (L+1)$ -Quadrates sind, die folgende Eigenschaften besitzen:

(i) $\partial\Gamma$ enthielt keine Punkte des "inneren" $(L-1)\times(L-1)$ -Quadrates.

(ii) Γ enthielt keine Gitterlinien zwischen zwei Randpunkten des $(L+1)\times(L+1)$ Gebietes.

Zusammen mit (II.12) können wir also feststellen

F2: Es gilt

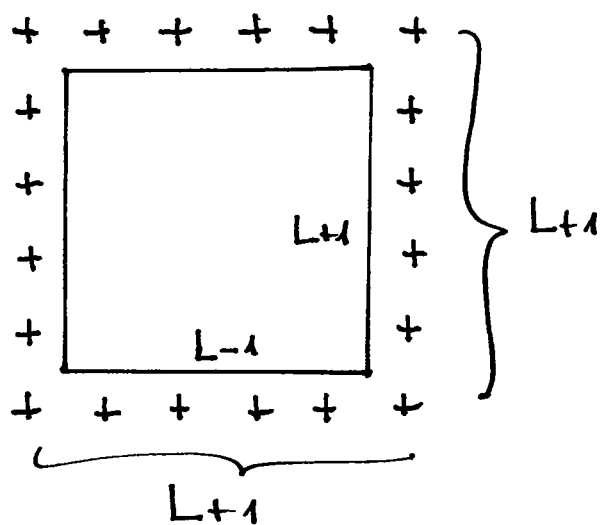
$$Z_L(K) = 2 e^{K^2} \sum_{\Gamma} e^{-2K|\Gamma|}, \quad (II.13)$$

wobei über die Graphen Γ summiert wird, die (i) und (ii) erfüllen.

Bis auf Randbedingungen stimmen die Graphen Γ mit denjenigen in (II.8) (mit $\partial\Omega = \emptyset$) überein (bedeutet insbesondere Eigenschaften (i)). Im thermodynamischen Limes sollte dies keine Rolle spielen^{*)}. Wir wollen aber die Randbedingungen so einrichten, dass auch für endliche Gitter eine exakte Dualität besteht. Periodische Randbedingungen führen nicht zum Ziel, wohl aber die plus-Randbedingungen für tiefe Temperaturen. Für die Tief-Temperatur-entwicklung betrachten wir jetzt $(L-1)\times(L-1)$ Auszüge von freien Spins, umgeben von lauter + Spins. Die zugehörige Zustandssummme bezeichnen wir mit $Z_{L-1}^+(K)$. Man kann leicht einschätzen, dass die zugehörigen Begrenzungen im dualen Gitter genau aus den Graphen Γ im $(L \times L)$ -Quadrat mit $\partial\Gamma = \emptyset$

^{*)} Leite unter dieser Annahme die Dualitätsbeziehung (II.1) her.

bestehen. Es gilt also, da nun wegen der plus-Fixierung
 (siehe Fig. auf weiterer Seite)



am Rande ein Faktor 2 wegfällt, weshalb nach (I.12)

$$\begin{aligned} Z_{L-1}^+(k^*) / e^{k^* S} &= \sum_{G_1, \partial G_1 = \emptyset} e^{-2k^* |G_1|} \\ &= \sum_{G_1, \partial G_1 = \emptyset} (\tanh k)^{|G_1|}, \end{aligned} \quad (I.14)$$

für

$$\tanh k = e^{-2k^*}. \quad (I.15)$$

Vergleichen wir dies mit (I.8), so kommt (da nun über dieselben Graphen summiert wird)

$$\boxed{\frac{Z_{L-1}^+(k^*) / e^{2k^* L(L-1)}}{Z_L(k) / 2^L (\cosh k)^{2L(L-1)}}} \quad (I.16)$$

Nehmen wir davon den Logarithmus und dividieren anschließend durch L^2 , so ergibt sich für $L \rightarrow \infty$

$$\Psi(k) - \ln [2 \cosh^2 k] = \Psi(k^*) - 2k^*.$$

Wegen (II.15) ist aber

$$\begin{aligned} \ln [2\cosh^2 K] - 2K^* &= \ln [2\cosh^2 K] + \ln [\tanh K] \\ &= \ln [2\cosh K \sinh K] = \ln [\sinh 2K] \\ &= \frac{1}{2} \ln [\sinh 2K] - \frac{1}{2} \ln [\sinh 2K^*], \end{aligned}$$

wobei die Äquivalenz in (II.2) benutzt wurde. Damit erhalten wir in der Tat die Dualitätsrelation (II.1), welche auch so geschrieben werden kann

$$\begin{aligned} \Psi(K) &= \Psi(K^*) + \ln [\sinh 2K] \\ &= \Psi(K^*) - \ln [\sinh 2K^*]. \end{aligned}$$

(II.17)

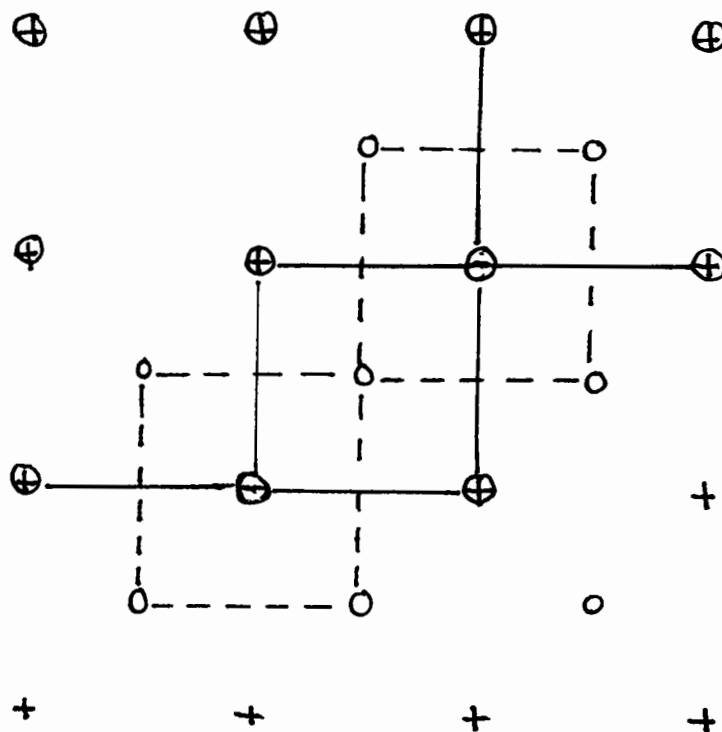


Fig.: Graphen und Begrenzungen für $Z_{L-1}^+(K)$.